



دانشگاه صنعتی شهرود

دانشکده مهندسی مکانیک

پایان نامه کارشناسی ارشد

حل تحلیلی جریان و انتقال حرارت
سیال ویسکوالاستیک در لوله خمیده

امین احمدی جنیدی

استاد راهنما:

دکتر محمد حسن کیهانی

۸۸ مهر

بِسْمِ اللّٰهِ الرَّحْمٰنِ الرَّحِيْمِ



دانشکده: مکانیک

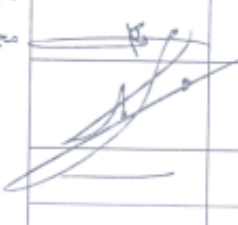
گروه: تبدیل انرژی

پایان نامه کارشناسی ارشد آقای امین احمدی جنیدی

تحت عنوان: حل تحلیلی جریان هسته‌ای و انتقال حرارت بین سیال و یسکو الستیک در یک لوله خمیده

در تاریخ ۱۳۸۸/۷/۲۵ توسط کمیته تخصصی زیر جهت اخذ مدرک کارشناسی ارشد
مورود پذیرش قرار گرفت.
(رساله دکتری) مورد ارزیابی و با درجه

امضاء	اساتید مشاور	امضاء	اساتید راهنمای
	نام و نام خانوادگی:		نام و نام خانوادگی: محمد حسن کیهانی
	نام و نام خانوادگی:		نام و نام خانوادگی:

امضاء	نماينده تحصيلات تكميلي	امضاء	اساتيد داور
	نام و نام خانوادگی: مجتبی قطعی		نام و نام خانوادگی: محمد جواد مغربی
			نام و نام خانوادگی: علی جباری مقدم
			نام و نام خانوادگی:
			نام و نام خانوادگی:

تعهد فامه

اینجانب اینم (جهنمی خنیز) دانشجوی دوره کارشناسی ارشد / دکتری در شه مهندسی بدبیل افسری
دانشکده هندسه دانشگاه صنعتی شاهرود نویسنده پایان نامه / رساله حمله کلیلی هرگز نسبیل و اینها را
حرارتی بیان و رساله ملکه اسلامیت نماییم. لورس خنیده تحت راهنمایی دکتر سید علی متعدد می شوم :

- * تحقیقات در این پایان نامه / رساله توسعه ایجاد انجام شده است و از صحت و اصلت برخوردار است .
- * در استفاده از نتایج پژوهشی های محققان دیگر به مرجع مورد استفاده استناد شده است .
- * مطالب مندرج در پایان نامه / رساله تاکنون توسط خود یا فرد دیگری برای دریافت هیچگونه مدرک یا امتیازی در هیچ جا ارائه نشده است .
- * کلیه حقوق معنوی این اثر متعلق به دانشگاه صنعتی شاهرود می باشد و مقالات مستخرج با نام «دانشگاه صنعتی شاهرود» و یا « Shahrood University of Technology » به چاپ خواهد رسید .
- * حقوق معنوی تمام افرادی که در بدست آمدن نتایج اصلی پایان نامه / رساله تائیرگذار بوده اند در مقالات مستخرج از پایان نامه / رساله رعایت می گردد .
- * در کلیه مراحل انجام این پایان نامه / رساله در مواردی که از موجود زنده (یا بافتی های آنها) استفاده شده است ضوابط و اصول اخلاقی رعایت شده است .
- * در کلیه مراحل انجام این پایان نامه / رساله در مواردی که به حوزه اطلاعات شخصی افراد دسترسی یافته یا از آن استفاده شده است اصل برادرانی ، ضوابط و اصول اخلاق ایانی رعایت شده است .

تاریخ : ۱۴۰۷/۸/۸



مالکیت نتایج و حق نشر

- * کلیه حقوق معنوی این اثر و مخصوصات آن (مقالات مستخرج ، کتاب ، برنامه های رایانه ای ، نرم افزارها و تجهیزات شاخته شده است) متعلق به دانشگاه صنعتی شاهرود می باشد و این مطلب باشد به نحو مقتضی در تولیدات علمی مربوطه ذکر شود .
- * استفاده از اطلاعات و نتایج موجود در پایان نامه / رساله بدون ذکر منبع مجاز نمی باشد .

چکیده

سیالات غیرنیوتونی دارای کاربرد وسیعی در فعالیتهای نظامی، پزشکی و صنعتی می‌باشد که از دیرباز تا کنون توجه ویژه‌ای به آن معطوف شده است. دانش بررسی جریان سیالات غیر نیوتونی، امروزه به رئولوژی معروف گردیده است و به دلیل ویژگی‌های خاص موجود در این گونه از سیالات، رفتارهای متفاوت و غیرقابل انتظاری از این گونه از سیالات بروز می‌یابد.

هدف از این پژوهش، بررسی جریان سیال ویسکوالاستیک و انتقال حرارت آن در لوله خمیده، مدل‌سازی ریاضی، حل آن و سپس تحلیل و ارزیابی حل موجود می‌باشد.

در این پژوهش، با استفاده از سریهای حساب اختلالات، حل تقریبی مناسبی برای جریان سیال ویسکوالاستیک مدل مرتبه دو ارائه شده و در نهایت با بهره‌گیری از همین حل، بررسی انتقال حرارت این مدل از سیال نیز مورد تحلیل و ارزیابی قرار گرفت. در ادامه نیز حل انتقال حرارت سیال مدل اولدروید-بی در یک لوله خمیده نیز با استفاده از همین روش مورد محاسبه قرار گرفت.

نتایج حاصل از این پژوهش در بخش بررسی جریان سیال ویسکوالاستیک مدل سیال مرتبه دو در لوله خمیده نشان می‌دهد که افزایش عدد وایزنبرگ در سیال مرتبه دو ضمن تقویت شدت جریان‌های ثانویه، باعث متمایل شدن گردابه‌های تیلور و موقعیت بیشینه سرعت محوری به سمت ناحیه بیرونی لوله خمیده شده است. همچنین افزایش زمان رهایی از تغییر شکل در سیال مرتبه دو همراه با کاهش درگ جریان در لوله خمیده خواهد شد.

تحلیل‌های انجام گرفته روی انتقال حرارت جریان‌ها سیالات مدل اولدروید-بی و مرتبه دو، نتایج مشابهی را نشان می‌دهد. افزایش عدد وایزنبرگ، تاثیر بسزایی روی انتقال موقعیت بیشینه دمای بی‌بعد سیال دارد. همچنین، با افزایش عدد رینولدز در حالت جریان خرشی، مقدار ناسلت کاهیده، که معیاری برای مقایسه عدد ناسلت بین لوله خمیده و صاف می‌باشد، کاهش می‌یابد. اما این روند در قبال افزایش عدد رینولدز در حالت جریان دارای اینترسی با افزایش مقدار ناسلت کاهیده مواجه می‌شود.

کلمات کلیدی: انتقال حرارت، سیال ویسکوالاستیک، سیال مرتبه دو، سیال اولدروید-بی، حساب اختلالات

۱	فصل اول.....
۳	۱-۱) مطالعات اولیه در مورد سیالات غیر نیوتنی.....
۴	۱-۱-۱) سیالات غیر نیوتنی مستقل از زمان.....
۵	۱-۱-۲) سیالات غیر نیوتنی وابسته به زمان.....
۶	۱-۱-۳) سیالات ویسکوالاستیک.....
۷	۱-۲) آزمایش کوئت.....
۸	۱-۳) پدیده های جریان در سیالات پلیمریک.....
۹	۱-۳-۱) ماهیت شیمیایی سیالات پلیمری
۱۰	۱-۳-۲) ویسکوزیته غیر نیوتنی.....
۱۱	۱-۳-۳) تنش های نرمال.....
۱۲	۱-۴) بالا رفتن از میله چرخان.....
۱۴	۱-۵) سطح محدب در یک کanal کج
۱۵	۱-۶) اثر فشار حفره ای.....
۱۶	۱-۷) تانک استوانه ای با درپوش دوار.....
۱۸	۱-۸) آماسیدگی جت
۲۰	۱-۹) سیفون بدون لوله.....
۲۱	۱-۱۰) جریان انقباضی
۲۳	۱-۱۱) بازگشت فنری
۲۵	۱-۱۲) جریان خروجی جت
۲۷	۱-۱۴) گروه های بی بعد در مکانیک سیالات غیر نیوتنی.....
۲۹	۱-۱۵) مدل سازی سیالات ویسکوالاستیک.....
۳۱	۱-۱۵-۱) مدل های ویسکوالاستیک خطی
۳۲	۱-۱۵-۱) مدل ماکسول.....
۳۳	۱-۱۵-۲) مدل کلوین- ویت.....
۳۴	۱-۱۵-۳) مدل برگرز.....
۳۵	۱-۱۵-۴) مدل ماکسول توسعه یافته.....
۳۶	۱-۱۵-۲) مدل های ویسکوالاستیک غیر خطی.....
۳۶	۱-۱۵-۱) خانواده مدل های اولدروید.....
۴۰	فصل دوم.....
۴۲	۲-۱) مروری بر تحقیقات گذشته روی جریان سیال ویسکوالاستیک در مجاری خمیده
۴۶	۲-۲) هندسه مساله.....
۴۷	۲-۳) بی بعد سازی.....
۴۸	۲-۴) معادلات متشکله.....
۴۹	۲-۵) معادلات حاکم.....
۵۳	فصل سوم.....
۵۵	۳-۱) حل مساله به روش حساب اختلالات.....

۵۵ حل مرتبه δ^0	۱-۱-۳
۵۶ حل مرتبه δ^1	۱-۲-۳
۵۸ حل مرتبه δ^2	۳-۱-۳
۵۸ تعیین دبی جریان	۳-۳
۶۱ فصل چهارم	
۷۶ فصل پنجم	
۷۸	۱) بررسی مطالعات گذشته بر روی انتقال حرارت جریان سیالات ویسکوالاستیک در مجاری خمیده	۵-۱
۸۰	۲) تعریف مساله انتقال حرارت	۵-۲
۸۳	۳) حل به روش حساب اختلالات	۵-۳
۸۴	۱) محاسبات دما برای سیال اولدروید بی	۵-۳-۱
۸۵ حل مرتبه δ^0	۵-۳-۱-۱
۸۶ حل مرتبه δ^1	۵-۳-۱-۲
۸۷ حل مرتبه δ^2	۵-۳-۱-۳
۸۷	۲) محاسبه ناسلت متوسط	۵-۳-۲
۸۸	۳) محاسبات دما برای سیال مرتبه دو	۵-۳-۳
۸۹ حل مرتبه δ^0	۵-۳-۳-۱
۸۹ حل مرتبه δ^1	۵-۳-۳-۲
۹۰ حل مرتبه δ^2	۵-۳-۳-۳
۹۱ فصل ششم	
۹۹ فصل هفتم	
۱۰۷ فصل هشتم	
۱۱۰ ضمایم	

2

فصل اول

مروری بر سیالات ویسکوالاستیک

در این فصل، ابتدا گونه‌ها و ساختار مولکولی تشکیل‌دهنده مختلف سیالات غیرنیوتی معرفی می‌گردد. در ادامه معرفی انواع مختلف این سیالات، نمونه‌ی خاصی از این سیالات به نام سیالات ویسکوالاستیک، ارائه می‌گردد. با توجه به ساختار ویژه‌ای که این سیالات دارند، در قبال پدیده‌هایی که رخ می‌دهد، از خود رفتارهای متمایز و ناآشنایی را به نمایش می‌گذارند که در این بخش، به برخی از این پدیده‌ها اشاره خواهد شد. در پایان نیز انواع روابط ریاضی موجود در این زمینه، مدل‌های ریاضی خطی و غیر خطی ارائه شده برای این دسته از سیالات معرفی خواهند شد.

۱-۱) مطالعات اولیه در مورد سیالات غیرنیوتونی

طبق مدلی که نیوتون برای قانون پایه حاکم بر سیالات ارائه نمود، تنش، تابعی خطی از نرخ برش می‌باشد. بدین ترتیب با رسم نمودار تنش نسبت به نرخ برش به یک نمودار خطی دست خواهیم یافت و سیالاتی که از این قانون تبعیت می‌کنند را سیالات نیوتونی نامیده و شیب نمودار حاصل را ویسکوزیته می‌نامند.

با گذشت زمان و پیشرفت دانش مکانیک سیالات، گونه‌هایی از سیالات یافت شد که از قانون ارائه شده نیوتون تبعیت نمی‌کردند. بدین ترتیب دسته دیگری از سیالات تحت عنوان سیالات غیرنیوتونی طبقه‌بندی و معرفی گردیدند. بسیاری از محلول‌های پلیمری از این دسته از سیالات به حساب می‌آیند. همچنین موادی مانند سس‌ها، رنگ، خون و شامپو نیز از این جمله مواد در نظر گرفته می‌شوند. نمودار تنش برشی این‌گونه از مواد بر حسب نرخ برش آنها، بر خلاف سیالات نیوتونی، به صورت خطی نمی‌باشد. به همین دلیل ارائه یک مقدار ثابت برای ویسکوزیته این مواد ممکن نخواهد بود. دانش بررسی جریان این‌گونه مواد را رئولوژی گویند که اولین بار توسط بینگهام^۱ در ۱۹۲۸ و به پیشنهاد همکارش مارکوس راینر^۲ ارائه شد.

در قرن نوزدهم، فیزیکدانانی مانند ماکسول، بولتزمن و کلوین بر روی خزش و بازیافت شیشه‌ها، فلزات و لاستیک تحقیقاتی را به انجام رساندند. در اواخر قرن بیستم، به دلیل ظهور پلیمرهای مصنوعی، ویسکوالاستیسیته، بیش از پیش مورد بررسی و تحقیق قرار گرفت.

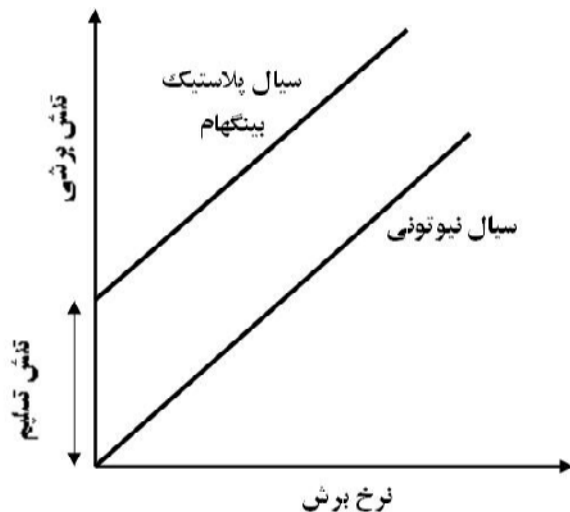
به طور کلی سیالات غیر نیوتونی به سه دسته سیالات غیر نیوتونی مستقل از زمان، سیالات غیر نیوتونی تابع زمان و سیالات ویسکوالاستیک تقسیم بندی می‌شوند.

Eugene C. Bingham^۱
Markus Reiner^۲

۱-۱) سیالات غیر نیوتونی مستقل از زمان

در اینگونه از سیالات، ویسکوزیته تابعی غیر خطی از نرخ برش می‌باشد و به تبع تنش برشی نیز تنها تابعی غیر خطی از نرخ برش است. البته خود این سیالات به دو دسته کلی سیالاتی دارا و فاقد تنش تسلیم تقسیم می‌شوند. در موادی که دارای تنش تسلیم هستند، تنش باید به حدی افزایش یابد که از مرز تنش تسلیم بگذرد و ماده شروع به سیلان کند. برای مثال خمیر دندان مثال بسیار مناسبی برای این مواد است به نحوی که تا زمانی که میزان فشردگی پوسته آن به حد مشخصی نرسد، خمیر دندان از آن خارج نمی‌شود. علت این امر هم این است که ساختمان این مواد می‌تواند تنش برشی کمتر از حد تسلیم را بدون ایجاد جریان، تحمل نماید. ولی پس از آن ساختار مولکولی آن شکسته و ماده اجازه حرکت برشی را پیدا می‌کند.

معروف ترین این دسته از مواد، پلاستیک بینگهام یک سیال نیوتونی دارای تنش تسلیم است (شکل ۱-۱ را مشاهده کنید). نمونه‌هایی از سیالات دارای تنش تسلیم عبارتند از: برخی پلاستیکهای مذاب، گل حفاری چاه نفت، دوغ آبهای گچ و ماسه، شکلات‌های مایع، کرم‌های طبی، خمیر دندان، مارگارین و گریسهای.



شکل ۱-۱. منحنی تنش برشی نسبت به نرخ برش یک سیال نیوتونی و یک سیال بینگهام

۱-۲) سیالات غیر نیوتونی وابسته به زمان

در این گونه از سیالات، ویسکوزیته نه تنها تابعی از شدت برش است، بلکه تابعی از زمان نیز می باشد. به عبارت دیگر در این سیالات، در حین یک نرخ برش ثابت، ساختمان مولکولی ماده بطور مداوم در حال تغییر است و لذا مقدار ویسکوزیته و تنش برشی نیز تابعی از زمان خواهد بود. به طور کلی این مواد به دو دسته سیالات تیکسوتروپیک^۱ و سیالات رئوپکتیک^۲ (آنتمی تیکسوتروپیک^۳) تقسیم می شوند.

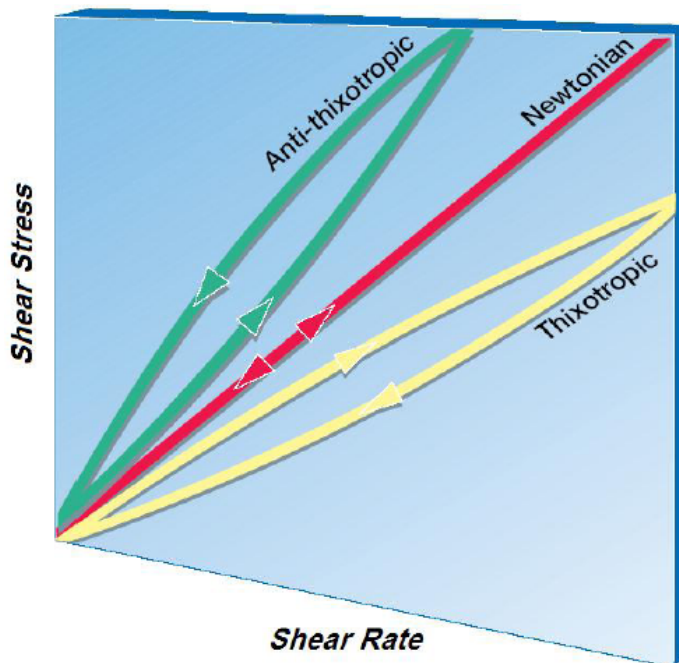
تیکسوتروپی، ویژگی است که برای برخی از سیالات غیر نیوتونی برای نمایش وابستگی ویسکوزیته به زمان بیان می گردد. در سیالات تیکسوتروپیک چنانچه ماده در معرض یک شدت برش ثابت و دمای معین قرار داده شود، تنش برشی یک کاهش برگشت پذیر نسبت به زمان پیدا می کند. البته در نهایت ویسکوزیته به سمت یک مقدار حدی میل خواهد کرد. از دیدگاه مولکولی چنانچه یک سیال تیکسوتروپیک تحت یک برش ثابت قرار گیرد، به تدریج ساختمان مولکولهای آن شروع به شکستن می کند و لذا با افزایش زمان ویسکوزیته سیال کاهش می یابد. مولکولهای شکسته شده در صورت برخورد در جهت مناسب امکان بازگشت به ساختار اولیه خود را دارند و از آنجا که با گذشت زمان بر تعداد مولکولهای شکسته شده افزوده می شود، بنابراین امکان برخورد مولکولها و فعالتر شدن مکانیزم ترمیم افزایش می یابد. به همین دلیل پس از گذشت مدت زمانی مشخص، تعادلی بین فرآیندهای شکست و ترمیم به وجود می آید و ویسکوزیته به سمت مقدار ثابتی میل می کند. به عنوان نمونه برخی پلیمرهای درشت مولکول و محلولهای مواد غذایی دارای این رفتار هستند. گونه ای از خاک رس و گل حفاری خاصیت تیکسوتروپیک از خود نشان می دهند. عسلی که از زنبور عسل بدست می آید نیز در شرایطی خاص، همین خاصیت را از خود به نمایش می گذارد.

سیالات رئوپکتیک مواد بسیار نادری هستند که رفتار آنها کاملاً بر عکس مواد تیکسوتروپیک است. از دیدگاه مولکولی، این مواد ساختار مولکولی اولیه ای ندارند ولی با ایجاد برش و برخورد مولکولها به یکدیگر شانس تشکیل یک ساختار را پیدا می کنند. بنابراین تحت برش ثابت و در شرایط ایزوترمال، یک افزایش برگشت پذیر در تنش

¹ Thixotropic
² Rheoplectic
³ Antithixotropic

برشی و ویسکوزیته آنها مشاهده می‌شود. به عنوان مثال‌هایی از این دست می‌توان به گچ ساختمان سازی و یا جوهرهای چاپگر اشاره کرد. در سال‌های اخیر، از خاصیت رئوپیکتیکی برای ساخت زره بدن و ماشین‌های جنگی و همچنین ساخت دیگر تجهیزات محافظت کننده برای کاهش ضربه ناشی از تنش در حوادثی که برای ورزشکاران، موتورسواران و چتریازان رخ می‌دهد، استفاده شده است.

در شکل ۱-۲ منحنی تنش در برابر نرخ برش برای مواد رئوپیکتیک و تیکسوتروپیک نشان داده شده است.



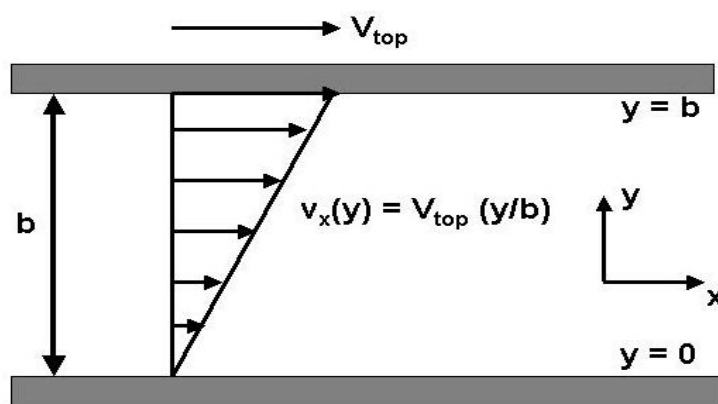
شکل ۱-۲. منحنی‌های تنش برشی در برابر نرخ برش برای سیالات غیر نیوتی تابع از زمان

۱-۱-۳) سیالات ویسکوالاستیک

سیالات ویسکوالاستیک موادی هستند که به طور توامان خواص ویسکوز و الاستیک را دارا می‌باشند. از آنجا که در سیالات، تنش، تابعی از نرخ برش و در جامدات، تابعی از خود برش است، لذا این مواد دارای خواص همزمان جامد و سیال هستند. در ادامه مباحث، اطلاعات جامع‌تری از این دسته از سیالات ارائه خواهد گردید.

۲-۱ آزمایش کوئت

آزمایش جریان برشی ساده که به آزمایش جریان کوئت بین دو صفحه تخت معروف است، می‌تواند به بررسی رفتار جریان مواد ویسکوالاستیک بپردازد. مطابق شکل ۱-۳، چنانچه یک سیال ویسکوالاستیک بین دو صفحه تخت موازی قرار گیرد و صفحه بالایی با سرعت ثابت V_{top} حرکت نماید، یک جریان برشی ساده ایجاد می‌شود. اگر عمل برش دهی قطع و صفحه بالایی بطور ناگهانی متوقف شود، رفتار سیالات نیوتونی و ویسکوالاستیک کاملاً با هم متفاوت است. برخلاف سیالات نیوتونی که در آنها تنش به طور آنی صفر می‌شود، در مواد ویسکوالاستیک کاهش تنش برشی دارای بازه زمانی است که آن را زمان آسودگی از تنش^۱ می‌نامند.



شکل ۱-۳. جریان برشی ساده (جریان کوئت)

همچنین برای سیال ویسکوالاستیک، چنانچه در حین حرکت صفحه بالایی، تنش برشی به طور آنی قطع شود (نیروی روی صفحه قطع و صفحه به حال خود رها گردد)، صفحه بالایی تا حدی به عقب بر می‌گردد، در حالیکه در سیالات نیوتونی توقف صفحه بالایی نیز آنی است. در واقع بازگشت صفحه بالایی ناشی از خاصیت الاستیک ماده است، اما این بازگشت نسبت به مواد الاستیک (با خواص الاستیک یکسان) کندر است که این موضوع ناشی از

¹ Relaxation time

وجود مکانیزم ویسکوز در این مواد است. بر این اساس ادعا می شود که این مواد دارای یک حافظه^۱ جهت دار از تغییر شکل‌های خود بوده و از حالت قبلی خود آگاه هستند.

۱-۳) پدیده‌های جریان در سیالات پلیمریک

هدف از ارائه این بخش بیان برخی از تفاوت‌های کیفیتی میان سیالات نیوتنی و غیر نیوتنی می‌باشد.

۱-۳-۱) ماهیت شیمیابی سیالات پلیمری

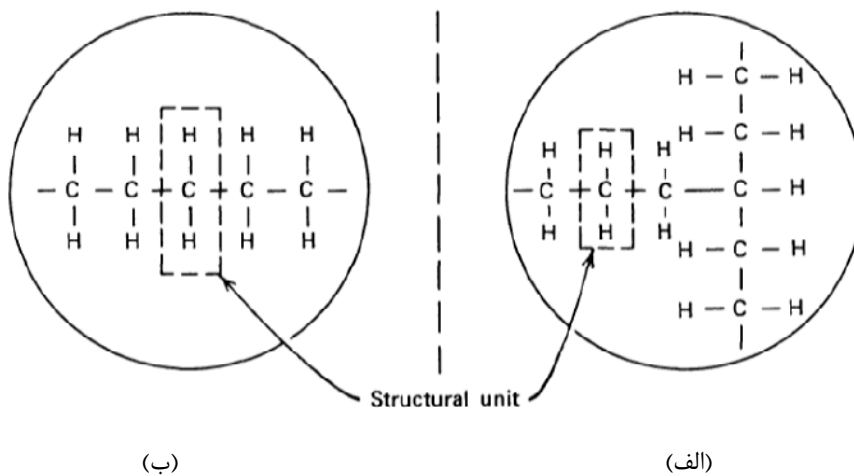
یک درشت مولکول^۲ یا پلیمر، مولکول بزرگی است که از بسیاری از واحدهای شیمیابی مشابه تشکیل یافته است که به صورت عمومی به آنها واحدهای ساختاری^۳ گویند. در برخی از پلیمرها، هر کدام از واحدهای ساختاری تنها به دو واحد ساختاری دیگر متصل می‌گردند و زنجیره‌ای را تشکیل می‌دهند. از این رو به آنها ماکرومولکوهای خطی^۴ گویند. در گونه‌های دیگر از پلیمرها، بخش عمدہ‌ای از واحدهای ساختاری تنها به دو واحد ساختاری دیگر متصل می‌شوند. اما تعداد بسیار کمی از واحدها نیز با سه و یا حتی تعداد واحد ساختاری بیشتر تشکیل پیوند می‌دهد و از همین رو به این دسته از پلیمرها، ماکرومولکولهای منشعب یا شاخه‌ای^۵ می‌گویند. در شکل ۱-۴ گونه‌هایی نمادین از ساختارهای پلیمری خطی و دارای انشعاب را می‌توان مشاهده نمود. همچنین تنها برای اطلاع بیان می‌گردد که گونه‌ی دیگری از پلیمرها نیز وجود دارند که در آنها، تمام واحدهای ساختاری به هم متصل بوده و به آنها ساختارهای شبکه‌ای^۶ می‌گویند. البته این مواد را نمی‌توان به صورت عمومی در گونه سیالات گردآوری کرد و به همین دلیل هم در بحث موجود مجالی برای مانور بیشتر روی این موضوع وجود ندارد.

در اینجا مناسب است تا به تمایز میان پلیمرهای مصنوعی و طبیعی (بیولوژیکی) نیز اشاره کوچکی داشته باشیم.

بسیاری از پلیمرهای مصنوعی، تنها از یک واحد ساختاری تشکیل می‌گردند و به همین دلیل آن را هموپلیمر^۷

Memory^۱
Macromolecule^۲
Structural units^۳
Linear Macromolecule^۴
Branched Macromolecule^۵
Network Structures^۶
Homopolymer^۷

می‌نامند. از جمله این پلیمرها می‌توان به پلی‌اتیلن و پلی‌استیرن اشاره نمود. در مقابل، چند پلیمری‌ها^۱ از دو واحد ساختاری یا تعداد بیشتری از این واحدها ساخته می‌شوند. اکثر پلیمرهای بیولوژیکی چند پلیمری هستند که از آن جمله می‌توان به زنجیره‌های پلی‌پپتید^۲ اشاره نمود که پروتئین‌ساز می‌باشد. برای بیان مثال‌های دیگری از این دست می‌توان به رشته‌های *DNA* و یا ویروسها اشاره کرد که کلیدهای انتقال خواص در رشته‌های آنها یافت می‌گردد.



شکل ۱-۴. ارائه نمادین ماکرومولکولهای (الف) شاخه‌دار (ب) خطی [۱۵]

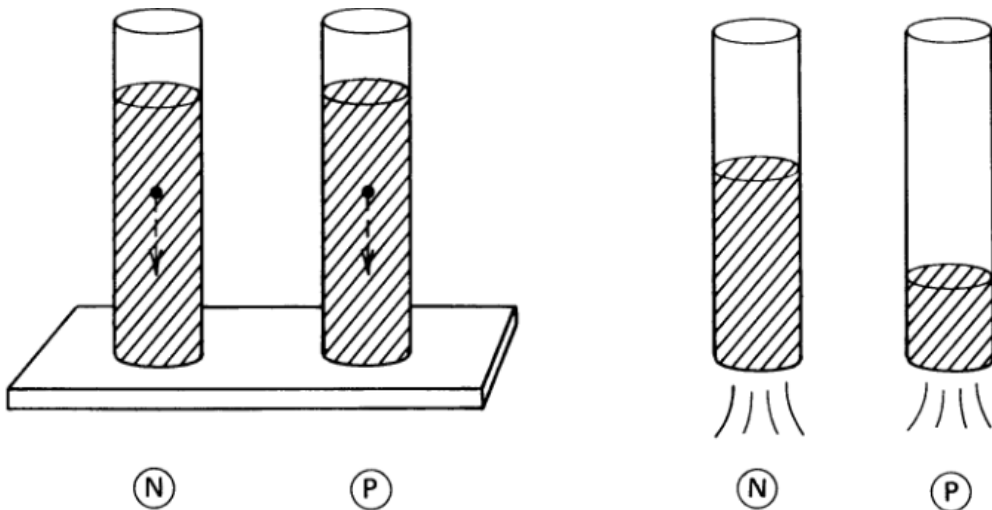
در انتهای اشاره گردد که مواد پلیمری تنها سیالاتی نیستند که از رفتار نیوتونی انحراف نشان می‌دهند. به عنوان مثال برخی از شویندها یا ذرات خاک رس نیز می‌توانند ساختارهای بزرگی را تحت تاثیر درون واکنشهای دو قطبی و یا دیگر نیروهای درون مولکولی تولید کنند که از این رو این سیالات نیز به عنوان سیالات غیر نیوتونی به حساب می‌آیند.

۱-۳-۲) ویسکوزیتہ غیر نیوتنی

شاید تنها ویژگی بسیار مهم سیالات پلیمری این است که ویسکوزیته آنها وابسته به نرخ برش است و یا به عبارتی غیر نیوتونی می باشد. به منظور درکی اولیه از این عبارت، به تشریح آزمایشی بسیار ساده پرداخته می شود.

Copolymer¹ Polypeptide²

در آزمایش اول، دو لوله یکسان را در نظر می‌گیریم که به صورت عمودی قرار گرفته‌اند و انتهای هر دو لوله نیز توسط صفحه‌ای تخت پوشانیده شده است. همانگونه که در شکل ۱-۵ نشان داده شده است، یکی از لوله‌ها مملو از یک سیال نیوتنی و دیگری مملو از یک سیال پلیمریک (گلیسیرین محلول در آب) می‌باشد. در حالت اول دو کره یکسان و چگالی برابر که البته مقدار این چگالی سیالات درون لوله‌ها بیشتر است، در درون لوله‌ها رها می‌گردد. آن چیزی که مشاهده می‌شود، این است که هر دو کره با نرخ برابر سقوط می‌کنند. این آزمایش نشان می‌دهد که در شرایطی با نرخ برش پایین، ویسکوزیته‌ها تقریباً برابر می‌باشند (شکل ۱-۵ را مشاهده کنید).



شکل ۱-۵. در نرخ برش پایین، کره کوچک درون هر دو لوله آزمایش با سرعتی برابر به سمت پایین حرکت می‌کنند.

(N) سیال نیوتنی (P) سیال پلیمریک [۱۵]

همچنین در حالتی که صفحه تخت را از زیر این دو لوله برداریم و اجازه دهیم تا سیال با نیروی وزن خود از لوله خارج گردد، مشاهده خواهیم کرد که سیال پلیمریک سریع‌تر از سیال نیوتنی از لوله خارج می‌شود. با توجه به این آزمایش، می‌توان نتیجه گرفت که در نرخهای برش بالا، سیالات پلیمریک دارای ویسکوزیته کمتری نسبت به سیالات نیوتنی هستند. کاهش ویسکوزیته با افزایش نرخ برش را پدیده کاهش برش^۱ می‌نامند و

¹ Shear Thinning

موادی که این خاصیت را از خود به نمایش می‌گذارند را مواد شبه پلاستیک^۱ می‌نامند. از جمله این مواد می‌توان به پلی‌اتیلن و پلی‌پروپیلن مایع شده و یا محلولهای کربوکسی متیل سلولوز در آب اشاره کرد. در حقیقت تقریباً همه پلیمرهای محلول و یا مایع شده‌ای که ویسکوزیته آنها به نرخ برش وابسته می‌باشد، از نوع شبه پلاستیک هستند.

تعداد بسیار کمی از سیالات پلیمریک نیز رفتاری بر عکس آنچه که در بالا به آن اشاره شد را دارند. در این سیالات، ویسکوزیته با افزایش نرخ برش افزایش می‌یابد و بر طبق این اصل، در آزمایش بالا این سیالات دیرتر از سیال نیوتونی از لوله خارج می‌گردند. به اینگونه از سیالات، سیالات دیلاتانت^۲ گویند [۱ و ۲]. دو نمونه از این سیالات، محلول دی اکسید تیتانیم در ساکاروز و محلول ذرات نشاسته در مخلوط اتیلن-گلیکول-آب می‌باشند.

همانطور که می‌دانیم تعداد بسیار کمی از سیالات پلیمری خاصیت دیلاتانت را از خود نشان می‌دهد. گونه‌ای دیگر از سیالات نیز وجود دارند که رفتار دیگری از خود به نمایش می‌گذارند. این سیالات تا زمانی که به یک تنش برشی بحرانی، که به آن تنش تسلیم می‌گویند نرسند، جریان پیدا نمی‌کنند. اینگونه از سیالات را سیالات ویسکوپلاستیک می‌نامند [۳]. گونه‌های خاصی از رنگ‌ها، گریس و چسب‌ها از جمله سیالات ویسکوپلاستیک می‌باشند.

۱-۳-۳) تنش‌های نرمال

بسیاری از ویژگی‌های مهم در جریان سیالات پلیمریک به اختلافات تنش نرمال در این سیالات نسبت دارد می‌شود. در ابتدا برای درک اختلافات تنش نرمال برخی قراردادها را پایه‌گذاری می‌نماییم. اگر جریان سیال، تنها در یک جهت مختصات جاری باشد و سرعت آن نیز تنها در یک جهت دیگر تغییر نماید، جهت سرعت سیال را جهت ۱ و جهت تغییرات سرعت را جهت ۲ در نظر گرفته می‌شود. جهت خنثی باقیمانده، نیز ۳ نامگذاری می‌گردد. به این ترتیب $\tau_{22} - \tau_{11}$ را اختلاف تنش نرمال اول و $\tau_{33} - \tau_{22}$ را اختلاف تنش نرمال دوم گوییم.

¹ Pseudoplastic
² Dilatant

در سیالات پلیمری، اختلاف تنش نرمال اول در حالت عملی و از نظر مقدار بزرگتر از اختلاف تنش نرمال دوم می‌باشد. این بدین معنی است که سیالات پلیمریک کشش بیشتری را در طول خطوط جریان از خود نشان می‌دهند که همان جهت ۱ می‌باشد. مقدار تنش نرمال دوم از اول کمتر است و این نشان می‌دهد که اغلب جریان برشی سیال، تمایل کمتری به کشش بیشتر در جهت ۳ دارد. در شکل ۱-۳ جهات ۱، ۲ و ۳ با جهات τ_{xx} و τ_{yy} مطابقت دارد. بنابراین اختلاف تنش نرمال اول $\tau_{yy} - \tau_{xx}$ و اختلاف تنش نرمال دوم $\tau_{zz} - \tau_{yy}$ می‌باشد. در سیالات نیوتونی مقادیر اختلاف تنش نرمال اول و دوم دقیقاً صفر خواهد شد.

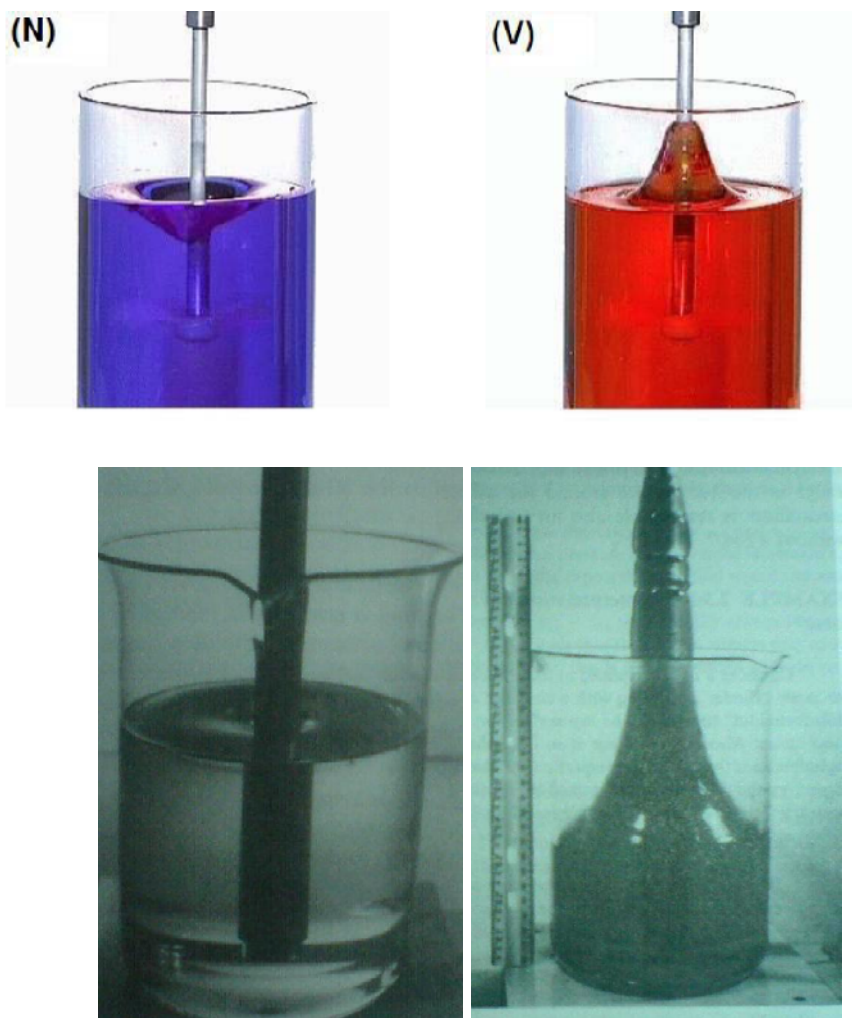
حال به بررسی چندین فرآیند آزمایشگاهی پرداخته شده تا اثرات تنش نرمالها را مورد بررسی قرار گیرد.

۱-۳-۴) بالا رفتن از میله چرخان

در این آزمایش، میله دواری، درون دو ظرف آزمایشگاهی حاوی سیال قرار داده می‌شود. ظرف اول از سیال نیوتونی و ظرف دوم از سیال ویسکوالاستیک پر شده است. سیال نیوتونی بر اثر نیروی گریز از مرکز ناشی از دوران میله در اطراف منطقه تماس میله و سیال به اطراف هل داده می‌شود و در دل آن حفره‌ای ایجاد می‌گردد. اما در مقابل، رفتار بسیار عجیبی از سیال ویسکوالاستیک مشاهده می‌گردد. سیال ویسکوالاستیک در جهت مخالف حرکت می‌کند و بر خلاف سیال نیوتونی، از میله بالا می‌رود. این پدیده اولین بار توسط گارنر و نایسن^۱ مورد بررسی قرار گرفت [۴]. اما قبل از این تحلیل علمی، راسل^۲ آن را در صنعت رنگ‌سازی مشاهده و گزارش نموده بود (شکل ۱-۶). را مشاهده کنید) [۵].

علت این پدیده به این تفکر برمی‌گردد که در طول خطوط جریان، کشش بیشتری وجود دارد. در این آزمایش، خطوط جریان، دوایری بسته می‌باشند که به دلیل کشش بیشتر در طول این خطوط، سیال را تحت فشار قرار داده و سیال را در جهت مخالف نیروی گریز از مرکز هل داده و همچنین آن را خلاف نیروی جاذبه به حرکت در می‌آورد تا سیال از میله بالا رود.

Garner and Nissan¹
Russel²



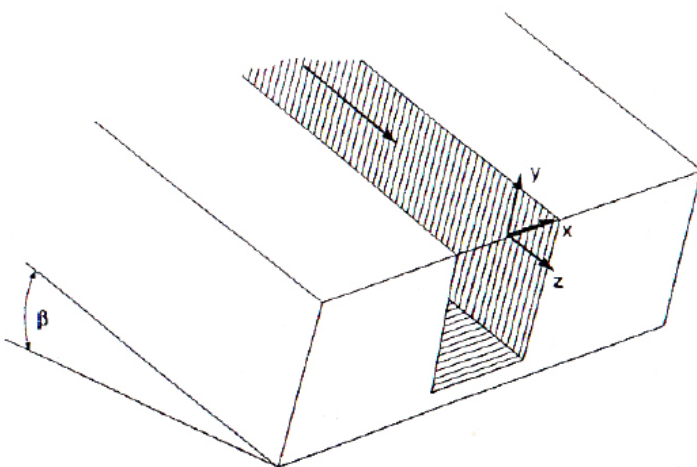
شکل ۱-۶. میله دوار درون ظرف حاوی سیال (N) نیوتانی (V) ویسکوالاستیک [۱۵]



شکل ۱-۷. مشاهدات آزمایشگاهی از بالا آمدن سیال ویسکوالاستیک به دور میله دوار

۱-۳-۵) سطح محدب در یک کانال کج

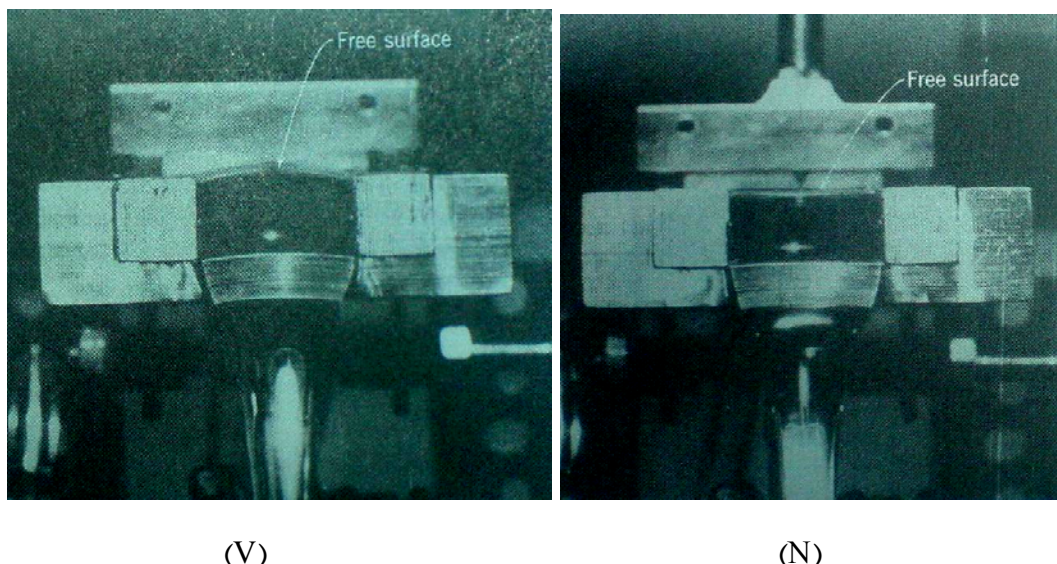
در این آزمایش جریانی با عدد رینولدز بسیار پایین، در یک کانال شیبدار در نظر گرفته شده است (هندسه مساله در شکل زیر نمایش داده شده است).



شکل ۱-۸. طرح شماتیک جریان روی یک کانال باز شیبدار [۱۵]

کanal به گونه‌ای طراحی شده است که سیال درون آن با استفاده از نیروی جاذبه جریان یابد. در بررسی این جریان مشاهده شد که سطح آزاد سیال نیوتونی یک سطح صاف می‌باشد، ولی در مورد سطح آزاد سیال غیر نیوتونی شکل خمیده بدت آمد. با وجود اینکه این خمیدگی بسیار کوچک است، اما قابل مشاهده می‌باشد. وینمن و پیپکین^۱ برای اولین بار این موضوع را مطرح کردند [۶] و کار آزمایشگاهی آن نیز برای اولین بار توسط تنر^۲ به اجرا درآمد (شکل ۹-۱ را مشاهده کنید) [۷].

Wineman and Pipkin¹
Tanner²

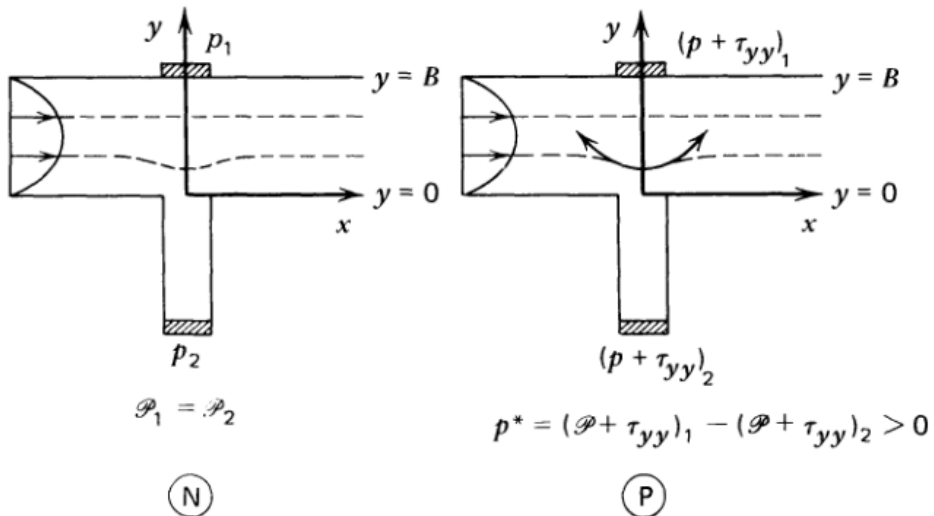


شکل ۱-۹. سطح آزاد جریان سیال در یک کanal شیبدار (N) سیال نیوتونی (V) سیال ویسکوالاستیک [۱۵]

۱-۳-۶) اثر فشار حفره‌ای^۱

کanal شکل ۱-۱۰ را در نظر بگیرید. این کanal در مسیر خود دارای حفره‌ای متقطع می‌باشد. جریان سیال با استفاده از گرادیان فشار در جهت x و از چپ به راست حرکت می‌کند. دو عدد فشار سنج در دیواره روبرویی شکاف و دیواره انتهایی شکاف متصل شده است. فشار قرائت شده در دو طرف به ترتیب $(p + \tau_{yy})_1$ و $(p + \tau_{yy})_2$ می‌باشد. در صورتی که جریان به حد کافی آرام باشد تا از فرض اینرسی‌دار بودن جریان بتوان صرف نظر کرد، از طریق معادلات حرکت برای سیال نیوتونی می‌توان دریافت که خط مرکزی $x = 0$ خط تقارن برای محدوده سرعت است. این بدین معنی است که فشار روی خط تقارن، مستقل از y است. پس در صورت صرف نظر کردن اثرات اینرسی در جریان، می‌توان گفت که τ_{yy} برای سیال نیوتونی مقداری معادل صفر دارد و فشارهای $(p)_1$ و $(p)_2$ نیز با هم برابرند. اما از سویی دیگر می‌توان دریافت که به صورت کلی، اختلاف این دو مقدار، یعنی $p^* = (p + \tau_{yy})_1 - (p + \tau_{yy})_2$ را فشار حفره‌ای می‌نامند که مرتبط با تنشهای نرمال در جریان برشی می‌باشند.

^۱Hole pressure effect



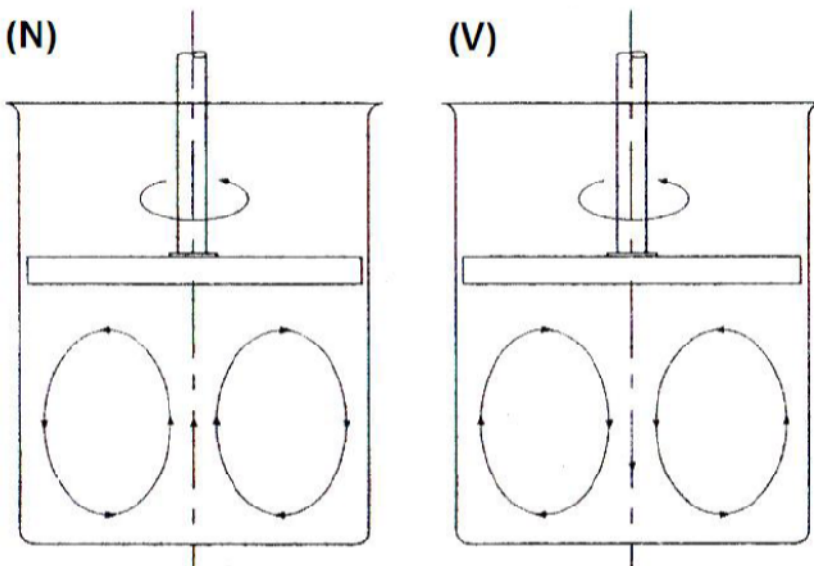
شکل ۱۰-۱. بررسی فشار حفره ای (N) سیال نیوتونی (P) سیال پلیمریک (ویسکوالاستیک) [۱۵]

سه آزمایشی که در بالا مطرح شده بودند، مثال‌هایی از اثرات تنش نرمال در سیال می‌باشند. جریان سیال در اینها به دو دسته جریان اولیه قوی و جریان ثانویه ضعیف، تقسیم می‌گردد. بحث در مورد جریانهای اولیه بیشتر مرتبط با خواص لزجی یا ویسکوز سیال می‌باشد. اما بحث در مورد جریان‌های ثانویه بیشتر در ارتباط با اثرات اینرسی و اثرات الاستیک است. در هر سه مثال قبل مشاهده کردیم که جریانهای ثانویه‌ای که به دلیل اثرات اینرسی به وجود می‌آیند، متفاوت با جریانهای ثانویه‌ای هستند که به دلیل وجود اثرات الاستیک تولید می‌گردند. اگرچه هیچ اصل کلی که بیانگر این موضوع باشد که اثرات اینرسی و اثرات الاستیک، جریانهای ثانویه‌ای در خلاف جهت هم ایجاد می‌نمایند، وجود ندارد، اما این امر موضوعی قابل لمس است.

۱-۳-۷) تانک استوانه‌ای با درپوش دوار

در این آزمایش، جریان به وجود آمده بر اثر قرار دادن یک دیسک دور روى ظرف آزمایشگاهی پر از سیال مورد بررسی قرار می‌گیرد. جریان‌های ثانویه این نوع جریان در شکل ۱۱-۱ آمده است. به دلیل دوران دیسک، جریان‌های اولیه سیال، در جهت مماسی می‌باشند. همچنین، سیال در بالای ظرف، دوران شدیدتری نسبت به

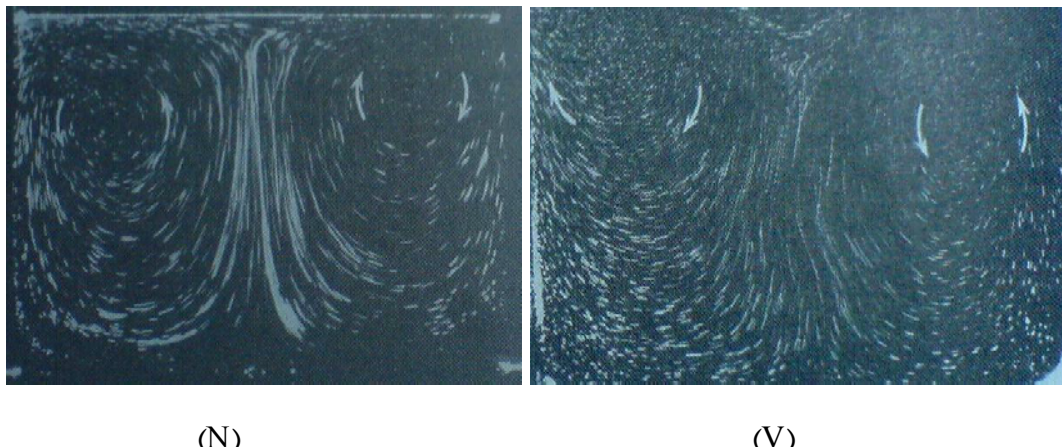
پایین ظرف دارد. متعاقباً، سیال اطراف دیسک و بالای ظرف، نیروی گریز از مرکز بیشتری را تحمل می‌کند. در سیالات نیوتونی، هیچ نیروی مخالفی وجود ندارد و به همین دلیل هم جریان ثانویه ضعیفی تولید خواهد شد که این جریان‌ها به شکل دوازیری خواهد بود که در نزدیکی دیسک، به سمت دیواره و به سمت پایین حرکت می‌کند و نهایتاً هم در منطقه مرکزی همانگونه که در شکل پیداست به هم می‌رسند. مقدار سرعت در جریان‌های ثانویه حدود ۱۰ درصد سرعت در جریان اولیه می‌باشد.



شکل ۱۱-۱. جریان‌های ثانویه در یک سیستم سیلندر - دیسک با دیسک چرخان

[۱۵] سیال نیوتونی (V) سیال ویسکوالاستیک (N)

اما برای یک سیال ویسکوالاستیک جریان‌های ثانویه در جهتی مخالف به وجود می‌آیند که در شکل ۱۲-۱ نیز به [۸] وضوح قابل مشاهده می‌باشد.



شکل ۱۲-۱. طرح شماتیک جریان‌های ثانویه در یک سیستم سیلندر - دیسک با دیسک چرخان

[۱۵] سیال نیوتونی (V) سیال ویسکوالاستیک (N)

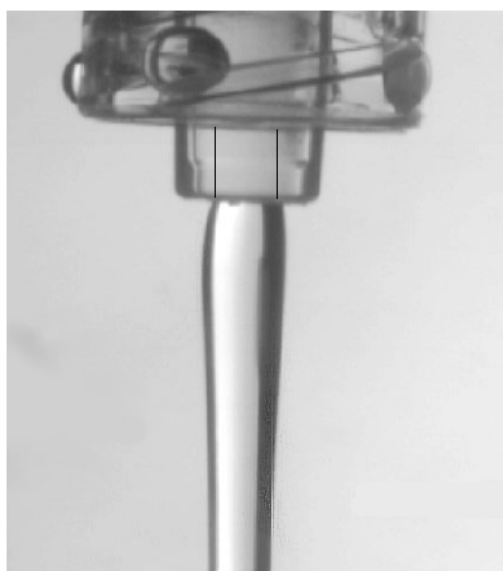
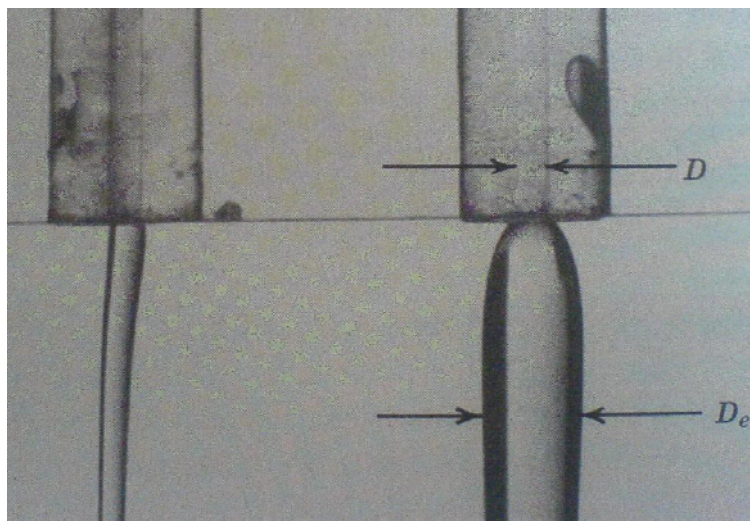
۸-۳-۱ آماسیدگی جت



شکل ۱۳-۱. تورم جت یک سیال ویسکوالاستیک در نزدیکی سر نازل

در این آزمایش، سیالی که در یک لوله موئین به قطر D قرار دارد و با قطر D_e به بیرون جت می‌شود، مورد بررسی قرار می‌گیرد. در جریان آرام با رینولدز پایین، در سیالات نیوتونی، D_e تقریباً ۱۳ درصد بزرگتر از D می‌باشد و در همان جریان آرام اما با اعداد رینولدز بالاتر، D_e تقریباً ۱۳ درصد کوچکتر از D می‌باشد. همانگونه که در شکل ۱۴-۱ واضح است، سیال نیوتونی در هنگام خروج از دهانه لوله موئین، چهار هیچ‌گونه آماسیدگی و یا تورم شدید نمی‌شود. اما در مورد سیالات ویسکوالاستیک، این قضیه کاملاً متفاوت است. در اینگونه از سیالات، به عنوان

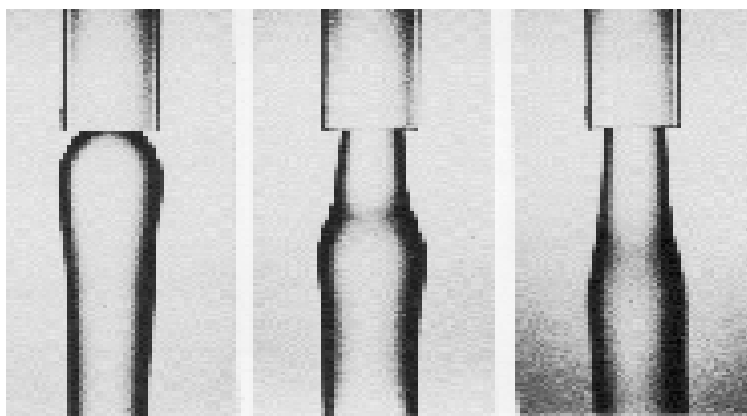
مثال پلی متیل متا کرایلیت^۱ افزایش D_e نسبت به D حدود ۳۰۰ درصد می‌باشد. این افزایش دو، سه و یا حتی چهار برابری قطر سیال خروجی را آماسیدگی جت گویند [۹].



شکل ۱۴-۱. مشاهدات آزمایشگاهی آماسیدگی جریان جت دو سیال ویسکوالاستیک و نیوتونی [۱۵]

Polymethylmethacrylate^۱

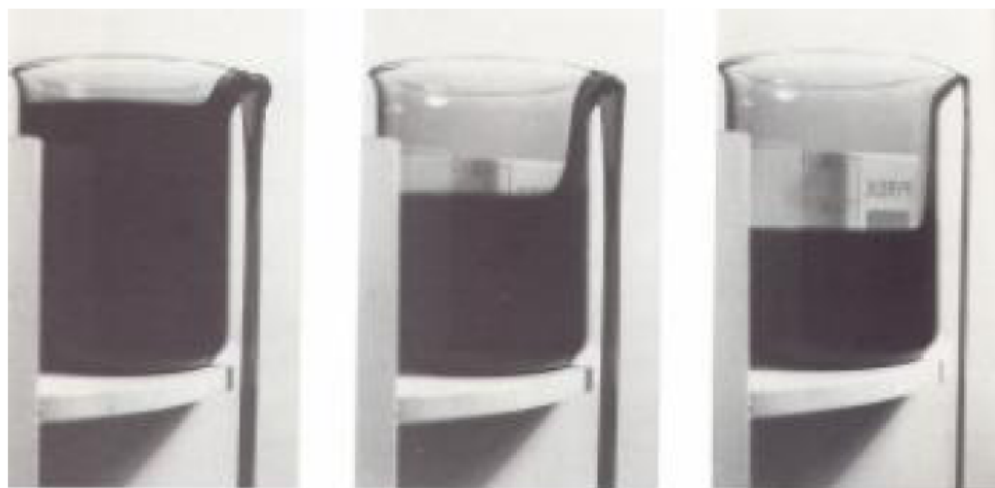
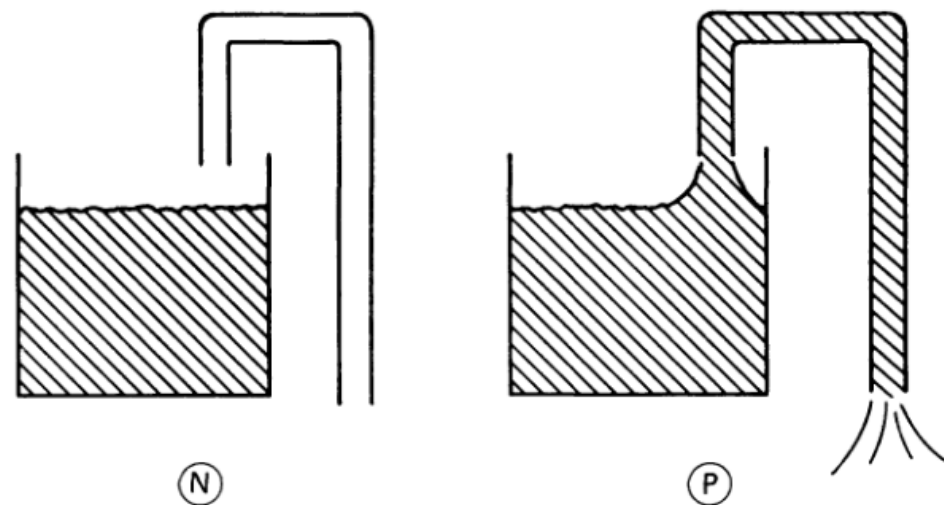
همچنین افزایش اینرسی جریان سبب ایجاد تأخیر در وقوع این پدیده می‌شود.



شکل ۱-۱۵. دور شدن موقعیت تورم با افزایش عدد رینولدز

۱-۳-۹) سیفون بدون لوله

در اینجا مقایسه تخلیه سیفونی یک سیال نیوتونی و یک سیال پلیمری شرح داده می‌شود. دو آزمایش مشابه را در نظر می‌گیریم. که در هر دوی آنها سیال درون لوله را می‌خواهیم با استفاده از سیفون تخلیه نماییم. حال فرض می‌شود که سیال در حال بالا کشیده شدن از درون ظرف حاوی سیال است. اگر این مکش را قطع کنیم، زمانی که سیال نیوتونی را تخلیه کردیم، ناگهان صدای مکش بلندی را می‌شنویم و مشاهده می‌شود که عملیات تخلیه دیگر انجام نمی‌گیرد. اما اگر سیال غیر نیوتونی را در ظرف داشته باشیم، این مکش همچنان ادامه پیدا می‌کند (شکل ۱-۱۶) را مشاهده کنید). باور مقبول بر این است که کشیدگی مولکولهای طویل پلیمر در امتداد خط جریان سبب ادامه یافتن جریان سیفون می‌شود [۱۰].



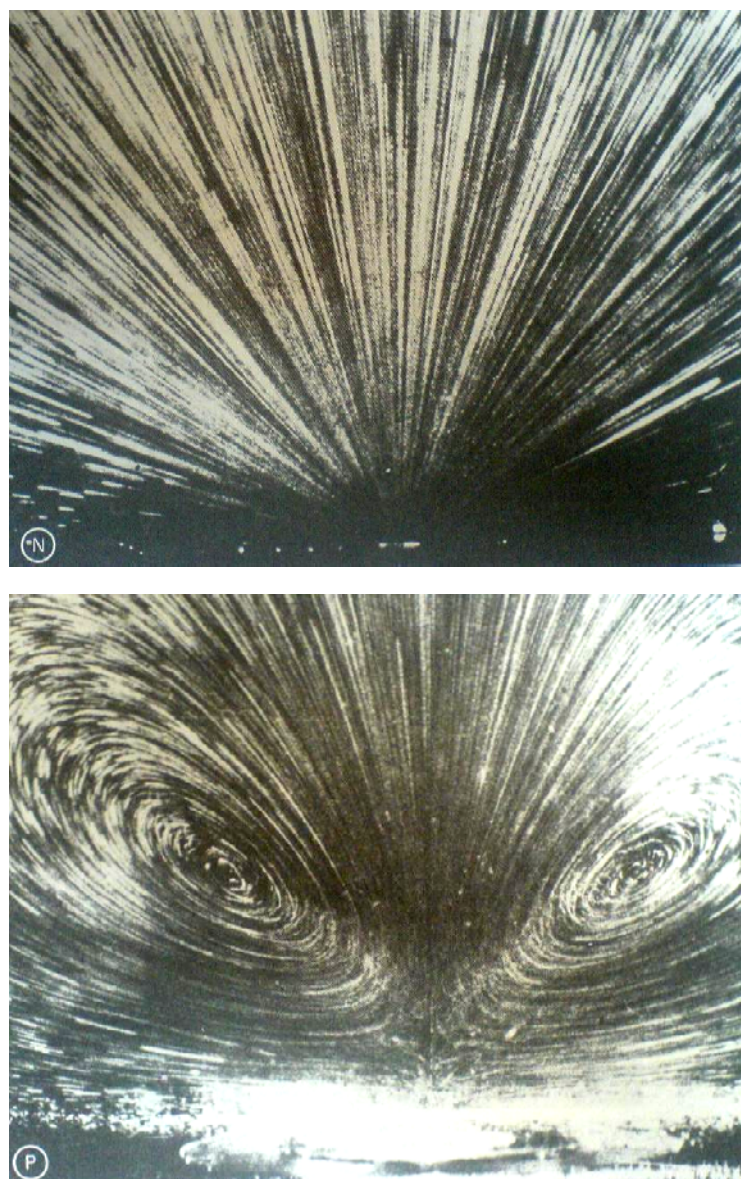
شکل ۱۶-۱. سیفون بدون لوله سیالات و یسکوالاستیک [۱۵]

۱۰-۳) جریان انقباضی

در شکل ۱۷-۱ دو تصویر را مشاهده می‌شود که توسط گیسکاس^۱ گرفته شده است. عدد رینولدز برای هر دو آزمایش بسیار پایین است. در این آزمایشات می‌خواهیم سیالی را که درون یک ظرف بزرگ قرار دارد را وارد یک لوله کوچک نماییم. در آزمایش اول، سیال نیوتنی وارد لوله با دهانه کوچکتر می‌شود. همانگونه که در شکل، واضح

^۱ Gieseckus

است، خطوط جریان سیال نیوتونی مستقیم و به سمت دهانه لوله می‌باشند. اما در مورد سیال غیر نیوتونی شرایط به گونه‌ای دیگر است. تنها بخشی از سیال که در راستای خط مرکزی قرار دارد، وارد لوله شده و پروفیل مستقیم دارد. اما بخش وسیعی از سیال، در یک مسیر دوران^۱ قرار می‌گیرد و وارد لوله نمی‌شود.



شکل ۱۷-۱. جریان‌های ثانویه در پدیده انقباض (N) سیال نیوتونی (P) سیال پلیمریک [۱۵]

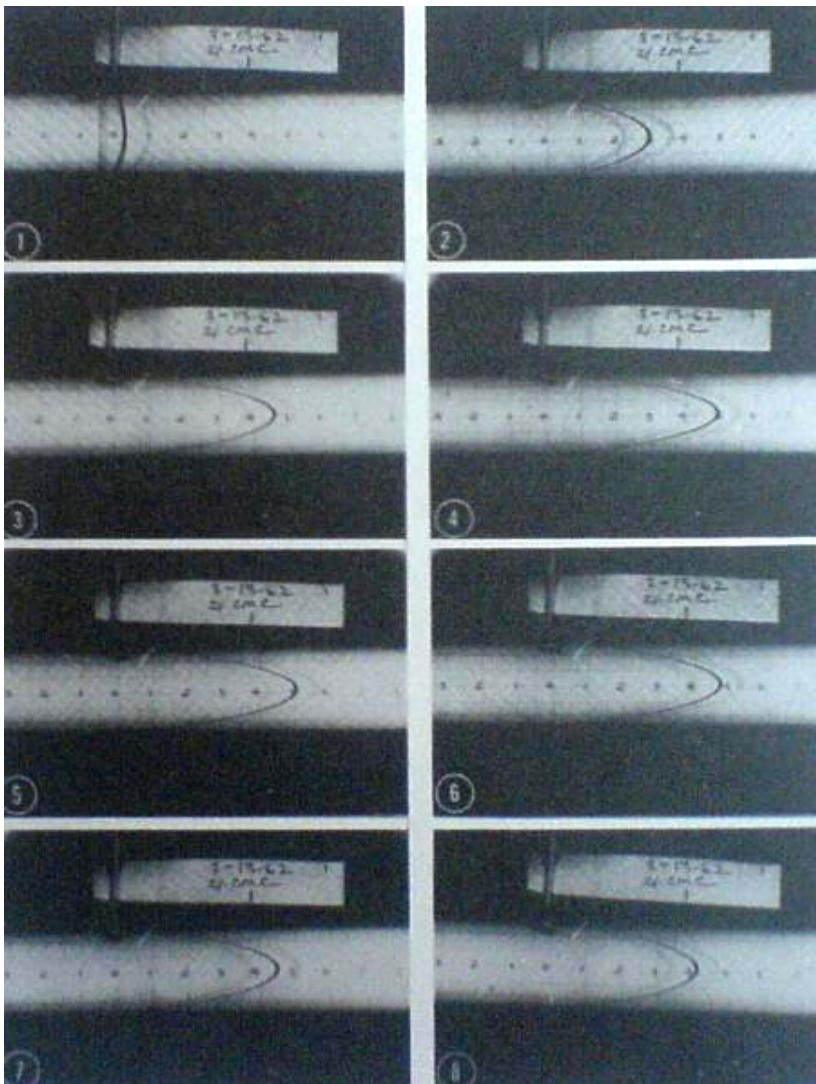
Circulation^۱

۱-۳-۱) بازگشت فنری

خاصیت جالب دیگری که در سیالات ویسکوالاستیک وجود دارد، قابلیت بازگشت‌پذیری و یا فنریت آن است. در این بخش، دو آزمایش بیان می‌گردد.

در آزمایش اول که توسط کاپور^۱ انجام گرفته است [۱۱]، سیال ویسکوالاستیکی در نظر گرفته شده و به آن گرادیان فشاری اعمال می‌شود. تغییر شکل خطوط جریان در سکانس‌های مختلف بررسی شده است. همانگونه که در شکل ۱۸-۱ مشخص است، تا فریم ۵ گرادیان فشار به سیال ویسکوالاستیک اعمال می‌گردد. می‌توان بازگشت فنری سیال ویسکوالاستیک را در فریم‌های بعدی مشاهده کرد. در سیالات نیوتونی این بازگشت فنری مشاهده نمی‌شود.

Kapoor¹

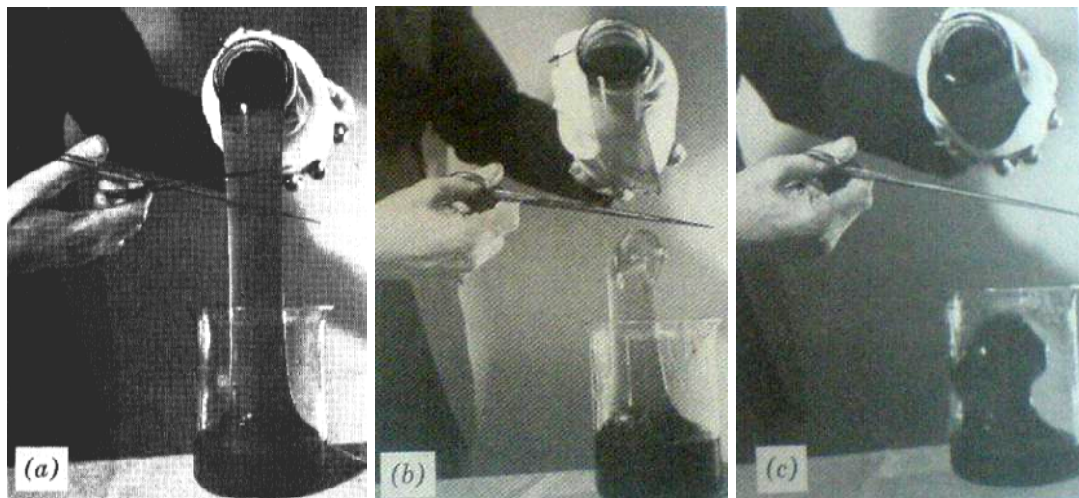


شکل ۱۸-۱. بررسی پدیده بازگشت فنری

[۱۵] فریم اول مربوط به اعمال گرadian فشار و [۱۶] فریم بعدی مربوط به بازگشت فنری

در آزمایش دوم، محلول موسوم به محلول صابون آلومینیم را در نظر می‌گیریم که از درون ظرفی، به داخل یک ظرف آزمایشگاهی، خالی می‌شود. این آزمایش برای اولین بار توسط لوچ^۱ در سال ۱۹۶۴ انجام گرفت. همانگونه که در شکل ۱۹-۱ مشخص است، در ابتدا محلول یسکوالاستیک با نیروی وزن خود در حال سرازیر شدن به درون یک ظرف آزمایشگاهی (بشر) می‌باشد. اما پس از برش این جریان، لحظاتی بعد، سیال یسکوالاستیک بر اثر خاصیت فنری خود به درون ظرف برمی‌گردد.

^۱ Lodge

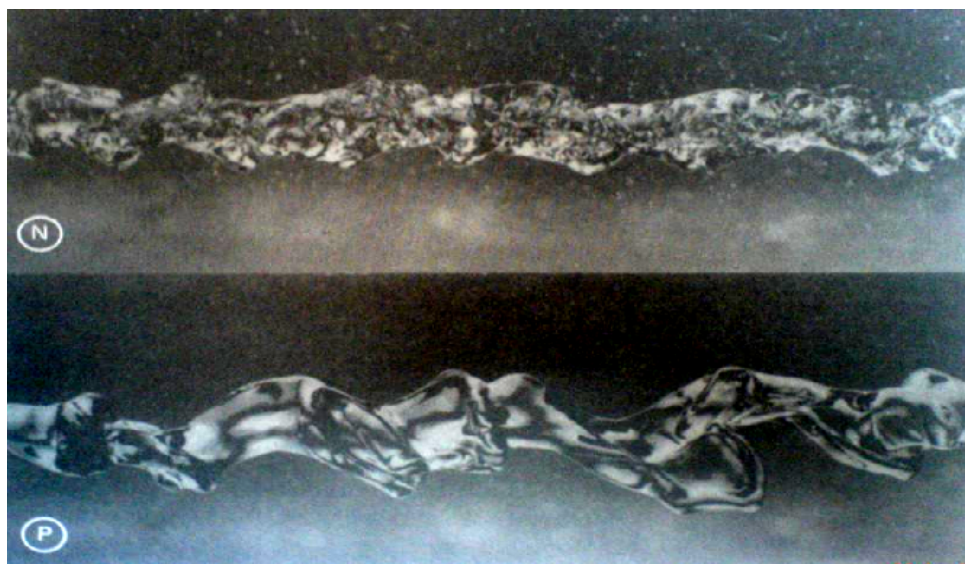


شکل ۱۹-۱. بازگشت فنری یک سیال ویسکوالاستیک [۱۵]

۱-۳-۱۲) جریان خروجی جت

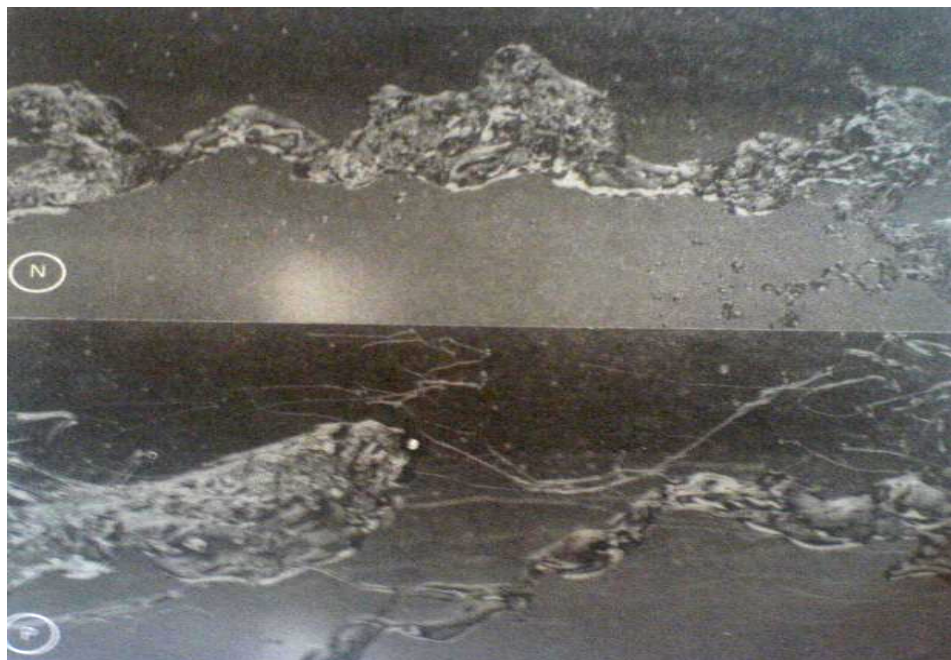
در این بحث، می‌خواهیم مثالی از پراکندگی و تجزیه جت را بیان کنیم. در شکل ۲۰-۱ دو سیال خارج شده به صورت جت در نظر گرفته شده‌اند [۱۲]. در این تصویر که فاصله ۱ متر از خروجی جت را به نمایش می‌گذارد، دو سیال مورد بحث قرار گرفته است؛ سیال نیوتونی و غیر نیوتونی. سیال نیوتونی به کار رفته، آب خالص است و سیال غیر نیوتونی به کار رفته، از اضافه کردن مقداری پلی اتیلن اکساید^۱ به آب خالص بدست آمده است. همانگونه که در این شکل مشخص است، در اطراف سیال نیوتونی که در حقیقت همان آب خالص است، مقدار زیادی قطرات ریز وجود دارد. سیال ویسکوالاستیک، پیوستگی خود را حفظ کرده است و هیچ قطره‌ای در اطراف آن مشاهده نمی‌گردد.

^۱ Polyethylene Oxide



شکل ۱-۲۰. یک متر جریان جت خارج شده از اوریفیس (N) سیال نیوتونی (P) سیال پلیمریک [۱۵]

در تصویر زیر همان آزمایش قبلی را در محدوده وسیعتری مانند ۲ متری جت بررسی شده است. همانطوری که مشخص است هر دو جریان دچار تجزیه و فروپاشی می‌گردند. در اطراف جدایش آب، قطرات بسیار ریز زیادی مشاهده می‌گردد. اما در اطراف سیال ویسکوالاستیک این قطرات حالت رشته‌ای به خود می‌گیرند.



شکل ۱-۲۱. دو متر جریان جت خارج شده از اوریفیس (N) سیال نیوتونی (P) سیال پلیمریک [۱۵]

۴-۱) گروه‌های بی بعد در مکانیک سیالات غیر نیوتونی

در مکانیک نیوتونی، عدد رینولدز، بیانگر گروه بی بعدی است که از تقسیم نیروی اینرسی بر نیروی ویسکوزیته بدست می‌آید. در هر نوعی از جریان، اعداد بی بعدی (مانند نسبت‌های هندسی) می‌توانند به وجود آیند، اما عدد رینولدز مهم ترین گروه بی بعد در میان این اعداد است.

در سیالات ویسکوالاستیک، گروه بی بعد کلیدی، عدد دبراو^۱ می‌باشد که توسط راینر^۲ ارائه شده است [۱۳]. این عدد می‌تواند به صورت نسبتی از نیروهای الاستیک به نیروهای ویسکوز تفسیر گردد و به صورت نسبت زمان مشخصه (یا مقیاس زمانی) سیال، λ ، روی زمان مشخصه (یا مقیاس زمانی) جریان تعریف شود.

$$De = \frac{\lambda}{t_{flow}} \quad (1-1)$$

زمان مشخصه سیال، زمان لازم برای جنبش مولکولی یا برخی ثابت‌های زمانی متوسط که با ویسکوالاستیسیته خطی تعیین می‌گردد، می‌باشد و به عبارتی ساده‌تر زمان مشخصه سیال، همان زمان آسودگی از تنش می‌باشد. اما زمان مشخصه جریان می‌تواند زمان سپری شده در یک رویداد سینماتیکی باشد که بعضی اوقات، این زمان همان زمان آزمایش یا زمان مشاهده آزمایشگاهی است.

گروه بی بعد دوم، عدد واizenبرگ می‌باشد که به صورت زیر تعریف می‌گردد:

$$We = \lambda \kappa \quad (2-1)$$

به طوریکه κ نرخ مشخصه برش در جریان می‌باشد. عدد واizenبرگ بر اساس نسبت نیروی ناشی از خاصیت الاستیک به نیروی حاصل از ویسکوزیته تعریف می‌شود. بنابراین در یک سیال خاص، بالا بودن عدد واizenبرگ به معنای غیر نیوتونی بودن این سیال است.

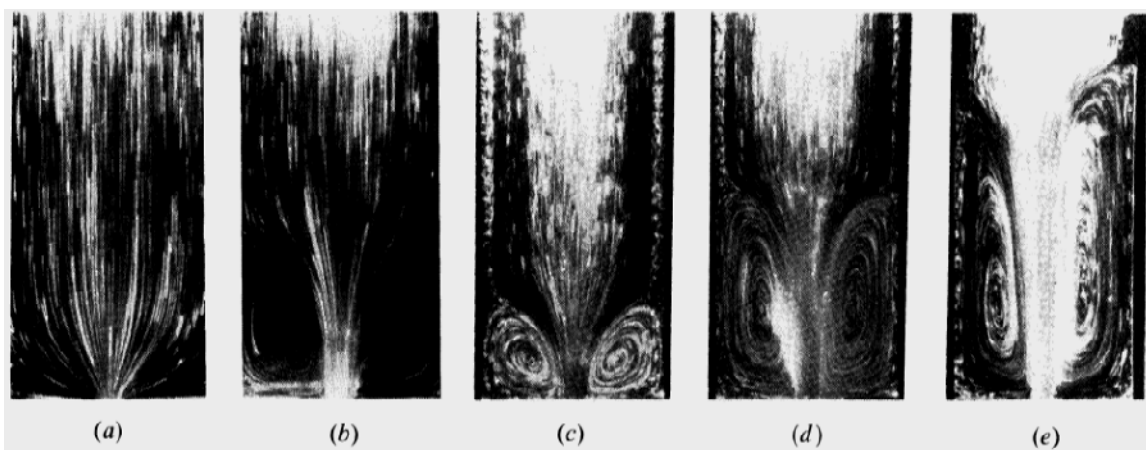
در مکانیک کلاسیک، دو محدوده از عدد دبراو تعریف می‌گردد. اگر عدد دبراو کوچک باشد، سیال ویسکوالاستیک، رفتاری بسیار مشابه سیال نیوتونی از خود به نمایش می‌گذارد به طوریکه گفته می‌شود در صورتی که $De \rightarrow 0$ رفتار سیال، نیوتونی خواهد بود.

¹ Deborah
² Reiner

بر عکس، اگر عدد دبراو بزرگ باشد، مولکولهای پلیمری که با استفاده از جریان منحرف شده‌اند، زمان لازم برای آسودگی از تنفس در طول زمان آزمایش را ندارند. در محدوده $De \rightarrow \infty$ ، آزمایش به قدری سریع رخ می‌دهد که مولکولهای پلیمری، زمان مناسب برای تغییر ساختار نخواهند داشت و سیال، کم و بیش رفتار جامد الاستیک هوکی را از خود به نمایش می‌گذارد. در بسیاری از سیالات نیوتونی، مقدار λ بین 10^{-3} برای دیلاتانت‌ها و 10^{-2} برای محلول‌های متمرکز و مواد مذاب می‌باشد.

برای درک بهتر اثر عدد دبراو، آزمایش نشان داده شده در شکل ۲۲-۱ مورد بررسی و تحلیل قرار خواهد گرفت. عکس‌های نمایش داده شده در این شکل توسط بوگر و ناین^۱ [۱۴] و برای جریان محلول ۰/۰۵۷ درصدی پلی‌اکری‌لامید گلوکوز در گذر از یک انقباض ناگهانی و برای اعداد مختلف دبراو بدست آمده است. به دلیل اینکه سیال مورد استفاده در این آزمایش ثابت مانده است، مقدار زمان مشخصه سیال و یا همان λ ثابت است. در این آزمایش برای عدد دبراو صفر، محلول گلوکز در نظر گرفته شده که یک سیال نیوتونی محسوب می‌گردد و برای شکلهای b تا e از سیال ۰/۰۵۷ درصد پلی‌اکری‌لامید برای اعداد دبراو به ترتیب $1/2, 1, 3$ و 8 استفاده شده است. همانطور که در این آزمایش نشان داده شده است، از اعداد دبراو ۱ تا 3 گردابه‌های غیرنیوتونی تشکیل می‌گردد اما همچنان جریان دو بعدی و متقارن باقی می‌ماند. اما برای اعداد دبراو بزرگتر از 3 ، گردابه‌ها حالت نامتقارن به خود می‌گیرند. در اعداد دبراو بزرگتر از 8 ، این جریان بسیار بی‌نظم و غیر قابل پیش‌بینی می‌گردد.

¹ Boger and Nguyen

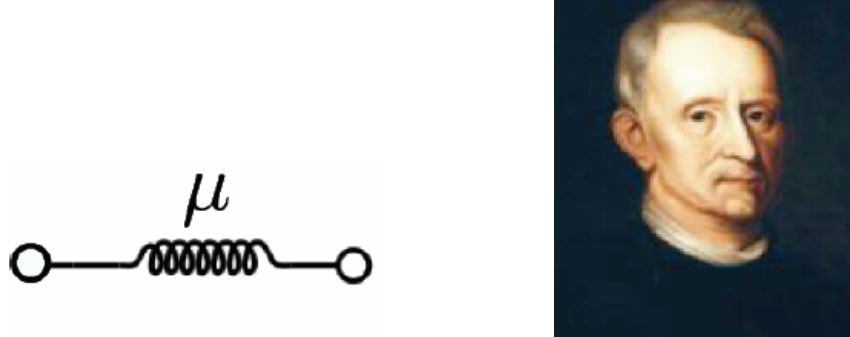


شکل ۱-۲۲. خطوط جریان برای جریان سیال با اعداد دبراو مختلف در حال گذر از یک انقباض ناگهانی [۱۵]

$De = 8$ (e) و $De = 3$ (d), $De = 1$ (c), $De = 0.2$ (b), $De = 0$ (a)

۱-۵) مدل‌سازی سیالات ویسکوالاستیک

اولین قانون پایه توسط هوك^۱ برای رفتار الاستیک خطی جامدات ارائه گردید.



شکل ۱-۲۳. مدل جامد الاستیک (رابرت هوك)

قانون هوك برای یک جامد الاستیک ناهمسانگرد، در حالت کلی به شکل زیر تعریف می‌گردد:

$$\tau_{ij} = C_{ijkl} \epsilon_{kl} \quad (3-1)$$

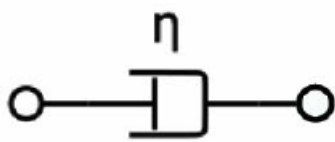
¹ Robert Hook

که در رابطه فوق τ_{ij} و ε_{kl} ، مولفه های تانسور های مرتبه دوم تنش و کرنش بوده و C_{ijkl} نیز تانسور الاستیسیته است. برای جامد الاستیک خطی همسانگرد این رابطه به شکل زیر ساده می شود:

$$\tau_{ij} = \lambda \varepsilon_{kk} \delta_{ij} + 2\mu \varepsilon_{ij} \quad (4-1)$$

در رابطه فوق، λ و μ ، ثابت‌های لامه^۱ می‌باشند.

تقریبا همزمان با هوک، اسحاق نیوتن^۲، قانون پایه‌ای برای سیالات ارائه داد. بر اساس مدل پیشنهادی او، تنش برشی در سیالات با نرخ برش رابطه خطی دارد. با توجه به این رابطه، کلیه سیالاتی که از این قانون پایه تبعیت می‌کنند، به سیالات نیوتونی معروفند.



شکل ۲۴-۱. مدل سیال نیوتونی (اسحاق نیوتن)

قانون پایه یک سیال نیوتونی به شکل زیر است:

$$\tau_{ij} = (-P + \lambda \dot{\varepsilon}_{kk}) \delta_{ij} + 2\eta \dot{\varepsilon}_{ij} \quad (5-1)$$

به طوریکه در رابطه فوق P فشار استاتیکی، $\dot{\varepsilon}$ نرخ برش و λ و η ثابت‌های ویسکوز هستند. هوک و نیوتن، روابط ارائه شده خود را به صورت تجربی بدست آورده بودند.

Lame's constants¹
Isaac Newton²

۱-۵-۱) مدل‌های ویسکوالاستیک خطی

سیالات ویسکوالاستیک موادی هستند که توامان، خواص الاستیک و ویسکوز را دارا هستند. به دلیل رفتارهای ویژه‌ای که این مواد از خود نشان می‌دهند، تاکنون قوانین پایه متعددی برای آنها ارائه شده است. به طور کلی، این قوانین به دو دسته مدل‌های خطی و مدل‌های غیر خطی تقسیم‌بندی می‌شوند.

با تلفیق خواص جامدات خطی و سیالات نیوتونی می‌توان مدل‌های ویسکوالاستیک خطی را ارائه داد. به عبارتی دیگر، این مدل‌ها از ترکیب‌های مختلف مجموعه‌ای از فنرها و دمپرهای خطی حاصل می‌شوند. بنابراین، قانون پایه هر مدل ویسکوالاستیک خطی به شکل زیر قابل ارائه است:

$$\left(1 + \lambda_1 \frac{\partial}{\partial t} + \lambda_2 \frac{\partial^2}{\partial t^2} + \dots + \lambda_n \frac{\partial^n}{\partial t^n}\right) \tau_{ij} = 2\eta_0 \left(1 - \xi_1 \frac{\partial}{\partial t} - \xi_2 \frac{\partial^2}{\partial t^2} - \dots - \xi_m \frac{\partial^m}{\partial t^m}\right) d_{ij} \quad (6-1)$$

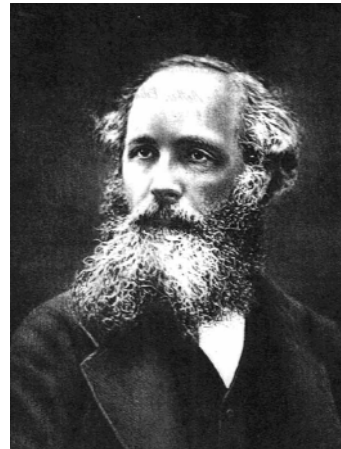
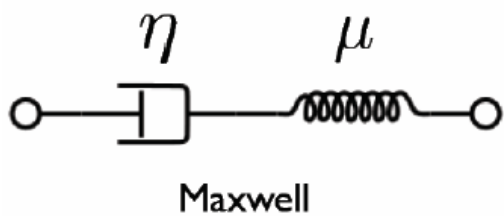
در رابطه (6-1)، مقدار λ_i و ξ_j به ترتیب زمان آسودگی از تنفس و زمان رهایی از تغییر شکل مرتبه i بوده و η_0 ویسکوزیته در نرخ برش صفر، d_{ij} تنفس برشی و τ_{ij} نرخ برش است. همچنین، مقدار m و n به صورت $n = m + 1$ و یا $n = m$ با هم رابطه دارند. بنابراین با انتخاب اختیاری مقادیر m و n می‌توان مدل ویسکوالاستیک جدیدی را برای یک ماده تشکیل داد. همچنین به ازای $\lambda_i = 0$ مدل مشابه سیالات نیوتونی خواهد بود. مقدار نرخ برش (d_{ij}) نیز به شکل زیر تعریف می‌شود:

$$d_{ij} = \frac{1}{2} \left(\frac{\partial u_i}{\partial x_j} + \frac{\partial u_j}{\partial x_i} \right) \quad (7-1)$$

که در این رابطه، u سرعت و x جهت مختصات است.

۱-۵-۱) مدل ماکسول

اولین مدل ارائه شده برای بیان معادلات متشکله سیال ویسکوالاستیک، مدل خطی ماکسول است. او این مدل را به این دلیل که گمان می‌کرد گازها هم ممکن است ویسکوالاستیک باشند، ارائه نمود. در این مدل قانون پایه بر اساس یک فنر و یک دمپر خطی سری تعریف می‌شود.



شکل ۱. ۲۵-۱. مدل ماکسول (جیمز کلرک ماکسول)

مدل ماکسول به شکل زیر قابل بیان است:

$$\tau_{ij} + \frac{\eta}{\mu} \frac{\partial \tau_{ij}}{\partial t} = 2\eta d_{ij} \quad (8-1)$$

در رابطه بالا، η ویسکوزیته و μ مدول صلبیت و یا مدول برشی ماده است.

نمایش این مدل با استفاده از نمادهای بیان شده در رابطه (۸-۱) به صورت زیر خواهد بود:

$$\tau_{ij} + \lambda_1 \frac{\partial \tau_{ij}}{\partial t} = 2\eta d_{ij} \quad (9-1)$$

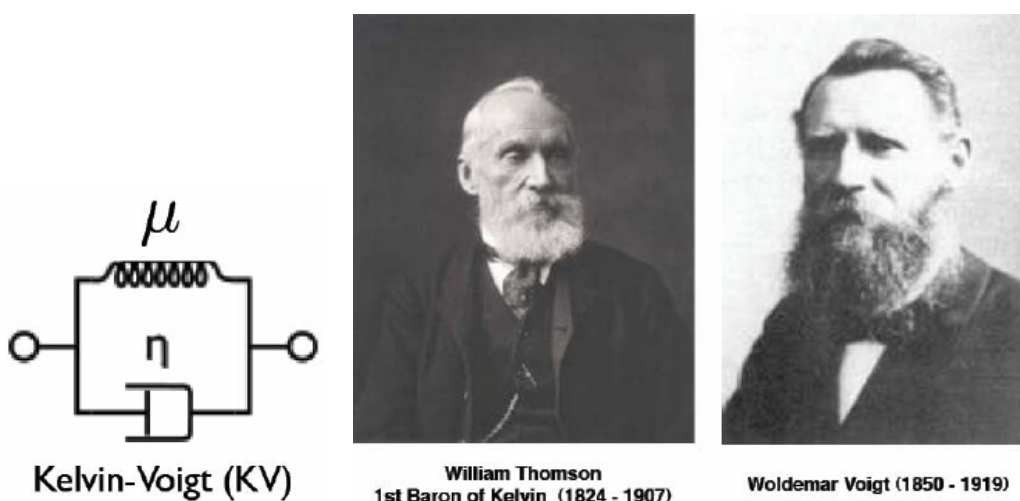
که در رابطه بالا، λ_1 زمان آسودگی از تنفس می‌باشد. مطابق مدل ماکسول، ماده دارای زمان آسودگی از تنفس و فاقد زمان رهایی از تغییر شکل است. به عبارت دیگر در این مدل با قطع برش، نرخ تغییر شکل در سرتاسر ماده به طور آنی صفر خواهد شد. در حالت یکنواخت^۱، رابطه بالا، به معادله متشکله یک سیال نیوتونی با ضریب

Steady State¹

ویسکوزیته ۲۷ تبدیل خواهد شد. همچنین، ماسول این رابطه را به صورت تجربی بدست آورده است. مدل ماسول برای محلولهای پلیمری که دارای زمان رهایی از تغییر شکل کوچک هستند، مناسب است.

۲-۱-۵-۱) مدل کلوین-ویت

مدل ارئه شده توسط کلوین - ویت، با فرض موازی بودن فنر و دمپر به عنوان یک سیال ویسکوالاستیک ارائه شده است.



شکل ۱-۲۶-۱. مدل کلوین-ویت (ویلیام تامسون و وولدمر ویت)

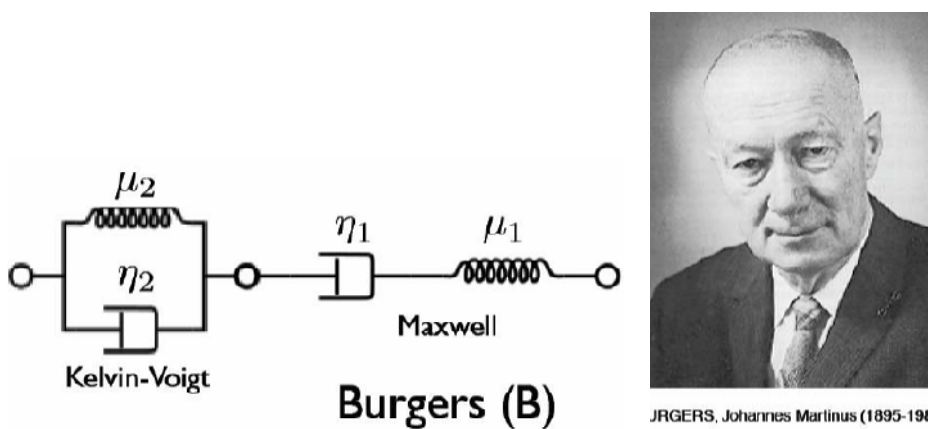
رابطه بین تنش و نرخ برش در این مدل به شکل زیر قابل بیان است:

$$\frac{\partial \tau_{ij}}{\partial t} = 2\mu \left(d_{ij} + \frac{\eta}{\mu} \frac{\partial d_{ij}}{\partial t} \right) \quad (10-1)$$

رفتار این مدل دقیقاً بر عکس مدل ماسول می‌باشد، چرا که در این مدل یکی از زمانهای رهایی از تغییر شکل لحاظ شده اما مدل، دارای زمان آسودگی از تنش نیست. از مدل کلوین-ویت عموماً برای مدل سازی پدیده خرزش در مکانیک جامدات استفاده می‌شود.

۱-۵-۳) مدل برگرز

برگرز، با سری کردن المانی از مدل ماکسول و المانی دیگر از مدل کلوین-ویت، مدل پیشنهادی خود برای سیالات ویسکوالاستیک را ارائه کرد.



شکل ۱-۲۷. مدل برگرز

مدل برگرز به شکل زیر قابل بیان است:

$$\tau_{ij} + (\lambda_1 + \lambda_2) \frac{\partial \tau_{ij}}{\partial t} + \lambda_1 \lambda_2 \frac{\partial^2 \tau_{ij}}{\partial t^2} = 2(\eta_1 + \eta_2) d_{ij} - 2(\lambda_1 \eta_2 - \lambda_2 \eta_1) \frac{\partial d_{ij}}{\partial t} \quad (11-1)$$

این مدل رفتار کاملتری را از یک ماده ویسکوالاستیک ارائه می‌کند. در حالت خاصی از مدل برگرز، چنانچه یکی از فنرها یا دمپرهای المان ماکسول حذف شود، مدل جدیدی به نام مدل جفریز^۱ حاصل می‌شود.

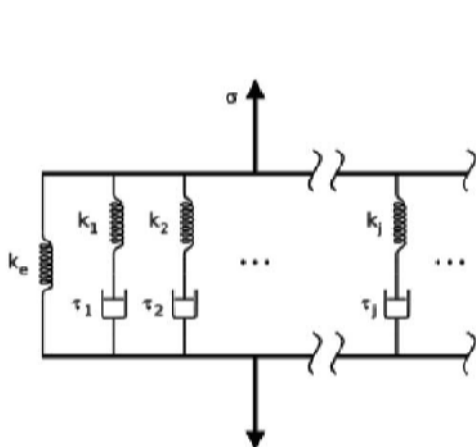
$$\tau_{ij} + \lambda_1 \frac{\partial \tau_{ij}}{\partial t} = 2\eta \left(d_{ij} + \lambda_2 \frac{\partial d_{ij}}{\partial t} \right) \quad (12-1)$$

جفریز این مدل را برای مطالعه روی انتشار موج روی پوسته زمین ارائه نمود. این مدل، ساده و نسبتاً مناسب برای بررسی رفتار یک ماده ویسکوالاستیک است زیرا در آن یک زمان آسودگی از تنش و یک زمان رهایی از تغییر شکل لحاظ شده است. همین ویژگی سبب شده تا از آن به عنوان رابطه پایه در برخی مدل‌های غیر خطی استفاده شود.

¹ Jeffreys

۱-۵-۴) مدل ماکسول توسعه یافته

این مدل، از طریق موازی کردن تعداد متناهی از المانهای ماکسول بدست می‌آید. اصولاً یک ماده پلیمری از تعداد زیادی از مولکولهای رشته‌ای با طولهای مختلف تشکیل شده که سبب ایجاد زمانهای مختلف آسودگی از تنش در این مواد می‌شود. به همین دلیل این مدل برای ایجاد زمانهای متعدد آسودگی از تنش ایجاد شده است (یک زمان آسودگی از تنش، به ازای هر المان ماکسول).



Univ.-Prof. Dr.-Ing. Dieter Weichert, born 1948

شکل ۱-۲۸. مدل ماکسول توسعه یافته (دلتر ولچرت)

در این مدل، ضریب الاستیک و ویسکوزیته معادل به صورت تابعی نمایی و وابسته به زمان می‌باشد که به شکل زیر قابل تعریف است:

$$\mu(t) = \sum_{i=1}^n \mu_i e^{-\frac{t}{\lambda_i}} \quad (13-1 \text{ الف})$$

$$\eta(t) = \sum_{i=1}^n \eta_i \left(1 - e^{-\frac{t}{\lambda_i}} \right) \quad (13-1 \text{ ب})$$

۱-۵-۲) مدل های ویسکوالاستیک غیر خطی

با وجود ارائه روابط دیفرانسیلی ساده بین تنش و نرخ برش در مدل های ویسکوالاستیک خطی، این مدل ها دارای مشکلات زیادی نیز می باشند. به عنوان مثال، این گونه معادلات را می توان برای تفسیر رفتار محلول های پلیمری رقیق، مناسب دانست و در مواردی که محلول های پلیمری غلیظ وجود دارد، این مدل ها دارای مشکلاتی خواهند بود. همچنین، بسیاری از رفتارهای متفاوت سیالات ویسکوالاستیک نسبت به سایر سیالات، از وجود اختلاف تنش های نرمال در این مواد ناشی می شود که البته مدل های خطی قادر به ارائه آنها نیستند.

۱-۵-۳) خانواده مدل های اولدروید^۱

معروفترین روش بیان رفتار سیالات ویسکوالاستیک، خانواده مدل های اولدروید هستند. اولدروید با استفاده از تبدیلات تانسوری توانسته دستگاه مختصاتی را ارائه دهد که دستگاه مختصات همرفتی^۲ نامیده می شود. او همچنین تلاش کرده که در این دستگاه، دو اصل دیگر مکانیک محیط های پیوسته مانند اصل قطعیت تنش و اصل عدم تغییر حرکت صلب الحقی را ارضا نماید. او نشان داد که در بدست آوردن معادلات متشکله، نیازی به وارد کردن متغیرهایی که نشانگر موقعیت، حرکت دورانی و انتقالی یک جزء مادی است و نیز پارامترهای مشخص کننده اجزاء مجاور یا وضعیت آنها در آینده، نیست. بنابراین زمانی که مختصات مرجع جزء مادی مطرح نباشد، ساده ترین روش تعیین ذرات مادی استفاده از دستگاه مختصات منحنی الخطی است که بر ماده سوار بوده و همراه با آن در جریان حرکت کرده و تغییر شکل یابد. در این رساله تنها به بیان معادلات متشکله مدل اولدروید پرداخته خواهد شد. مدل اولدروید به مدل جفریز همرفتی^۳ نیز معروف است چرا که اولدروید این مدل را با الهام از مدل خطی جفریز بدست آورد.

Oldroyd^۱
Convected Coordinate System^۲
Convected Jeffreys^۳

مدل های اولدروید نیاز به محاسبه مشتق زمانی همرفتی همبسته^۱ و نیز مشتق زمانی همرفتی پاد همبسته تانسور تنش^۲ دارند که این مشتقاًت به ترتیب در روابط (۱۴-۱) و (۱۵-۱) آمده‌اند.

$$\tau^{(1)} = \frac{D\tau}{Dt} + \left((\nabla V)^T \cdot \tau + \tau \cdot (\nabla V)^T \right) \quad (14-1 \text{ الف})$$

⋮

$$\tau^{(n)} = \frac{D\tau_{(n-1)}}{Dt} + \left((\nabla V)^T \cdot \tau^{(n-1)} + \tau^{(n-1)} \cdot (\nabla V)^T \right) \quad (14-1 \text{ ب})$$

$$\tau_{(1)} = \frac{D\tau}{Dt} - \left((\nabla V)^T \cdot \tau + \tau \cdot (\nabla V)^T \right) \quad (15-1 \text{ الف})$$

⋮

$$\tau_{(n)} = \frac{D\tau_{(n-1)}}{Dt} - \left((\nabla V)^T \cdot \tau_{(n-1)} + \tau_{(n-1)} \cdot (\nabla V)^T \right) \quad (15-1 \text{ ب})$$

در روابط بالا، τ تانسور تنش، V بردار سرعت و T نیز نماد ترانهاده تانسور است. همچنین مشتقاًت زمانی همرفتی همبسته^۳ و مشتقاًت زمانی همرفتی پاد همبسته نرخ برش^۴ نیز به ترتیب به شکل زیر تعریف می‌شوند:

$$\gamma^{(1)} = \nabla V + (\nabla V)^T \quad (16-1 \text{ الف})$$

$$\gamma^{(2)} = \frac{D\gamma^{(1)}}{Dt} + \left((\nabla V)^T \cdot \gamma^{(1)} + \gamma^{(1)} \cdot (\nabla V)^T \right) \quad (16-1 \text{ ب})$$

⋮

$$\gamma^{(n)} = \frac{D\gamma^{(n-1)}}{Dt} + \left((\nabla V)^T \cdot \gamma^{(n-1)} + \gamma^{(n-1)} \cdot (\nabla V)^T \right) \quad (16-1 \text{ ج})$$

$$\gamma_{(1)} = \nabla V + (\nabla V)^T \quad (17-1 \text{ الف})$$

$$\gamma_{(2)} = \frac{D\gamma_{(1)}}{Dt} + \left((\nabla V)^T \cdot \gamma_{(1)} + \gamma_{(1)} \cdot (\nabla V)^T \right) \quad (17-1 \text{ ب})$$

⋮

Covariant Convected Time Derivative of the Stress Tensor^۱
 Contravariant Convected Time Derivative of the Stress Tensor^۲
 Covariant Convected Derivative of the Shear Rate Tensor^۳
 Contravariant Convected Derivative of the Shear Rate Tensor^۴

$$\gamma_{(n)} = \frac{D\gamma_{(n-1)}}{Dt} - \left((\nabla V)^T \cdot \gamma_{(n-1)} + \gamma_{(n-1)} \cdot (\nabla V) \right) \quad (17-1)$$

در میان مدل‌های اولدروید، دو مدل اولدروید A و اولدروید B از همه معروف‌تر هستند که معادله متشکله این دو

مدل به ترتیب در روابط (18-1) آمده است:

$$\tau + \lambda_1 \tau^{(1)} = -\eta_0 (\gamma^{(1)} + \lambda_2 \gamma^{(2)}) \quad (18-1 \text{ الف})$$

$$\tau + \lambda_1 \tau_{(1)} = -\eta_0 (\gamma_{(1)} + \lambda_2 \gamma_{(2)}) \quad (18-1 \text{ ب})$$

دو مدل بالا، اصول مکانیک محیط‌های پیوسته را به خوبی ارضا می‌کنند، اما در زمینه تعیین تنش‌های نرمال دوم دارای ضعف‌هایی هستند. رابطه (18-1 الف)، معادله متشکله مدل اولدروید A و رابطه (18-1 ب)، معادله متشکله مدل اولدروید B می‌باشد. در مدل اولدروید A، ثابت تنش نرمال دوم قرینه ثابت تنش نرمال اول است ($\Psi_2 = -\Psi_1$) در حالی که در مدل اولدروید B ثابت تنش نرمال اول وجود داشته اما ثابت تنش نرمال دوم برابر صفر است ($\Psi_2 = 0, \Psi_1 > 0$).

با توجه به تعاریف بالا باید دانست که کدام مدل برای بررسی جریان یک سیال ویسکوالاستیک مناسب‌تر است. با توجه به اطلاعات آزمایشگاهی، نتایج تجربی و ساختمان مولکولی این گونه از سیالات، این نتیجه بدست می‌آید که در اکثر سیالات ویسکوالاستیک اختلاف تنش نرمال دوم حداقل ۱۰٪ اختلاف تنش نرمال اول است. با توجه به این موضوع و این نکته که در مدل اولدروید A مقدار اختلاف تنش نرمال دوم برابر اختلاف تنش نرمال اول (از نظر بزرگی) پیش‌بینی می‌شود، این مدل، مدل مناسبی برای بیان رفتار سیالات ویسکوالاستیک نمی‌باشد. در برخی از سیالات ویسکوالاستیک که مقدار Ψ_2 بسیار کوچکی دارند، پاسخ مدل اولدروید B دارای دقت کافی است. همچنین با توجه به کوچک بودن مقدار Ψ_2 (نسبت به Ψ_1) در اکثر مواد ویسکوالاستیک پاسخهای مدل اولدروید B نسبت به مدل اولدروید A دقیق‌تر بوده و به همین دلیل کارآیی مدل اولدروید B بسیار بیشتر است. مدل اولدروید B در حالت‌های خاصی به مدل‌های دیگری ساده می‌شود:

اگر $\lambda_2 = 0$ باشد، در این صورت مدل فوق همرفتی ماکسول^۱ (UCM) به دست می‌آید.

$$\tau + \lambda_1 \tau_{(1)} = -\eta_0 \gamma_{(1)} \quad (19-1)$$

اگر $\lambda_1 = 0$ باشد، در این صورت، مدل سیال مرتبه دو^۲ به دست می‌آید.

$$\tau = -\eta_0 (\gamma_{(1)} + \lambda_2 \gamma_{(2)}) \quad (20-1)$$

اگر $\lambda_1 = \lambda_2 = 0$ باشد، این مدل به سیال نیوتونی با ویسکوزیته η_0 ساده می‌شود.

برای افزایش کارایی مدل اولدروید-بی این مدل به مدل هشت ثابته اولدروید^۳ توسعه یافته است:

$$\begin{aligned} \tau + \lambda_1 \tau^{(1)} + \frac{\lambda_3}{2} (\tau \gamma_1 + \gamma_1 \tau) + \frac{\lambda_5}{2} [tr(\tau) \gamma_1] + \frac{\lambda_6}{2} [tr(\tau \gamma_1)] I &= \\ -\eta_0 \left(\gamma_{(1)} + \lambda_2 \gamma_{(2)} + \lambda_4 \gamma_{(1)}^2 + \frac{\lambda_7}{2} [tr(\gamma_{(1)}^2)] I \right) \end{aligned} \quad (21-1)$$

این مدل قادر به ارائه رفتار بسیار کاملی از یک سیال ویسکوالاستیک است ولی بسیار پیچیده بوده و ناپایداری

عددی آن بالا می‌باشد. حالت‌های خاص این مدل عبارتند از:

اگر مقادیر λ_6 و λ_7 صفر باشند، این مدل به مدل شش ثابته اولدروید^۴ تبدیل می‌شود.

اگر مقادیر $\lambda_3, \lambda_4, \lambda_6$ و λ_7 صفر باشند، این مدل به مدل چهار ثابته اولدروید^۵ تبدیل می‌شود.

اگر مقادیر $\lambda_3, \lambda_4, \lambda_5, \lambda_6$ و λ_7 صفر باشند، این مدل به مدل اولدروید B تبدیل می‌گردد.

اگر مقادیر λ_5, λ_6 و λ_7 صفر باشند، این مدل به مدل اولدروید A تبدیل می‌گردد.

اگر مقادیر $\lambda_1, \lambda_2, \lambda_3, \lambda_5, \lambda_6$ و λ_7 صفر باشند، این مدل به مدل سیال مرتبه دو تبدیل می‌گردد.

اگر مقادیر $\lambda_2, \lambda_3, \lambda_4, \lambda_5, \lambda_6$ و λ_7 صفر باشند، این مدل به مدل فوق همرفتی ماکسول تبدیل می‌گردد.

اگر مقادیر $\lambda_1, \lambda_2, \lambda_3, \lambda_4, \lambda_5, \lambda_6$ و λ_7 صفر باشند، این مدل به مدل سیال نیوتونی تبدیل می‌گردد [۱۵].

Upper Convected Maxwell^۱

Second Order Fluid^۲

Oldroyd 8-Constant Model^۳

Oldroyd 6-Constant Model^۴

Oldroyd 4-Constant Model^۵

فصل دوم

بررسی جریان سیال

ویسکوالاستیک در لوله خمیده

در این بخش، به حل معادلات جریان سیالات ویسکوالاستیک در لوله خمیده پرداخته خواهد شد. در ابتدا تحقیقات و پژوهش‌های گذشتگان، معرفی شده و لزوم تحقیق موجود در این رساله بیان می‌گردد. از آنجاییکه سیال مورد بحث در این تحقیق، سیال ویسکوالاستیک مدل مرتبه دو می‌باشد، در ابتدا شرح مختصری از این سیال ارائه شده و مدل‌بندی ریاضی آن یادآوری می‌گردد. در ادامه، با نمایش هندسه مساله، معادلات جریان و طریقه بی‌بعد سازی آنها بیان می‌گردد تا در نهایت معادلات اصلی و بی‌بعد مومنتم ارائه شوند.

۱-۲) مروری بر تحقیقات گذشته روی جریان سیال ویسکوالاستیک در مجاری خمیده

جریان در مجاری خمیده یکی از جریانهای پایه و مهم در مکانیک سیالات محسوب می‌شود که از دیرباز تاکنون مورد توجه محققین بوده است. با وجود این، بسیاری از پژوهش‌های گذشته به سیالات نیوتونی محدود بوده و تنها تعداد کمی از آنها به تحقیق در ارتباط با سیالات غیرنیوتونی و به خصوص سیالات ویسکوالاستیک پرداخته‌اند. از جمله کاربردهای جریان سیالات ویسکوالاستیک در مجاری خمیده می‌توان به کاربرد آن در علوم پزشکی، کاربردهای صنعتی و بیولوژیکی، صنایع هسته‌ای و پتروشیمی، صنایع غذایی، تزریق مواد پلیمری و ... اشاره کرد.

دین^۱ [۱۶-۱۷] از اولین پژوهشگرانی بود که جریان سیال در یک لوله خمیده را مورد بررسی قرار داد. او با استفاده از روش تحلیلی حساب اختلالات^۲ جریان سیال نیوتونی در یک لوله خمیده با سطح مقطع دایروی را تحلیل کرد. وی توانست در تحلیلهای خود جریانهای ثانویه تیلور-گورتلر^۳ را مشاهده نماید. این جریانهای ثانویه بر اساس نیروهای گریز از مرکز به وجود می‌آیند و با نسبت انحنا مرتبط می‌باشند. توپک اوکلو^۴ [۱۸] حل تحلیلی مشابه تحلیل دین برای جریان سیال نیوتونی در لوله‌های خمیده ارائه نمود و با محاسبه جملات مرتبه بالای سری‌های حساب اختلالات توانست که رابطه تحلیلی را برای افت فشار این جریان ارائه دهد.

برخی از محققین، جریان سیالات غیر نیوتونی در مجاری خمیده را به شکل عددی بررسی نموده اند. ژانگ^۵ و همکارانش [۱۹] از روش گالرکین^۶ برای مطالعه بر روی جریان سیال اولدروید-بی^۷ در یک لوله خمیده استفاده کردند و نتایج خود را برای اعداد دین و واizenberg^۸ بزرگ ارائه دادند. فن تین و ژنگ^۹ [۲۰] نیز معادلات خود تشابه‌ی را برای جریان سیال اولدروید-بی بین دو صفحه خمیده در نسبتهای انحنای کوچک ارائه دادند و با استفاده از روش‌های عددی و تحلیلی تقریبی اقدام به حل این معادلات کردند. نتایج تحلیلی و عددی بدست آمده توسط فن

¹ Dean
² Perturbation Method
³ Taylor-Gortler
⁴ Topakoglu
⁵ Zhang
⁶ Galerkin Method
⁷ Oldroyd-B
⁸ Weissenberg number
⁹ Phan-Thien and Zheng

تین و ژنگ در اعداد رینولدز پایین‌تر از 1000 هم‌خوانی مناسبی با هم داشتند. فن^۱ و همکارانش [۲۱] تحقیقات خود را بر روی جریان توسعه یافته خوشی و اینرسی سیال اولدروید-بی و UCMN2 در یک لوله خمیده به انجام رسانده‌اند. آنها برای این منظور از روش حجم محدود استفاده نمودند و اثرات اختلاف تنش نرمال اول را مورد بررسی قرار دادند و دریافتند که با افزایش این پارامتر شاهد افزایش شدت جریانهای ثانویه و افت فشار بیشتر در لوله خواهند بود. آنها همچنین علت این پدیده را به بروز تنشهای نرمال محوری نسبت دادند. با استفاده از تکنیک مرتبه بزرگی^۲، آنها نشان دادند که نیروی گریز از مرکز در تعادل با گرادیان فشارشعاعی و تنش نرمال محوری در ناحیه هسته جریان (ناحیه دور از دیواره و نزدیک مرکز مقطع مجرأ) است. آنها سپس اثرات اختلاف تنش نرمال دوم را مورد بررسی قرار دادند و به این نتیجه دست یافتند که اختلاف تنش نرمالهای دوم منفی اثرات معکوسی نسبت به اثرات اختلاف تنش نرمال اول داشته و افزایش این پارامتر باعث کاهش میزان جریانهای ثانویه می‌گردد. این نتایج به خوبی با نتایج آزمایشگاهی [۲۴-۲۲] توافق داشت. چن^۳ و همکارانش [۲۵] با استفاده از روش‌های عددی و تحلیلی جریان توسعه یافته سیال اولدروید-بی در یک لوله خمیده چرخان را مورد بررسی قرار دادند و دریافتند که توزیع فشار دینامیکی در سطح مقطع لوله در تعادل با نیروی کوریولیس است. در این تحقیق مشخص گردید که گردابهای تیلور-گورتلر با چرخش لوله در جهت انحنای آن تقویت می‌گردند ولی این گردابهای با گردش لوله در جهت خلاف انحنای لوله تضعیف می‌شوند. همچنین در این نوع گردش لوله، مقدار جریانهای ثانویه در یک مقدار چرخش بحرانی به کمترین مقدار خود می‌رسند که این عدد دوران بحرانی چهار برابر مقدار عدد وايزنبرگ در نسبت انحنا می‌باشد.

در کنار مطالعات عددی، دانشمندان و محققانی نیز به مطالعه تحلیلی اینگونه جریانها در لوله‌های خمیده پرداخته‌اند. از جمله این پژوهشها می‌توان به مطالعه بر روی جریان توسعه یافته سیال اولدروید-بی در یک لوله خمیده با استفاده از روش حساب اختلالات اشاره کرد که توسط توماس و والترز^۴ [۲۶] انجام گرفت. آنها در این

Fan^۱
Order of magnitude^۲
Chen^۳
Thomas and Walters^۴

بررسی دریافتند که جریانهای ثانویه رابطه مستقیمی با خواص الاستیک سیال اولدروید-بی دارند. سارین^۱ [۲۸] تحقیقی مشابه را انجام داد و دریافت که شدت جریانهای ثانویه با توان چهارم عدد دبراو^۲ رابطه داشته و همچنین رابطه میان بیشینه مقدار سرعت محوری و موقعیت مرکز گردابه‌ها روی عدد دبراو را تشریح کردند. رابرتسون و مولر^۳ [۲۹] بر روی جریان خزشی و اینرسی سیال اولدروید-بی در یک لوله خمیده و با استفاده از روش تحلیلی، تحقیقاتی را انجام داده‌اند و دریافتند که در جریان خزشی برای سیالات با عدد واizenberg پایین، مقدار دبی جریان در لوله خمیده اندکی بیشتر از دبی جریان در یک لوله مستقیم می‌باشد. با افزایش عدد واizenberg و همچنین کاهش ویسکوزیته حلال نیوتنی در جریان اینرسی، نسبت مقاومت، به شدت کاهش می‌یابد. ایمتو^۴ و همکارانش [۳۰-۳۱] بر روی سیالات پاورلو^۵ و وایت-متزner^۶ در لوله‌های دارای انحنای سینوسی، سهموی و هذلولوی مطالعاتی را انجام داده‌اند و دریافتند که با افزایش پارامتر الاستیسیته در سیالات، جریان سیال خود را سریعتر با انحنای لوله وفق می‌دهد. داس^۷ [۳۲] نیز مطالعات ایمتو را برای سیالات بینگهام ادامه داد.

شrama و پراکاش^۸ [۳۳] در تحقیقات خود بر روی سیالات مرتبه دو، تنها به اختلاف تنش نرمال اول توجه کردند و با صفر در نظر گرفتن اختلاف تنش نرمال دوم، نتایج خود را بر اساس اختلاف تنش نرمال اول ارائه نمودند. آنها دریافتند که افزایش این پارامتر، باعث افزایش شدت جریانهای ثانویه در لوله خواهد شد. Bowen^۹ و همکارانش [۳۴] جریان خزشی سیال فوق همرفتی ماکسول^{۱۰} و سیال مرتبه دو را در یک لوله خمیده با استفاده از حل تحلیلی مورد مطالعه قرار داده و به این نتیجه رسیده‌اند که در جریان خزشی و در گرادیان فشار برابر، مقدار نرخ دبی در یک لوله خمیده برای سیالات ویسکوالاستیک بیشتر از مقدار آن در یک لوله مستقیم است. اما جیتچوت و رابرتسون^{۱۱} [۳۵] حل تحلیلی خود را با غیر صفر و منفی در نظر گرفتن مقدار اختلاف تنش نرمال دوم ارائه دادند. آنها در این تحقیق

^۱	Sarin
^۲	Deborah number
^۳	Robertson and Muller
^۴	Iemoto
^۵	Power law
^۶	White-Metzner
^۷	Das
^۸	Sharma and Prakash
^۹	Bowen
^{۱۰}	Upper Convected Maxwell (UCM)
^{۱۱}	Jitchote and Robertson

نشان دادند که با صفر لحاظ کردن اثر اختلاف تنش نرمال دوم، پاسخ های حساب اختلالات یکتا است اما در غیر اینصورت به جز در برخی حالات خاص، معادلات حاکم در وضعیت منفرد قرار می گیرند و در این شرایط، ارائه پاسخ یکتا برای میدان جریان میسر نیست. جیتچوت و رابرتسون تقریب حساب اختلالات خود را تنها تا مرتبه اول به کار برده‌اند و به همین دلیل از این تحلیل، هیچ رابطه‌ای برای تغییرات دبی / افت فشار بدست نمی‌آید.

در این تحقیق جریان توسعه یافته سیال مرتبه دو در یک لوله خمیده به طور تحلیلی مورد بررسی قرار گرفته است. مشابه تحقیق بون و همکاران [۳۴] و جیتچوت و رابرتسون [۳۵] تحلیل جریان با استفاده از روش حساب اختلالات صورت گرفته و از نسبت انحنا به عنوان پارامتر اختلال استفاده شده است. محاسبه تغییرات مقاومت مجرای خمیده در برابر جریان در لوله های خمیده نیازمند محاسبه ترمehای مرتبه بالای سری‌های حساب اختلالات است که عملیات محاسباتی مربوط به محاسبه این ترمehا بسیار دشوارتر از ترمehای دارای مرتبه پایین است.

در این تحقیق بر خلاف تحقیقات پیشین، ترمehای مرتبه بالاتر جریان سیال مرتبه دو در لوله های خمیده محاسبه شده است و رابطه تحلیلی برای تغییرات دبی جریان اینرسی این سیال ارائه شده است. همچنین با محاسبه این ترمehای با مرتبه بالا، سرعت محوری، جریانهای ثانویه و میدان تنش به شکل دقیق تری محاسبه شده و بر روی مکانیزم اثر خواص الاستیک بر میدان جریان نیز بحث شده است. از آنجا که ثابت زمانی سیال فوق همرفتی ماکسول (UCM)، زمان رهایی از تنش^۱ و ثابت زمانی سیال مرتبه دو زمان رهایی از تغییر شکل^۲ است، بنابراین می توان در یک هندسه، ویسکوزیته و تحت گرادیان فشار یکسان ادعا نمود که عدد واizenبرگ در سیال UCM معرف اثر زمان رهایی از تنش و در سیال مرتبه دو معرف زمان رهایی از تغییر شکل ماده ویسکوالاستیک است. در این تحقیق بر اساس نتایج بدست آمده برای سیال مرتبه دو (SOF) از تحقیق اخیر و نیز سیال فوق همرفتی ماکسول (UCM) از تحقیق رابرتسون و مولر [۲۹]، بر روی اثر خواص زمان رهایی از تغییر شکل و زمان رهایی از تنش سیال ویسکوالاستیک بر میدان جریان و بهخصوص بر تغییرات دبی و رفتار کاهش / افزایش مقاومت^۳ بحث شده است.

1 Relaxation time
2 Retardation time
3 Drag reduction/enhancement

۲-۲ هندسه مساله

در شکل ۲-۱ هندسه جریان این تحقیق نشان داده شده است. در اینجا مقطع مجرا به صورت مدور و شعاع انحنای مسیر، ثابت فرض شده است. در این پژوهش جهت بررسی تحلیلی جریان از دستگاه مختصات ترویدال^۱ استفاده شده است. پارامترهای دستگاه مختصات ترویدال $(\tilde{s}, \phi, \tilde{r})$ نسبت به دستگاه مختصات کارتزین به صورت زیر می‌باشد.

$$\tilde{r} = \sqrt{y_3^2 + \left(\sqrt{y_1^2 + y_2^2} - R \right)^2}, \quad \phi = \tan^{-1} \left(\frac{y_3}{\sqrt{y_1^2 + y_2^2} - R} \right), \quad \tilde{s} = R \tan^{-1} \left(\frac{y_2}{y_1} \right), \quad (1-2)$$

با معکوس کردن روابط بالا می‌توان روابط زیر را بدست آورد:

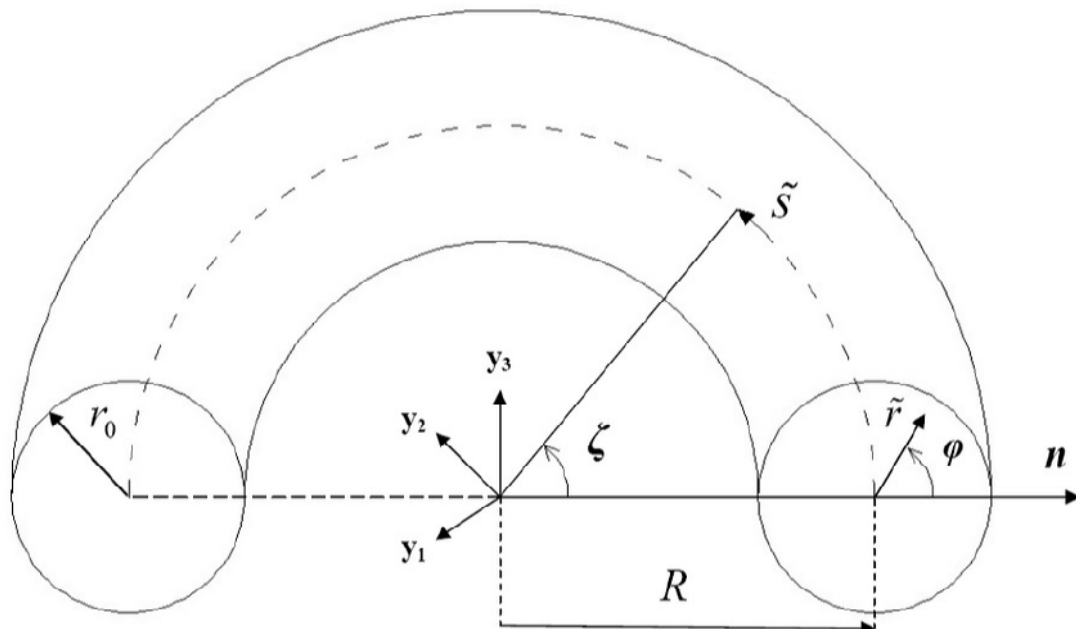
$$y_1 = (R + \tilde{r} \cos(\phi)) \cos\left(\frac{\tilde{s}}{R}\right), \quad y_2 = (R + \tilde{r} \cos(\phi)) \sin\left(\frac{\tilde{s}}{R}\right), \quad y_3 = \tilde{r} \sin(\phi). \quad (2-2)$$

روابط مربوط به بردارهای یکه مختصات ترویدال $(\underline{e}_r, \underline{e}_\phi, \underline{e}_s)$ در قیاس با بردارهای یکه مختصات کارتزین

به شرح زیر می‌باشد:

$$\begin{aligned} \underline{e}_r &= \cos \phi \left(\cos \frac{\tilde{s}}{R} \underline{e}_1 + \sin \frac{\tilde{s}}{R} \underline{e}_2 \right) + \sin \phi \underline{e}_3, \\ \underline{e}_\phi &= -\sin \phi \left(\cos \frac{\tilde{s}}{R} \underline{e}_1 + \sin \frac{\tilde{s}}{R} \underline{e}_2 \right) + \cos \phi \underline{e}_3, \\ \underline{e}_s &= \sin \frac{\tilde{s}}{R} \underline{e}_1 - \cos \frac{\tilde{s}}{R} \underline{e}_2. \end{aligned} \quad (3-2)$$

¹ Toroidal coordinate system



شکل ۲-۱. هندسه مساله مورد بحث

۳-۲) بی بعد سازی

پارامترهای بی بعد جریان در تحقیق اخیر به صورت زیر می باشند.

$$s = \frac{\tilde{s}}{r_0}, \quad r = \frac{\tilde{r}}{r_0}, \quad u = \frac{\tilde{v} \cdot e_r}{W_0}, \quad v = \frac{\tilde{v} \cdot e_\phi}{W_0}, \quad w = \frac{\tilde{v} \cdot e_s}{W_0}, \quad p = \frac{r_0}{\eta W_0} \tilde{p}$$

$$\gamma = \tilde{\gamma} \frac{r_0}{W_0}, \quad \frac{\Im \gamma}{\Im t} = \frac{\Im \tilde{\gamma}}{\Im t} \left(\frac{r_0}{W_0} \right)^2, \quad We = \frac{\tilde{\Psi}_1 W_0}{2 \eta r_0}, \quad Re = \frac{\rho W_0 r_0}{\eta}, \quad \delta = \frac{r_0}{R}$$
(۴-۲)

در رابطه فوق وجود علامت \sim در بالاترین هر کمیت نشانگر بعد دار بودن آن کمیت است. همچنین r و s جهات دستگاه مختصات ترویدال، r_0 شعاع مقطع لوله، W_0 سرعت مرجع، \tilde{v} بردار سرعت، \tilde{p} ترم فشار، $\tilde{\Psi}_1$ ثابت اختلاف تنش نرمال اول، η ویسکوزیته سیال، $\tilde{\gamma}$ و $\frac{\Im \tilde{\gamma}}{\Im t}$ مشتقه همرفتی پاد همبسته نرخ برش مرتبه اول و دوم، We عدد واizenبرگ، Re عدد رینولدز، δ نسبت انحنای گام لوله خمیده می باشد.

۴-۲) معادلات متشکله

در این تحقیق، جریان سیال مرتبه دو در یک لوله خمیده مورد بررسی قرار گرفته است. مدل سیال مرتبه دو، مشابه مدل کریمینال-اریکسون-فیلبی^۱ بوده با این تفاوت که توابع رئولوژیکی در سیال مرتبه دو مستقل از نرخ برش هستند. این معادلات متشکله، برای مدل سازی جریانهای برشی دائمی سیالات ویسکوالاستیک بسیار مناسب بوده و استفاده از آن جهت محاسبات صنعتی متداول است. تانسور تنش $\tilde{\tau}$ برای سیال مرتبه دو تراکم ناپذیر به صورت زیر است:

$$\tilde{\tau} = \eta \tilde{\gamma} - \frac{1}{2} \tilde{\Psi}_1 \frac{\Im \tilde{\gamma}}{\Im t} + \tilde{\Psi}_2 (\tilde{\gamma}, \tilde{\gamma}), \quad (5-2)$$

در عبارت بالا، η ویسکوزیته، $\tilde{\Psi}_1$ ثابت اختلاف تنش نرمال اول و $\tilde{\Psi}_2$ ثابت اختلاف تنش نرمال دوم است. همچنین در جریان دائمی، مشتقات همرفتی پاد همبسته نرخ برش مرتبه اول و دوم به صورت زیر تعریف می‌شوند:

$$\tilde{\gamma} = \nabla \tilde{V} + \nabla \tilde{V}^T, \quad (6-2\text{الف})$$

$$\frac{\Im \tilde{\gamma}}{\Im t} = \tilde{V} \cdot \nabla \tilde{\gamma} - \left[\left(\nabla \tilde{V} \right)^T \cdot \tilde{\gamma} + \tilde{\gamma} \cdot \left(\nabla \tilde{V} \right) \right]. \quad (6-2\text{ب})$$

چنانچه در رابطه (5-2)، مقدار $\tilde{\Psi}_1 = 0$ باشد، مدل راینر-ریولین^۳ بدست خواهد آمد. اگر هر دو مقدار $\tilde{\Psi}_1$ و $\tilde{\Psi}_2$ برابر صفر باشند، معادله متشکله سیال نیوتونی حاصل می‌شود. در معادله متشکله سیال مرتبه دو، زمان رهایی از تغییر شکل (λ_2) رابطه‌ای مستقیم با ثابت اختلاف تنش نرمال اول دارد.

$$\lambda_2 = -\frac{\tilde{\Psi}_1}{2\tilde{\eta}} \quad (7-2)$$

Criminale-Eriksen-Filbey (CEF)¹
Reiner-Rivlin²

همانگونه که جیتچوت و همکارانش [۳۵] نشان داده‌اند، با در نظر گرفتن ترم اختلاف تنش نرمال دوم، به جز تعداد بسیار محدودی از شرایط، در بقیه شرایط نمی‌توان جوابی یکتا برای ترمehای سرعت محوری یافت. به همین دلیل در حل موجود برای جلوگیری از قرار گرفتن معادلات در وضعیت منفرد، از مقدار $\tilde{\Psi}_2$ یا همان اختلاف تنش نرمال دوم، صرف نظر شده است. با این فرض و با استفاده از روابط (۴-۱) و (۵-۱)، صورت بی‌بعد معادله متشکله سیال مرتبه دو به شکل زیر خواهد بود:

$$\tau = \gamma - We \frac{\Im\gamma}{\Im t}. \quad (8-2)$$

۲-۵) معادلات حاکم

برای جریان توسعه یافته هر نوع سیال در یک لوله خمیده، مشتق کلیه پارامترهای جریان به غیر از فشار استاتیکی نسبت به زاویه مسیر پیشروی مسیر (ζ)، صفر است. در جریان توسعه یافته در یک لوله خمیده، رابطه زیر برای گرادیان فشار وجود دارد:

$$\frac{\partial \tilde{P}}{\partial \zeta} = cte < 0. \quad (9-2)$$

گرادیان فشار در یک لوله خمیده بر اساس گرادیان فشار در راستای خط محور کanal (جهت s) تعریف می‌شود.

با در نظر گرفتن مقدار G به عنوان قدر مطلق افت فشار محوری داریم:

$$\frac{\partial \tilde{P}}{\partial s} = \frac{1}{R} \frac{\partial P}{\partial \zeta} = -G. \quad (10-2)$$

مقدار G در رابطه بالا یک مقدار ثابت است. در اینجا از ماقزیم سرعت جریان سیال نیوتونی در یک لوله مستقیم که دارای قطر هیدرولیکی، گرادیان فشار و ویسکوزیته یکسانی نسبت به جریان سیال مرتبه دو در لوله خمیده است، به عنوان سرعت مرجع (W_0) استفاده شده است.

$$W_0 = \frac{G r_0^2}{4\eta}. \quad (11-2)$$

در جریان سیال نیوتونی توسعه یافته در یک لوله مستقیم، گرادیان فشار با تنش برشی به صورت زیر بالанс می

شود:

$$-\frac{\partial \tilde{p}}{\partial \tilde{s}} + \eta \frac{1}{\tilde{r}'} \frac{\partial}{\partial} \left(\tilde{r}' \frac{\partial \tilde{u}}{\partial \tilde{r}'} \right) = 0. \quad (12-2)$$

در رابطه بالا، \tilde{u} جهت پیشروی، \tilde{r}' سرعت در این جهت و \tilde{r} جهت شعاعی مقطع لوله است. پروفیل سرعت

محوری نیز به گونه زیر می‌باشد:

$$\tilde{u}' = W_0 \left(1 - \left(\frac{\tilde{r}'}{r_0} \right)^2 \right). \quad (13-2)$$

با استفاده از روابط (4-۲)، (۱۲-۲) و (۱۳-۲) می‌توان رابطه مربوط به گرادیان فشار بی‌بعد را به صورت زیر

بدست آورد:

$$\frac{\partial P}{\partial s} = -4. \quad (14-2)$$

معادلات حاکم برای جریان دائمی و توسعه یافته هر نوع سیال در یک لوله خمیده در مختصات ترویدال و با

استفاده از روابط (۱-۲) تا (۴-۲) و (۱۴-۲) به صورت زیر می‌باشد:

$$\frac{\partial(u r B)}{\partial r} + \frac{\partial(v B)}{\partial \phi} = 0 \quad (15-2 \text{ الف})$$

$$\operatorname{Re} \left[u \frac{\partial u}{\partial r} + \frac{v}{r} \frac{\partial u}{\partial \phi} - \frac{v^2}{r} - \delta \frac{w^2 \cos \phi}{B} \right] = -\frac{\partial p}{\partial r} + \frac{\partial \tau_{rr}}{\partial r} + \frac{1}{r} \frac{\partial \tau_{r\phi}}{\partial \phi} + \frac{1}{r} (\tau_{rr} - \tau_{\phi\phi}) + \frac{\delta}{B} (\tau_{rr} \cos \phi - \tau_{r\phi} \sin \phi - \tau_{ss} \cos \phi) \quad (15-2 \text{ ب})$$

$$\operatorname{Re} \left[u \frac{\partial v}{\partial r} + \frac{v}{r} \frac{\partial v}{\partial \phi} + \frac{u v}{r} + \delta \frac{w^2 \sin \phi}{B} \right] = -\frac{1}{r} \frac{\partial p}{\partial \phi} + \frac{\partial \tau_{\phi r}}{\partial r} + \frac{1}{r} \frac{\partial \tau_{\phi\phi}}{\partial \phi} + \frac{2}{r} \tau_{r\phi} + \frac{\delta}{B} (\tau_{r\phi} \cos \phi - \tau_{\phi\phi} \sin \phi - \tau_{ss} \sin \phi) \quad (15-2 \text{ ج})$$

$$\operatorname{Re} \left[u \frac{\partial w}{\partial r} + \frac{v}{r} \frac{\partial w}{\partial \phi} + \delta \frac{w}{B} (u \cos \phi - v \sin \phi) \right] = -\frac{1}{B} \frac{\partial p}{\partial s} + \frac{\partial \tau_{sr}}{\partial r} + \frac{1}{r} \frac{\partial \tau_{\phi s}}{\partial \phi} + \frac{1}{r} \tau_{ss} + \frac{2\delta}{B} (\tau_{rs} \cos \phi - \tau_{\phi s} \sin \phi) \quad (15-2 \text{ د})$$

که در روابط فوق B معرف شعاع انحنای هر نقطه از مقطع کanal بوده و از رابطه زیر بدست می آید:

$$B = 1 + \delta r \cos(\phi). \quad (16-2)$$

تابع جریان برای جریانهای ثانویه در دستگاه مختصات ترویدال از روابط زیر حاصل می شوند:

$$u = -\frac{1}{rB} \frac{\partial \psi}{\partial \phi}, \quad v = -\frac{1}{B} \frac{\partial \psi}{\partial r}, \quad (17-2)$$

در عبارات بالا، ۱۷ معرف تابع جریان برای جریانهای ثانویه است. شایان ذکر است که تابع جریان فوق، معادله پیوستگی را ارضا می نماید. با قرار دادن رابطه (۱۷-۲ د)، معادله مومنتوم در جهت محوری جریان به شکل زیر تبدیل می شود:

$$\begin{aligned} & \operatorname{Re} \left[\frac{1}{rB} \left(\frac{\partial \psi}{\partial r} \frac{\partial w}{\partial \phi} - \frac{\partial \psi}{\partial \phi} \frac{\partial w}{\partial r} \right) - \delta \frac{w}{B^2} \left(\frac{1}{r} \frac{\partial \psi}{\partial \phi} \cos \phi + \frac{\partial \psi}{\partial r} \sin \phi \right) \right] \\ &= \frac{4}{B} + \frac{\partial \tau_{rs}}{\partial r} + \frac{1}{r} + \frac{\partial \tau_{\phi s}}{\partial \phi} + \frac{1}{r} \tau_{rs} + \frac{2\delta}{B} (\tau_{rs} \cos \phi - \tau_{\phi s} \sin \phi), \end{aligned} \quad (18-2)$$

همچنین به منظور بدست آوردن معادله تابع جریان و حذف ترم فشار از معادلات حاکم در جهات عرضی، بایستی از رابطه (۱۵-۲ ب) نسبت به ϕ و از رابطه (۱۵-۲ ج) نسبت به r مشتقگیری نموده و حاصل این دو از یکدیگر کسر شود. به این ترتیب رابطه زیر برای معادله تابع جریانهای ثانویه حاصل می شود:

$$\begin{aligned} & \operatorname{Re} \left\{ \frac{1}{rB^2} \left(\frac{\partial \psi}{\partial r} \frac{\partial}{\partial \phi} \nabla^2 \psi - \frac{\partial \psi}{\partial \phi} \frac{\partial}{\partial r} \nabla^2 \psi \right) + \frac{\delta}{B} \left[2w \left(\frac{\partial w}{\partial r} \sin \phi + \frac{1}{r} \frac{\partial w}{\partial \phi} \cos \phi \right) \right. \right. \\ &+ \frac{1}{B^2} \left(\sin \phi \left(\frac{3}{r} \left(\frac{\partial \psi}{\partial r} \right)^2 + \frac{3}{r^2} \frac{\partial^2 \psi}{\partial \phi^2} \frac{\partial \psi}{\partial r} - \frac{1}{r^2} \frac{\partial \psi}{\partial \phi} \frac{\partial^2 \psi}{\partial r \partial \phi} + \frac{1}{r^3} \left(\frac{\partial \psi}{\partial \phi} \right)^2 + 2 \frac{\partial \psi}{\partial r} \frac{\partial^2 \psi}{\partial r^2} \right) \right. \\ &+ \cos \phi \left(\frac{3}{r} \frac{\partial^2 \psi}{\partial r^2} \frac{\partial \psi}{\partial \phi} - \frac{1}{r} \frac{\partial \psi}{\partial r} \frac{\partial^2 \psi}{\partial r \partial \phi} + \frac{3}{r^2} \frac{\partial \psi}{\partial r} \frac{\partial \psi}{\partial \phi} + \frac{2}{r^3} \frac{\partial \psi}{\partial \phi} \frac{\partial^2 \psi}{\partial \phi^2} \right) \left. \right] \\ &+ \delta^2 \frac{3}{B^4} \left[\frac{\sin 2\phi}{2} \left(\frac{1}{r^2} \left(\frac{\partial \psi}{\partial \phi} \right)^2 - \left(\frac{\partial \psi}{\partial r} \right)^2 \right) - \cos 2\phi \frac{1}{r} \left(\frac{\partial \psi}{\partial r} \frac{\partial \psi}{\partial \phi} \right) \right] \left. \right\} = \\ & \left[-\frac{1}{r} \frac{\partial^2 \tau_{rr}}{\partial r \partial \phi} - \frac{1}{r^2} \frac{\partial \tau_{rr}}{\partial \phi} + \frac{1}{r} \frac{\partial^2 \tau_{\phi \phi}}{\partial r \partial \phi} + \frac{1}{r^2} \frac{\partial \tau_{\phi \phi}}{\partial \phi} + \frac{\partial^2 \tau_{r\phi}}{\partial r^2} + \frac{3}{r} \frac{\partial \tau_{r\phi}}{\partial r} - \frac{1}{r^2} \frac{\partial^2 \tau_{r\phi}}{\partial \phi^2} \right] \\ &+ \frac{\delta}{B} \left[\sin \phi \left(\frac{1}{r} \frac{\partial \tau_{r\phi}}{\partial \phi} - \frac{1}{r} (\tau_{\phi\phi} - \tau_{rr}) + \frac{\partial \tau_{ss}}{\partial r} - \frac{\partial \tau_{\phi\phi}}{\partial r} \right) \right. \\ &+ \cos \phi \left(\frac{1}{r} \frac{\partial \tau_{ss}}{\partial \phi} - \frac{1}{r} \frac{\partial \tau_{rr}}{\partial \phi} + \frac{2}{r} \tau_{r\phi} - \frac{\partial \tau_{r\phi}}{\partial r} \right) \left. \right] \end{aligned} \quad (19-2)$$

در عبارت بالا،^۲ ∇^2 نمایشگر عملگر لاپلاسین بی بعد بوده و به صورت زیر تعریف می‌گردد:

$$\nabla^2 = \frac{\partial^2}{\partial r^2} + \frac{1}{r} \frac{\partial}{\partial r} + \frac{1}{r^2} \frac{\partial^2}{\partial \phi^2}. \quad (20-2)$$

همچنین برای حل معادلات حاکم، شرط مرزی عدم لغزش بر روی جداره لوله صادق است:

$$w = \psi = \frac{\partial \psi}{\partial r} = 0 \quad \text{در } r = 1 \quad (21-2)$$

فصل سوم

حل جریان سیال ویسکوالاستیک

مدل مرتبه دو در یک لوله خمیده

در این بخش، ابتدا سری حساب اختلالات مربوط به ترم‌های تنش، تابع جریان و سرعت بیشینه به عنوان حل تقریبی مساله معرفی شده‌اند. سپس با قرار دادن این سری‌ها در معادلات اصلی بی‌بعد مومنتم که در فصل قبل بدست آمده بودند، به مرتب‌سازی آنها بر حسب پارامتر حساب اختلالات (که در این مساله همان نسبت انحصاری باشد) و سپس حل آنها پرداخته شد. با توجه به معادلات بدست آمده و شرایط مرزی موجود، بسط حساب اختلالات را تا مرتبه دوم سری پیش می‌بریم. حل ارائه شده در حالاتی خاص، با حل‌های بدست آمده گذشته مقایسه و صحه‌گذاری شده است. در نهایت، پاسخی بدست خواهد آمد که برای اولین بار، در این رساله منتشر شده است. مهم‌ترین دست‌آوردهای که در حل این مساله حاصل شد، حل مرتبه دوم سری حساب اختلالات بوده که منجر به یافتن یک عبارت تحلیلی برای دبی ورودی سیال از لوله خمیده شد.

۱-۳) حل مساله به روش حساب اختلالات

در این بخش با استفاده از حساب اختلالات پاسخ تحلیلی برای میدان جریان سیال مرتبه دو در یک لوله خمیده ارائه شده است. به طور کلی می‌توان پارامترهای میدان جریان را بصورت یک سری از نسبت‌های انجنا (δ) معرفی نمود:

$$w = \sum_{n=0}^2 \delta^n w^{(n)}(r, \phi), \quad \psi = \sum_{n=1}^2 \delta^n \psi^{(n)}(r, \phi), \quad \tau = \sum_{n=0}^2 \delta^n \tau^{(n)}(r, \phi), \quad (1-3)$$

به عبارت دیگر، در رابطه (۱-۳)، δ معرف پارامتر اختلال است. با توجه به اینکه میدان جریان در لوله مستقیم فاقد جریان ثانویه است و با عنایت به این مساله که در لوله مستقیم اثر انجنای مسیر (δ) وجود ندارد، لذا نتیجه می‌شود که برخلاف سرعت محوری و میدان تنش، ترم مرتبه صفر تابع جریان مربوط به جریانهای ثانویه برابر صفر است ($\psi^{(0)} = 0$).

۱-۱-۳) حل مرتبه δ^0

برای یافتن جمله مرتبه صفر سرعت محوری با استی سریهای مربوط به سرعت محوری و میدان تنش سیال مرتبه دو را از رابطه (۱-۱۸) در رابطه (۲-۱۸) قرار داد و معادله حاصله را بر حسب δ^0 مرتب نمود. به این ترتیب معادله زیر برای ترمehای مرتبه صفر حاصل می‌شود:

$$\frac{\partial \tau_{rs}^{(0)}}{\partial r} + \frac{1}{r} \frac{\partial \tau_{\phi s}^{(0)}}{\partial \phi} + \frac{\tau_{rs}^{(0)}}{r} = -4, \quad (2-3)$$

مولفه‌های تنش τ_{rs} و $\tau_{\phi s}$ سیال مرتبه دو از روابط بخش ضمیمه الف بدست می‌آیند. به این ترتیب با محاسبه جمله مرتبه صفر این دو مولفه تنش بر حسب سرعت محوری و قرار دادن نتیجه آن در رابطه (۲-۳)، معادله مربوط به جمله مرتبه صفر سرعت محوری حاصل می‌شود:

$$\nabla^2 w^{(0)} = -4 \quad (3-3)$$

با اعمال شرط عدم لغزش بر روی جداره لوله، رابطه زیر برای سرعت محوری مرتبه صفر بدست می‌آید:

$$w^{(0)} = 1 - r^2 \quad (4-3)$$

توزیع سرعت بدست آمده در رابطه (۴-۳) همان توزیع سرعت سیال نیوتینی در لوله مستقیم است. به عبارت دیگر از آنجا که جملات مرتبه صفر مستقل از انحنا هستند پاسخ میدان جریان به سمت رابطه جریان در لوله مستقیم همگرا شده است. شایان ذکر است که پاسخ سرعت محوری برای جریان سیالات مرتبه دو و فوق همرفتی ماسکول در لوله مستقیم مشابه سیال نیوتینی است [۲۱].

۳-۱-۲) حل مرتبه δ^1

با قرار دادن رابطه (۱-۳) در معادله تابع جریان (معادله (۱۹-۲)) و مرتب نمودن این معادله تا مرتبه δ^1 ، معادله زیر را می‌توان بدست آورد.

$$\begin{aligned} & \left(-4 \frac{We}{r^3} \frac{\partial w^{(0)}}{\partial \phi} \frac{\partial^2 w^{(0)}}{\partial \phi^2} - 4 \frac{We}{r} \frac{\partial w^{(0)}}{\partial r} \frac{\partial^2 w^{(0)}}{\partial r \partial \phi} + \frac{2 \operatorname{Re}}{r} w^{(0)} \frac{\partial w^{(0)}}{\partial \phi} \right) \cos(\phi) \\ & + \left(-4 \frac{We}{r^2} \frac{\partial w^{(0)}}{\partial \phi} \frac{\partial^2 w^{(0)}}{\partial r \partial \phi} + 4 \frac{We}{r^3} \left(\frac{\partial w^{(0)}}{\partial \phi} \right)^2 - 4We \frac{\partial w^{(0)}}{\partial r} \frac{\partial^2 w^{(0)}}{\partial r^2} + 2 \operatorname{Re} w^{(0)} \frac{\partial w^{(0)}}{\partial r} \right) \sin(\phi) \\ & - \frac{\partial^4 \psi^{(1)}}{\partial r^4} - \frac{1}{r^3} \frac{\partial \psi^{(1)}}{\partial r} - \frac{4}{r^4} \frac{\partial^2 \psi^{(1)}}{\partial \phi^2} + \frac{2}{r^3} \frac{\partial^3 \psi^{(1)}}{\partial r \partial \phi^2} + \frac{1}{r^2} \frac{\partial^2 \psi^{(1)}}{\partial r^2} - \frac{2}{r^2} \frac{\partial^4 \psi^{(1)}}{\partial r^2 \partial \phi^2} - \frac{1}{r^4} \frac{\partial^4 \psi^{(1)}}{\partial \phi^4} \\ & - \frac{2}{r} \frac{\partial^3 \psi^{(1)}}{\partial r^3} = 0 \end{aligned} \quad (5-3)$$

با قرار دادن رابطه مربوط به $w^{(0)}$ در معادله بالا، حالت عمومی مربوط به $\psi^{(1)}$ به صورت زیر بدست می‌آید:

$$\psi^{(1)} = g_1(r) \sin(\phi) \quad (6-3)$$

در نهایت پس از اعمال شرط مرزی عدم لغزش (رابطه (۲۱-۲)), رابطه زیر برای $g_1(r)$ حاصل می‌شود:

$$g_1(r) = \frac{1}{288} r w^{(0)^2} \left(\operatorname{Re}(r^2 - 4) - 24We \right), \quad (7-3)$$

به همین ترتیب معادله (۱۸-۲) را نیز بر حسب δ^1 مرتب کرده و به معادله زیر دست خواهیم یافت:

$$\begin{aligned}
 & \left(-\frac{4}{r} \frac{\partial^2 w^{(0)}}{\partial \phi^2} - 12r - 4 \frac{\partial w^{(0)}}{\partial r} - 4r \frac{\partial^2 w^{(0)}}{\partial r^2} - \frac{\partial w^{(0)}}{\partial r} \right) \cos(\phi) + \frac{1}{r} \frac{\partial w^{(0)}}{\partial \phi} \sin(\phi) \\
 & - \frac{1}{r} \frac{\partial w^{(1)}}{\partial r} - \frac{1}{r^2} \frac{\partial^2 w^{(1)}}{\partial \phi^2} + \frac{2We}{r^3} \frac{\partial^2 w^{(0)}}{\partial r \partial \phi} \frac{\partial^2 \psi^{(1)}}{\partial \phi^2} + \frac{2We}{r} \frac{\partial^2 \psi^{(1)}}{\partial r \partial \phi} \frac{\partial^2 w^{(0)}}{\partial r^2} - \frac{\partial^2 w^{(1)}}{\partial r^2} \\
 & - \frac{2We}{r} \frac{\partial^2 \psi^{(1)}}{\partial r \partial \phi} \frac{\partial^2 w^{(0)}}{\partial r \partial \phi} + \frac{We}{r} \frac{\partial^3 \psi^{(1)}}{\partial r^2 \partial \phi} \frac{\partial w^{(0)}}{\partial r} + \frac{4We}{r^4} \frac{\partial \psi^{(1)}}{\partial \phi} \frac{\partial^2 w^{(0)}}{\partial \phi^2} + \frac{3We}{r^2} \frac{\partial \psi^{(1)}}{\partial r} \frac{\partial^2 w^{(0)}}{\partial r \partial \phi} \\
 & - \frac{We}{r^2} \frac{\partial^2 \psi^{(1)}}{\partial r \partial \phi} \frac{\partial w^{(0)}}{\partial r} + \frac{We}{r^2} \frac{\partial^2 \psi^{(1)}}{\partial r^2} \frac{\partial w^{(0)}}{\partial \phi} + \frac{We}{r} \frac{\partial^3 w^{(0)}}{\partial r^2 \partial \phi} \frac{\partial \psi^{(1)}}{\partial r} + \frac{We}{r^3} \frac{\partial^3 \psi^{(1)}}{\partial \phi^3} \frac{\partial w^{(0)}}{\partial r} , \quad (8-3) \\
 & - \frac{3We}{r^2} \frac{\partial \psi^{(1)}}{\partial \phi} \frac{\partial^2 w^{(0)}}{\partial r^2} - \frac{2We}{r^3} \frac{\partial^2 \psi^{(1)}}{\partial r \partial \phi} \frac{\partial^2 w^{(0)}}{\partial \phi^2} + \frac{We}{r^3} \frac{\partial \psi^{(1)}}{\partial r} \frac{\partial^3 w^{(0)}}{\partial \phi^3} - \frac{We}{r^3} \frac{\partial^3 \psi^{(1)}}{\partial r \partial \phi^2} \frac{\partial w^{(0)}}{\partial \phi} \\
 & - \frac{We}{r^3} \frac{\partial \psi^{(1)}}{\partial \phi} \frac{\partial^3 w^{(0)}}{\partial r \partial \phi^2} - \frac{We}{r} \frac{\partial^3 \psi^{(1)}}{\partial r^3} \frac{\partial w^{(0)}}{\partial \phi} - \frac{We}{r} \frac{\partial \psi^{(1)}}{\partial \phi} \frac{\partial^3 w^{(0)}}{\partial r^3} - \frac{Re}{r} \frac{\partial \psi^{(1)}}{\partial \phi} \frac{\partial w^{(0)}}{\partial r} \\
 & + \frac{3We}{r^3} \frac{\partial \psi^{(1)}}{\partial \phi} \frac{\partial w^{(0)}}{\partial r} - \frac{We}{r^3} \frac{\partial \psi^{(1)}}{\partial r} \frac{\partial w^{(0)}}{\partial \phi} + \frac{Re}{r} \frac{\partial \psi^{(1)}}{\partial r} \frac{\partial w^{(0)}}{\partial \phi} = 0,
 \end{aligned}$$

با قرار دادن روابط معادل $w^{(0)}$ و $\psi^{(1)}$ رابطه عمومی مربوط به $w^{(1)}$ را به صورت زیر داریم:

$$w^{(1)} = f_1(r) \cos(\phi), \quad (9-3)$$

پس از حل معادله و اعمال شرایط مرزی، تابع $f_1(r)$ بصورت زیر خواهد بود:

$$f_1(r) = -\frac{1}{11520} r w^{(0)} \left(\begin{array}{l} 8640 + Re^2 (r^6 - 9r^4 + 21r^2 - 19) + 1920(r^2 - 1)We^2 \\ + Re(-120r^4 + 520r^2 - 440)We \end{array} \right), \quad (10-3)$$

شایان ذکر است که روابط مربوط به جملات مرتبه اول میدان سرعت جریان سیال مرتبه دو در لوله خمیده (روابط (6-۳) تا (۹-۳) و (۱۰-۳) تا (۷-۳)) نخستین بار توسط جیتچوت و رابرتسون [۳۵] ارائه شده است.

محاسبه ترمهای مرتبه اول تنها برای آشکار نمودن جریانهای ثانویه در مجاری خمیده مناسب است و این حل منجر به محاسبه دقیق میدان سرعت نمی شود. واضح است که انتگرال رابطه (۹-۳) در سطح مقطع لوله برابر صفر است و بنابراین محاسبه میزان تغییرات دبی جریان در لوله خمیده نسبت به لوله مستقیم از محاسبه جمله مرتبه یک برای سرعت محوری امکانپذیر نبوده و نیازمند محاسبه ترمهای مرتبه بالاتر است. همچنین با محاسبه جملات مرتبه بالا پاسخ های دقیق تری برای جریانهای ثانویه و سرعت محوری و همچنین پدیده متمایل شدن توزیع سرعت محوری به سمت دیواره سمت انحنای خارجی مجاہ حاصل می شود که با فیزیک جریان در مجاری خمیده سازگار است. از این رو برخلاف تحقیق جیتچوت و رابرتسون، تحقیق اخیر در مرتبه اول تحلیل متوقف نشده و

ترمهای مرتبه دوم نیز محاسبه شده است. البته شایان ذکر است که محاسبه این ترمها دشوارتر بوده و به پاسخ های پیچیده تری منجر می شود.

۳-۱-۳) حل مرتبه δ^2

روند تعیین معادلات و محاسبه جملات مرتبه دو کاملا مشابه محاسبه جملات مرتبه اول است با این تفاوت که جهت بدست آوردن معادلات مربوطه لازم است که روابط (۱-۳) در معادلات حاکم قرار داده شوند و جملات آنها بر حسب δ^2 مرتب سازی شوند (معادلات مربوط به این مرتب سازی در ضمیمه ارائه شده است). به این ترتیب با حل معادلات مربوطه و اعمال شرایط مرزی نتایج زیر برای سرعت محوری و جریانهای ثانویه بدست می آید:

$$\psi^{(2)} = g_2(r) \sin(2\phi), \quad (11-3 \text{ الف})$$

$$w^{(2)} = f_{20}(r) + f_{22}(r) \cos(2\phi), \quad (11-3 \text{ ب})$$

به دلیل صورت پیچیده و طولانی توابع $(r, f_{20}(r), f_{22}(r), g_2(r))$ ، از ذکر آنها در اینجا صرفنظر شده و نتایج مربوطه در بخش ضمیمه ب آمده است. شایان ذکر است که روابط (۱۱-۳) و همچنین روابط بخش ضمیمه ب برای نخستین بار، در تحقیق اخیر گزارش شده است. با توجه به رابطه (۱۱-۳ ب) می توان دریافت که انتگرال رابطه (۱۱-۳ ب) در سطح مقطع جریان صفر نبوده و بر خلاف جمله مرتبه اول (رابطه (۹-۳)) به محاسبه تغییرات دبی جریان در لوله خمیده منجر می شود.

۲-۳) تعیین دبی جریان

دبی جریان را می توان به سادگی از انتگرال گیری از توزیع سرعت محوری تا مرتبه دو بدست آورد:

$$Q = \int_0^{2\pi} \int_0^1 w r dr d\phi. \quad (12-3)$$

با استفاده از پاسخ بدست آمده در بخش ۱-۳ برای ترمها سرعت محوری، می توان مقدار مناسبی از w را از طریق رابطه زیر تا مرتبه δ^2 بدست آورد:

$$w = w^{(0)}(r) + \delta f_1(r) \cos \phi + \delta^2 (f_{20}(r) + f_{22}(r) \cos 2\phi). \quad (13-3)$$

با قرار دادن توزیع سرعت محوری بدست آمده از رابطه (13-3) در رابطه (12-3) می‌توان رابطه بی بعد دبی

جریان را برای سیال مرتبه دو در یک لوله خمیده بدست آورد:

$$Q_c = Q_s \left(1 + \delta^2 \left(\frac{1}{48} - \frac{11}{17280} Re^2 - \frac{1541}{4180377600} Re^4 + \left(\frac{1}{1290240} Re^3 + \frac{1}{240} Re \right) We \right) \right. \\ \left. + \left(\frac{1}{18} + \frac{691}{2903040} Re^2 \right) We^2 + \left(\frac{11}{4320} Re \right) We^3 + \left(\frac{1}{135} \right) We^4 \right) \quad (14-3)$$

شایان ذکر است که در انتگرالگیری از رابطه (13-3) در سطح مقطع کanal، تنها اثر انتگرال ترمهای $w^{(0)}(r)$ و $f_{20}(r)$ غیر صفر است و میزان تغییرات دبی نسبت به جریان در لوله مستقیم نیز از انتگرال جمله $f_{22}(r)$ حاصل می‌شود. در رابطه بالا، Q_s دبی بی بعد جریان سیال نیوتونی در لوله مستقیم در گرادیان فشاری مشابه می‌باشد که برابر $2/\pi$ است. همچنین مقدار بعد دار آن به شکل زیر است:

$$\tilde{Q}_s = \frac{\pi r_o^2}{8\eta} G. \quad (15-3)$$

حل بالا برای مقادیر کوچک نسبت انحنای معتبر می‌باشد و در صورت افزایش عدد دین، این حل از حل واقعی انحراف می‌یابد.

با حذف ترم الاستیک جریان و صفر قرار دادن عدد واینبرگ، رابطه دبی جریان اینرسی سیال نیوتونی در لوله خمیده حاصل می‌شود که نخستین بار توسط توپکاوقلو [۱۸] ارائه شده است:

$$Q_c = Q_s \left(1 + \delta^2 \left(\frac{1}{48} - \frac{11}{17280} Re^2 - \frac{1541}{4180377600} Re^4 \right) \right) \quad (16-3)$$

همچنین اگر در رابطه (14-3) مقدار عدد رینولدز به سمت صفر میل کند، میزان تغییرات دبی جریان خزشی سیال مرتبه دو که توسط بون [۳۴] و همکاران ارائه شده بدست خواهد آمد:

$$Q_c = Q_s \left(1 + \delta^2 \left(\frac{1}{48} + \frac{1}{288} We^2 + \frac{1}{34560} We^4 \right) \right) \quad (17-3)$$

بنابراین مشاهده می شود که پاسخ بدست آمده برای جریان اینرسی سیال مرتبه دو در تحقیق اخیر (رابطه ۳-۱۴)، پاسخ های مربوط به جریان خزشی سیال مرتبه دو و جریان اینرسی نیوتونی را پوشش می دهد. در بخش بعدی نتایج بدست آمده از این تحلیل ارائه خواهد شد.

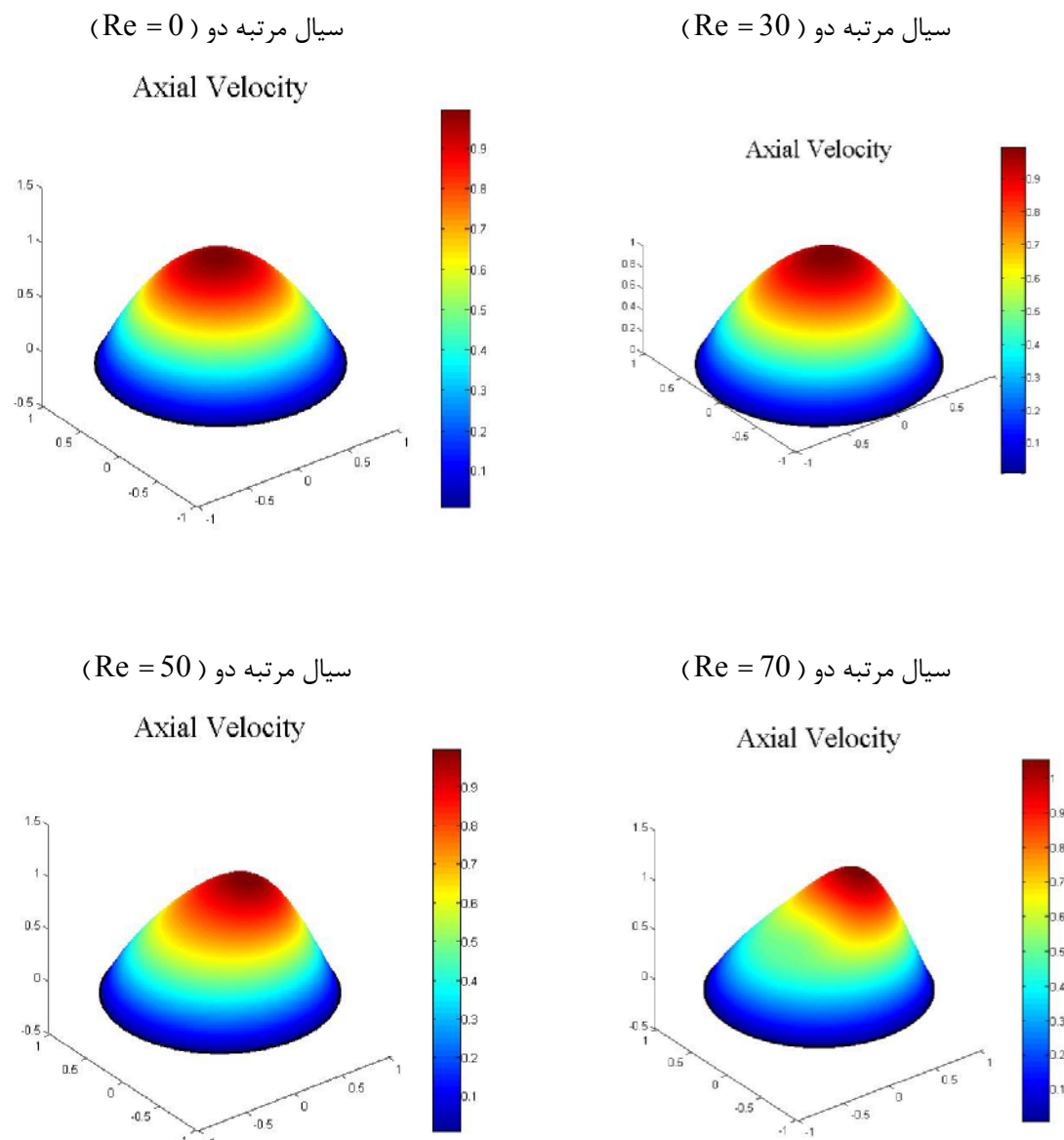
فصل چهارم

نتایج بدست آمده از تحلیل جریان سیال

ویسکوالاستیک مدل مرتبه دو در یک لوله خمیده

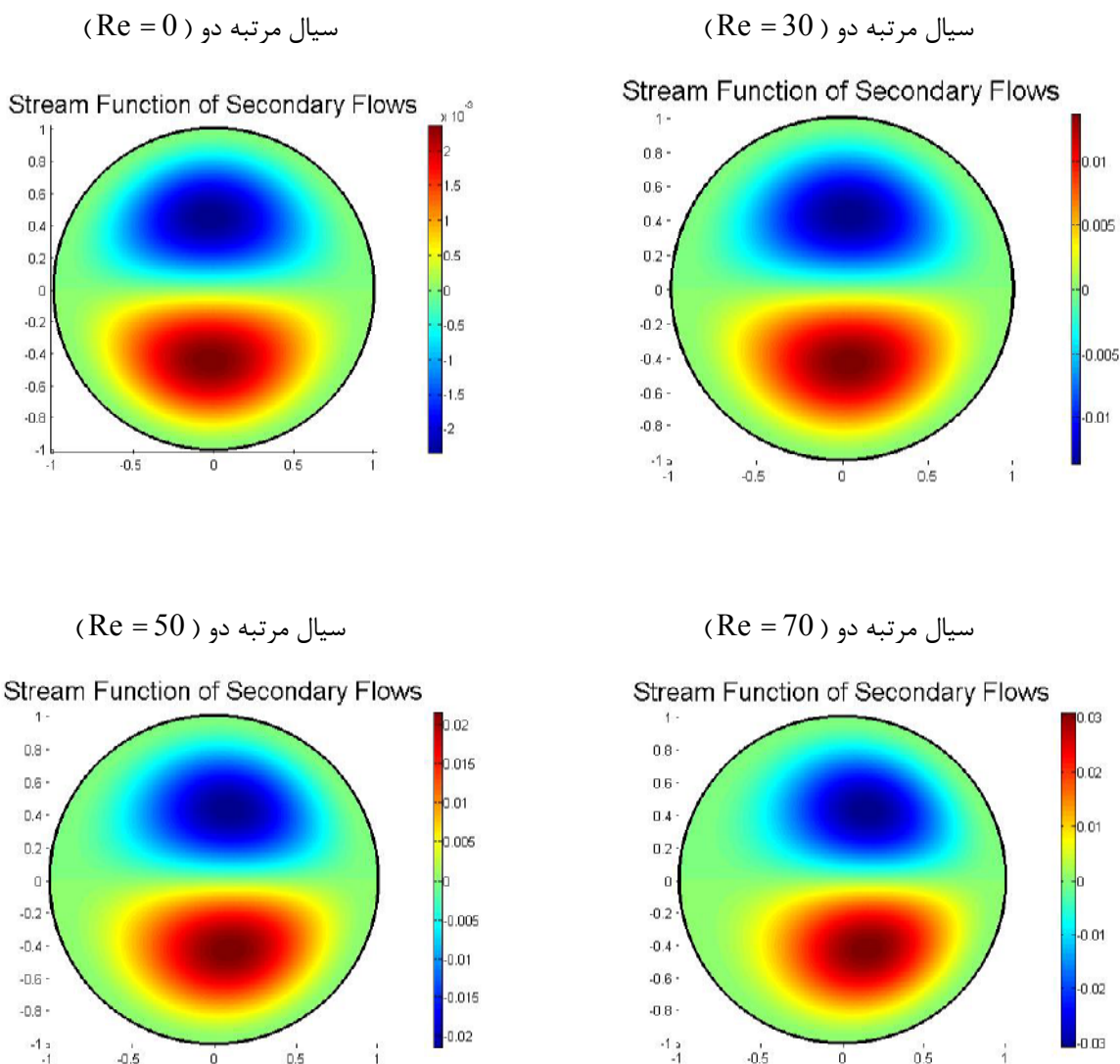
در این بخش، با توجه به حلی که از طریق سری حساب اختلالات بدست آمده است، سیال مرتبه دو، مورد بحث و ارزیابی قرار می‌گیرد. در سیال ماکسول فوق همرفتی و مرتبه دو که تحت گرادیان فشاری برابر قرار می‌گیرند و دارای قطر هیدرولیکی و ویسکوزیته برابری می‌باشند، عدد وایزنبرگ در آنها به ترتیب وابسته به زمان آسودگی از تنش و زمان رهایی از تغییر شکل می‌باشد. به این ترتیب، اثر پارامترهای مهم، بر روی پروفیل‌های سرعت و جریان سیال مرتبه دو مورد بررسی قرار خواهد گرفت.

شکل ۴-۱، پروفیل بر جسته سرعت محوری را همگام با تغییرات افزایشی عدد رینولدز نشان می‌دهد. با توجه به این شکل به راحتی می‌توان تمایل قله پروفیل (بیشینه سرعت محوری) به سمت دیواره بیرونی را مشاهده نمود.



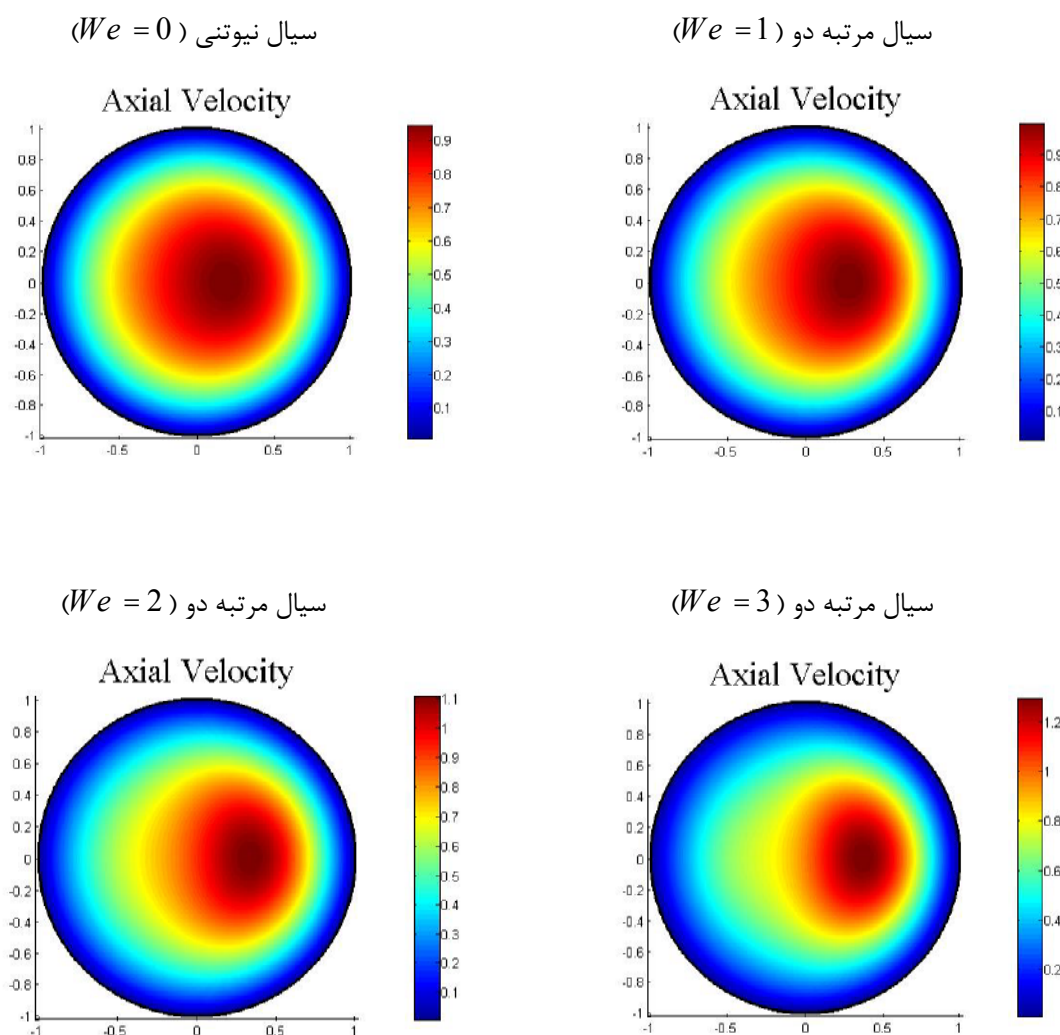
شکل ۴-۱. اثرات افزایش عدد رینولدز روی سرعت محوری سیال در حالت $\delta = 0.1$ و $We = 1$

در شکل ۴-۲، می‌توان اثر افزایش عدد رینولدز در اعداد وایزنبرگ ثابت را این بار روی تابع جریان مورد بررسی و ارزیابی قرار داد. همان‌طور که از این پروفیل‌ها مشخص است، شدت جریان‌های ثانویه با افزایش عدد رینولدز رو به فروزنی می‌گذارند.



شکل ۴-۲. اثرات افزایش عدد رینولدز روی تابع جریان سیال در حالت $We = 1$ و $\delta = 0.1$

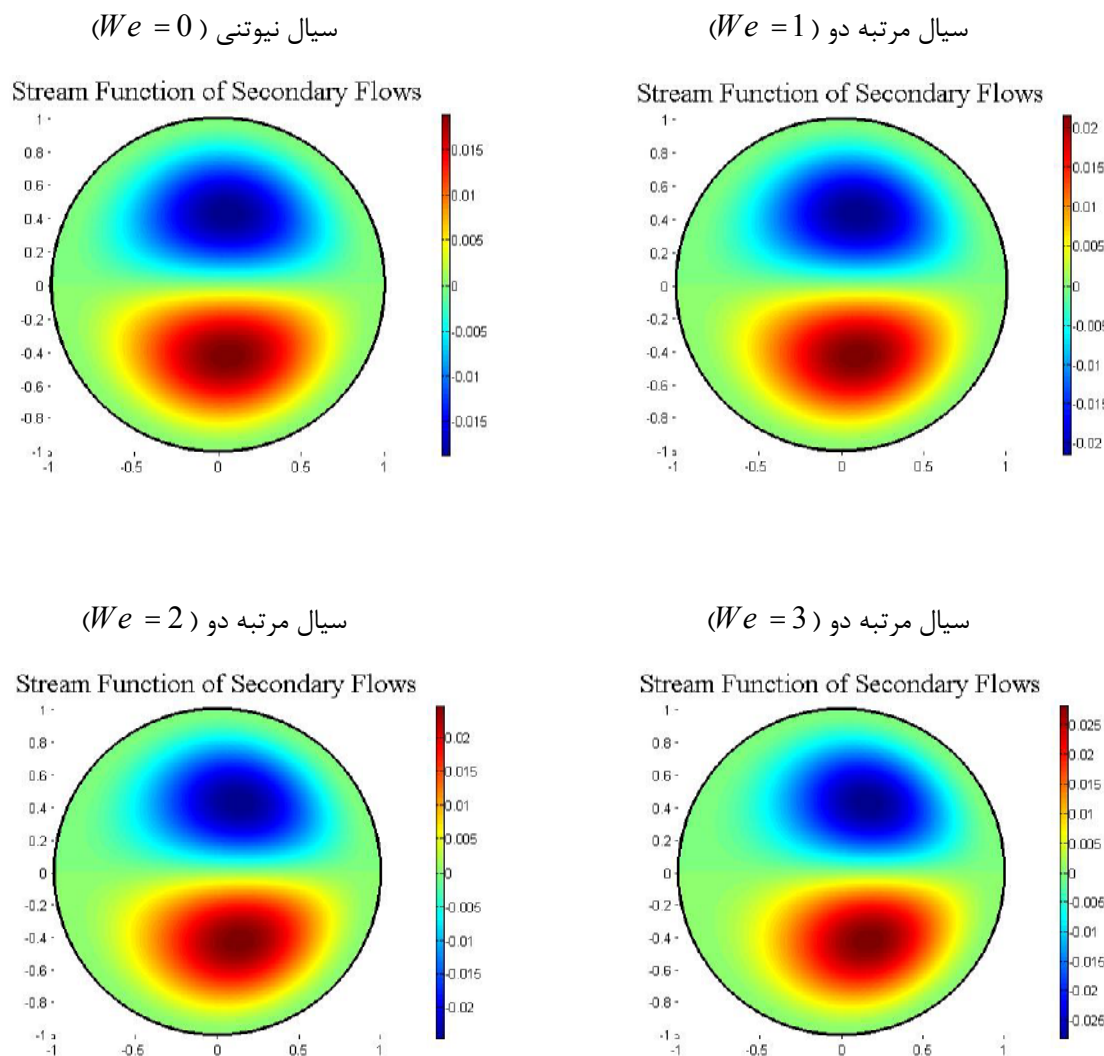
شکل ۴-۳، پروفیل سرعت محوری را همگام با تغییرات افزایشی عدد واizenبرگ در حالی می‌توان مشاهده نمود که عدد رینولدز در عدد 50 ثابت شده است. در این شکل نیز می‌توان تمایل بیشینه سرعت محوری به سمت دیواره بیرونی را مشاهده نمود.



شکل ۴-۴. اثرات افزایش عدد واizenبرگ روی سرعت محوری در حالت $\text{Re} = 50$ و $\delta = 0.1$

همچنین اثرات افزایش عدد واizenبرگ روی تابع جریان را در شکل ۴-۴ مشاهده نمود.

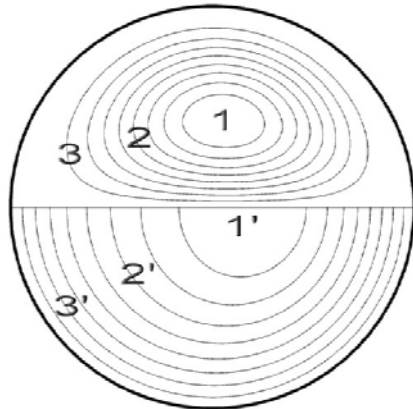
در این شکل نیز می‌توان مشاهده کرد که افزایش عدد واizenبرگ باعث کشیده شدن جریان‌های ثانویه به سمت دیواره بیرونی و البته افزایش شدت آنها نیز می‌گردد.



شکل ۴-۴. اثرات افزایش عدد واizenبرگ روی تابع جریان در حالت $\delta = 0.1$ و $Re = 50$

شکل ۴-۵ را می‌توان به عنوان خلاصه‌ای از تمامی نتایج حاصل از دو شکل بالا در نظر گرفت. در نیمه بالایی، تابع جریان و در نیمه پایینی، سرعت محوری را می‌توان دید. در عدد واizenberg صفر که معادل سیال نیوتونی می‌باشد، نیروهای گریز از مرکز، گردابه‌هایی را تولید می‌کنند که به گردابه‌های تیلور-گرتلر معروف می‌باشند. با توجه به شکل، افزایش عدد واizenberg، سرعت محوری بیشینه و شدت جریان ثانویه را افزایش می‌دهد و موقعیت سرعت محوری را به سمت دیواره بیرونی لوله خمیده جابه‌جا می‌کند.

($We = 0$) سیال نیوتونی

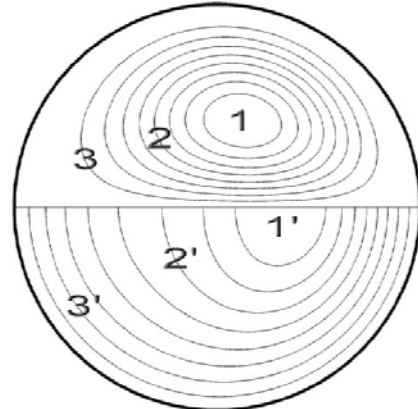


$$\psi_1 = -0.019, w_{1'} = 0.94$$

$$\psi_2 = -0.012, w_{2'} = 0.63$$

$$\psi_3 = -0.002, w_{3'} = 0.21$$

($We = 2$) سیال مرتبه دو

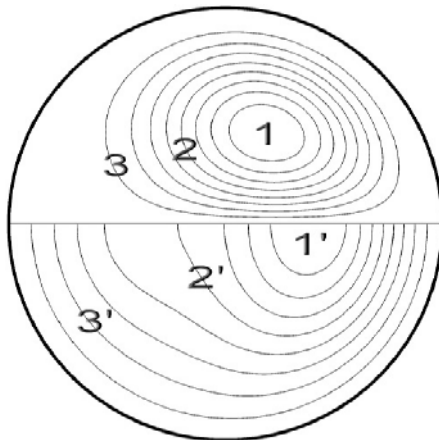


$$\psi_1 = -0.025, w_{1'} = 1.10$$

$$\psi_2 = -0.014, w_{2'} = 0.74$$

$$\psi_3 = -0.003, w_{3'} = 0.25$$

($We = 4$) سیال مرتبه دو

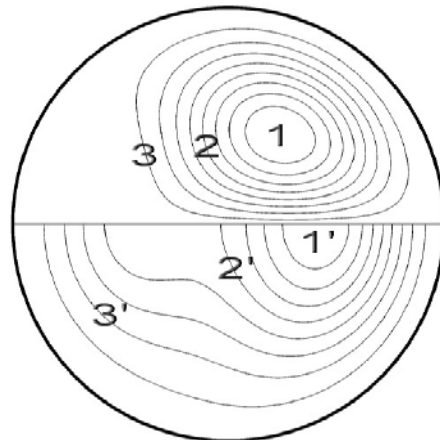


$$\psi_1 = -0.033, w_{1'} = 1.55$$

$$\psi_2 = -0.018, w_{2'} = 0.87$$

$$\psi_3 = -0.004, w_{3'} = 0.34$$

($We = 6$) سیال مرتبه دو



$$\psi_1 = -0.043, w_{1'} = 2.45$$

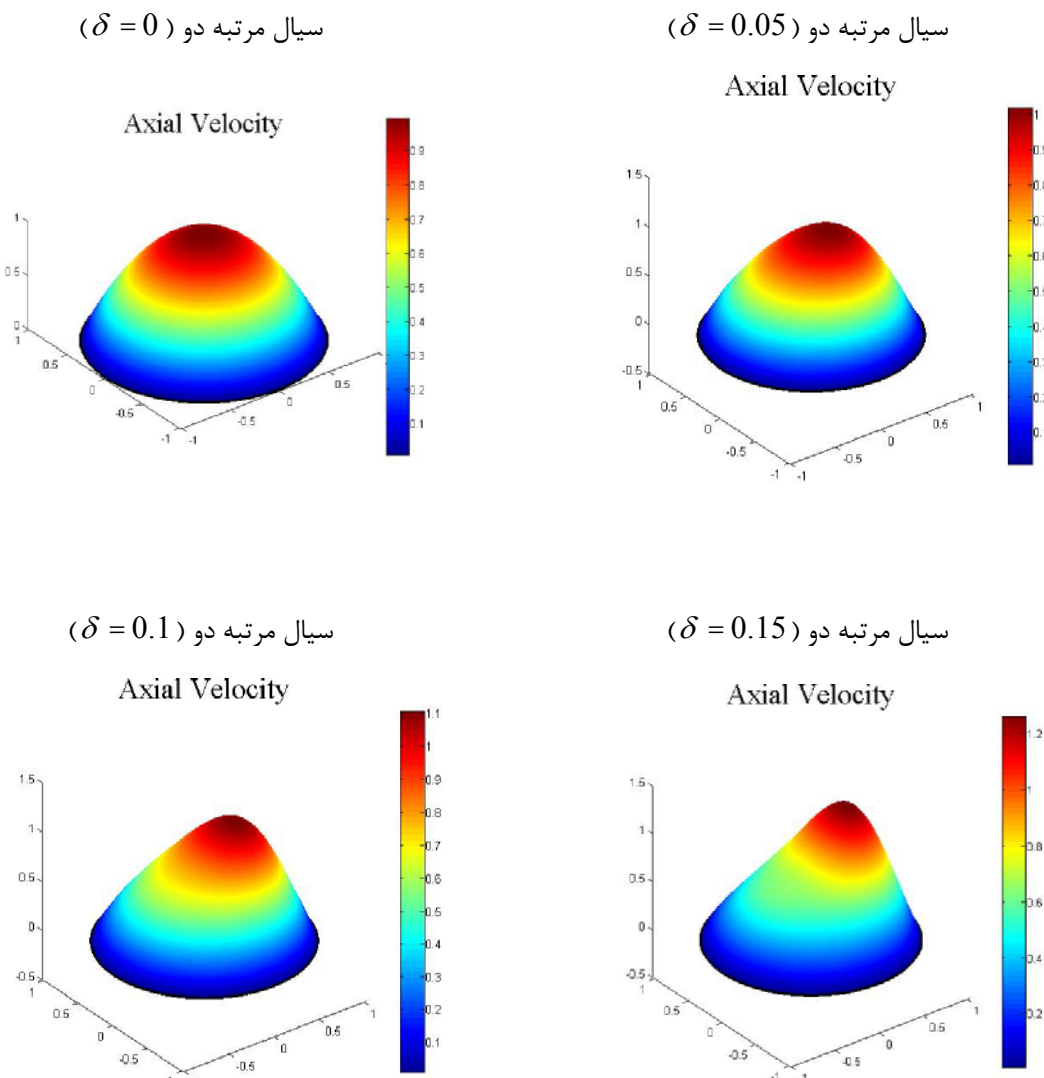
$$\psi_2 = -0.023, w_{2'} = 1.37$$

$$\psi_3 = -0.004, w_{3'} = 0.54$$

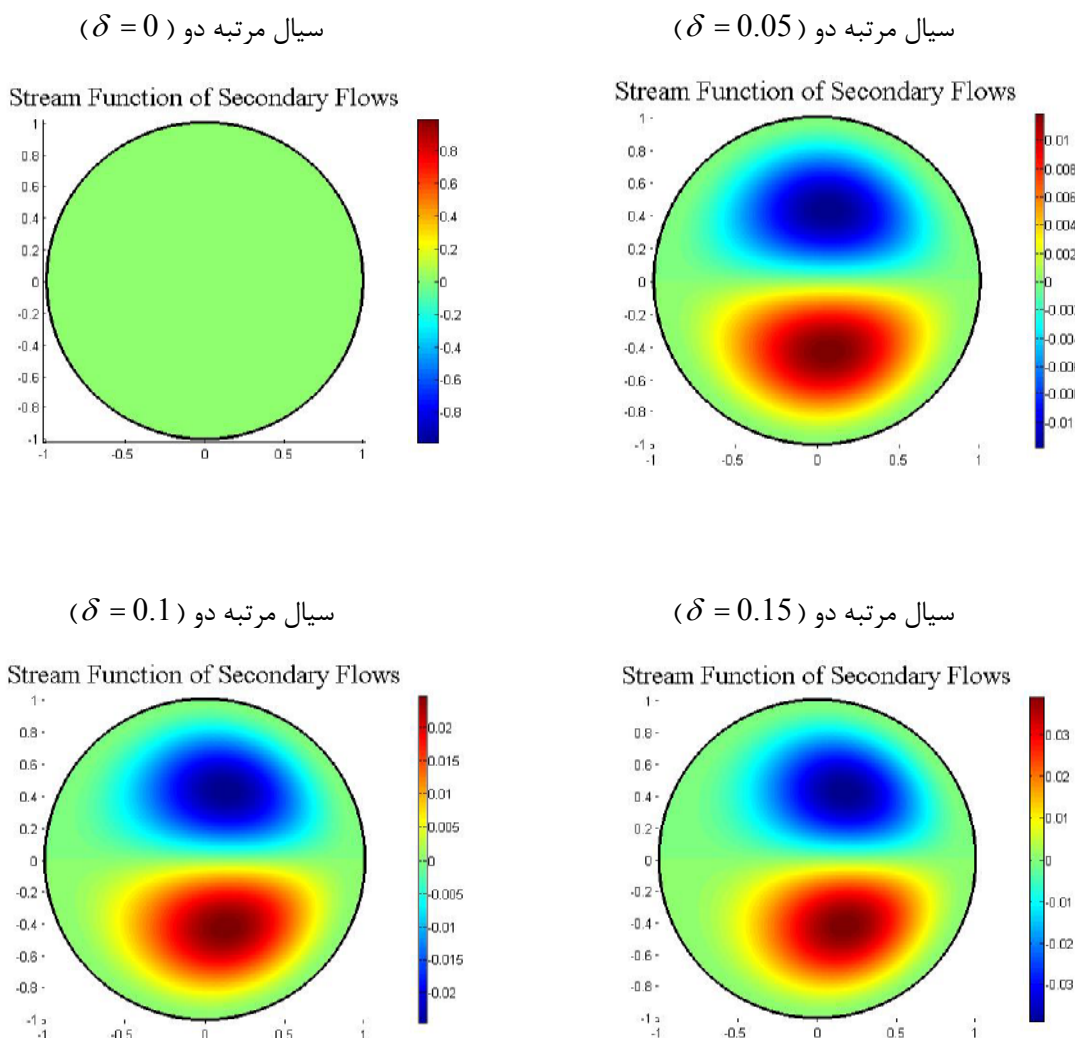
شکل ۴-۵.تابع جریان (نیمه بالایی) و سرعت محوری (نیمه پایانی) سیال مرتبه دو

در مقادیر مختلف عدد وایزنبرگ در $\delta = 0.1$ و $Re = 50$

در شکل‌های ۴-۶ و ۷-۴، اثر افزایش نسبت انحنای لوله روی سرعت محوری و تابع جریان را می‌توان مشاهده نمود. با توجه به پروفیل برجسته‌ای که برای سرعت محوری نمایش داده شده است، بیشینه سرعت محوری با افزایش مقدار نسبت انحنای لوله، به سمت دیواره بیرونی متمایل می‌شود. اما همان‌طور که در بخش قبل اشاره شد، در صورت در اختیار داشتن لوله صاف، شاهد پدید آمدن جریان‌های ثانویه در لوله نخواهیم بود. با توجه به اینکه در این مساله، $\delta = 0$ به معنی صاف بودن لوله می‌باشد، به وضوح عدم تشكیل جریان‌های ثانویه در لوله صاف را از شکل ۷-۴ دریافت.



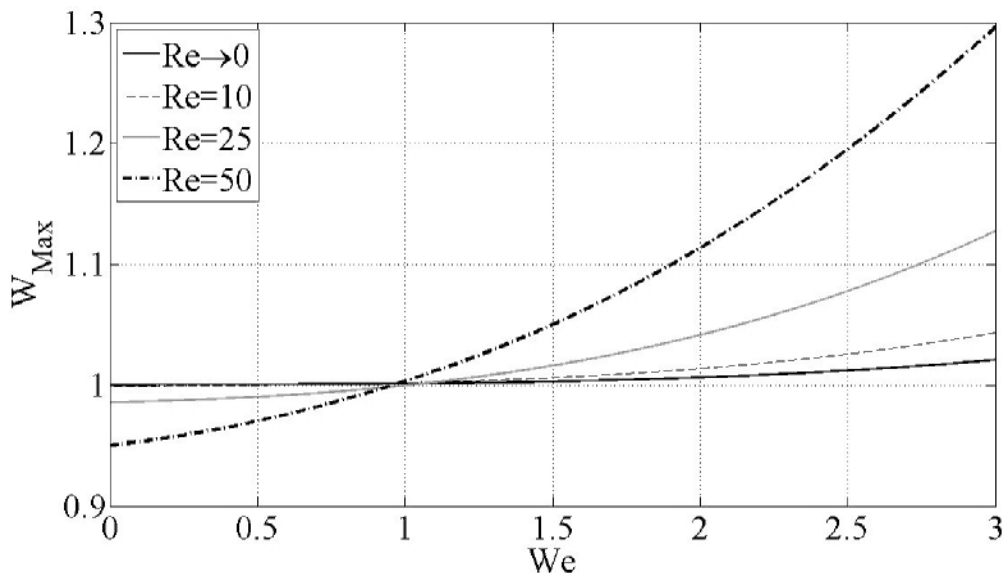
شکل ۴-۶. اثرات افزایش نسبت انحنای لوله روی سرعت محوری در حالت $We = 2$ و $Re = 50$



شکل ۴-۷. اثرات افزایش نسبت انحنای لوله روی تابع جریان در حالت $We = 2$ و $Re = 50$

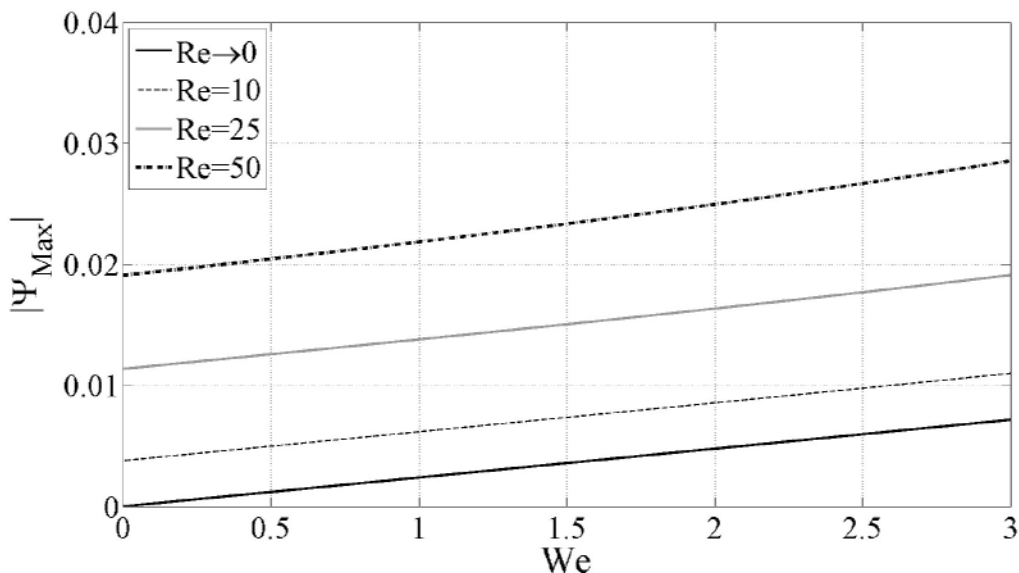
با توجه به پروفیل‌هایی که در بالا برای سرعت محوری و تابع جریان، ارائه شد، نتایج کلی مشهود بود. اما برای درک بهتر اثرات پارامترهای مختلف، از شکل‌های زیر بهره می‌بریم.

در شکل‌های ۸-۴ و ۹-۴ می‌توان اثرات افزایش عدد رینولدز و عدد واizenبرگ را به صورت توانان مشاهده نمود و مورد بررسی و ارزیابی قرار داد. همان‌طور که از شکل ۸-۴ برمی‌آید، افزایش عدد واizenبرگ و رینولدز باعث تقویت سرعت بیشینه سیال مرتبه دو در لوله خمیده می‌گردد.



شکل ۸-۴. اثر عدد واizenبرگ روی مقدار بیشینه سرعت سیال مرتبه دو در یک لوله خمیده

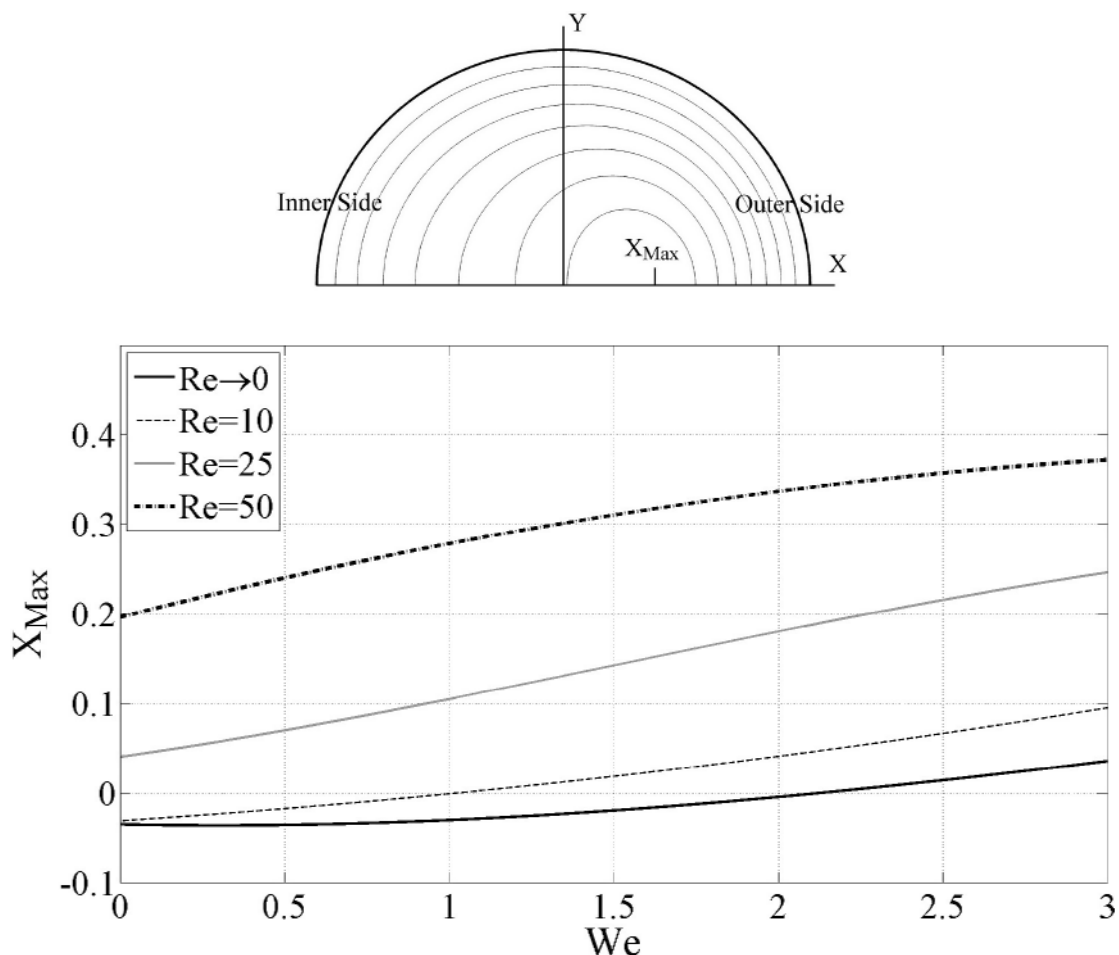
با توجه به شکل ۹-۴ می‌توان در نقطه ($We = 0$ و $Re \approx 0$) مقدار بیشینه تابع جریان معادل صفر می‌باشد که نشان‌دهنده عدم حضور جریان‌های ثانویه در جریان خزشی نیوتونی است. اما اثرات افزایش عدد واizenبرگ هم در جریان خزشی و هم در جریان دارای اینرسی مشابه هم می‌باشد.



شکل ۴-۹. اثر عدد واizenبرگ روی مقدار بیشینه تابع جریان سیال مرتبه دو در یک لوله خمیده

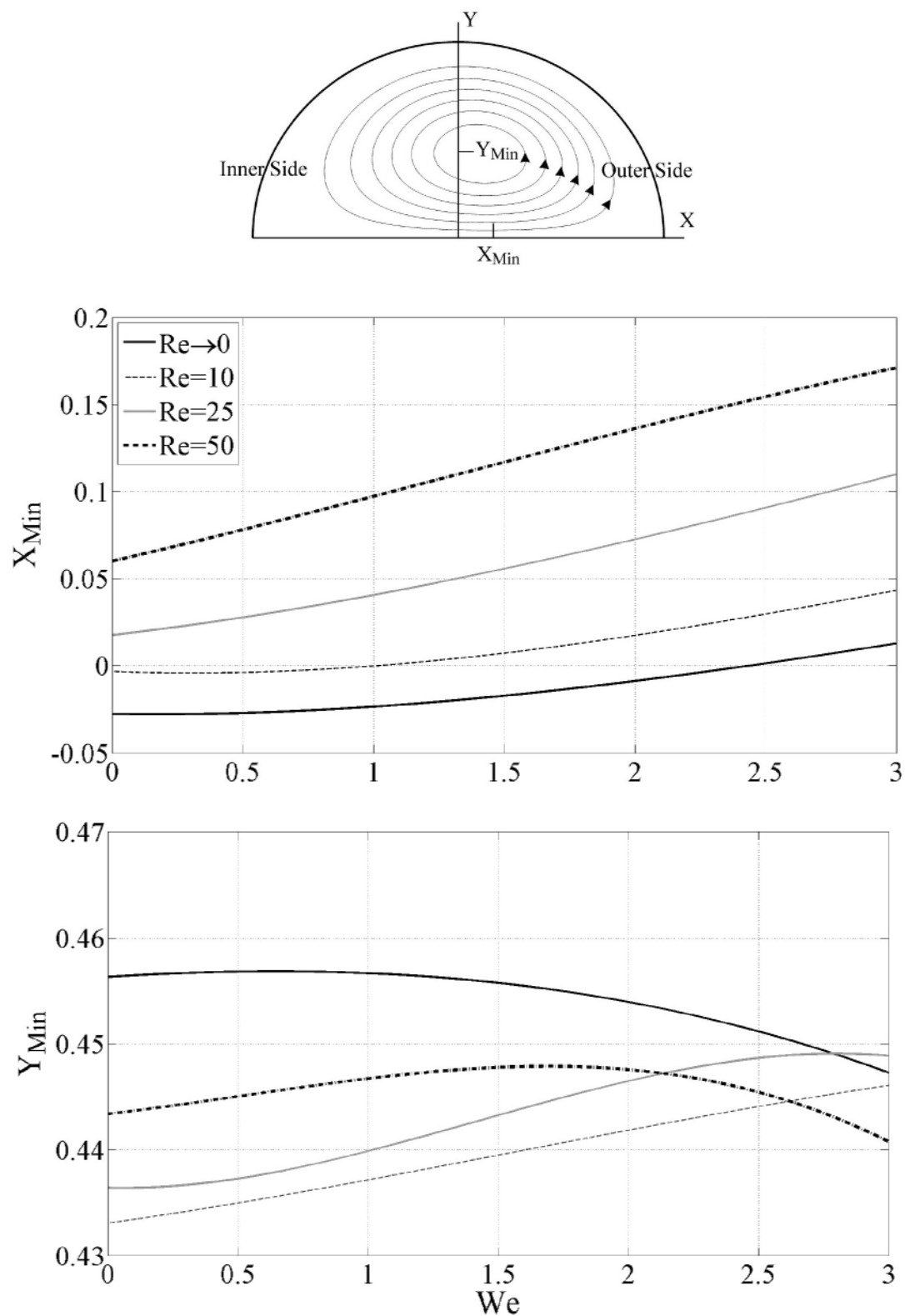
بررسی اثرات عدد واizenبرگ و رینولدز بر روی موقعیت محوری سرعت و تابع جریان بیشینه، در شکل‌های ۱۰-۴ و ۱۱-۴ مورد بحث و بررسی قرار گرفته است.

با توجه به شکل ۱۰-۴ می‌توان دریافت که در اعداد رینولدز پایین‌تر از 10^0 ، سرعت محوری بیشینه به سمت دیواره داخلی متمایل است (X_{Max} منفی است). با توجه به اینکه در این محدوده عدد رینولدز، مقدار نیروهای گریز از مرکز و نیروهای الاستیک بسیار ضعیف می‌باشد و جریان‌های ثانویه تولید شده بسیار کوچک و ضعیف هستند، به دلیل گرادیان فشار بیشتر در نزدیکی دیواره داخلی در مقایسه با دیواره خارجی، توزیع سرعت محوری به سمت دیواره داخلی متمایل می‌گردد. اما با افزایش عدد رینولدز و واizenبرگ و در نتیجه افزایش شدت جریان‌های ثانویه، موقعیت سرعت محوری به سمت دیواره خارجی حرکت می‌کند.



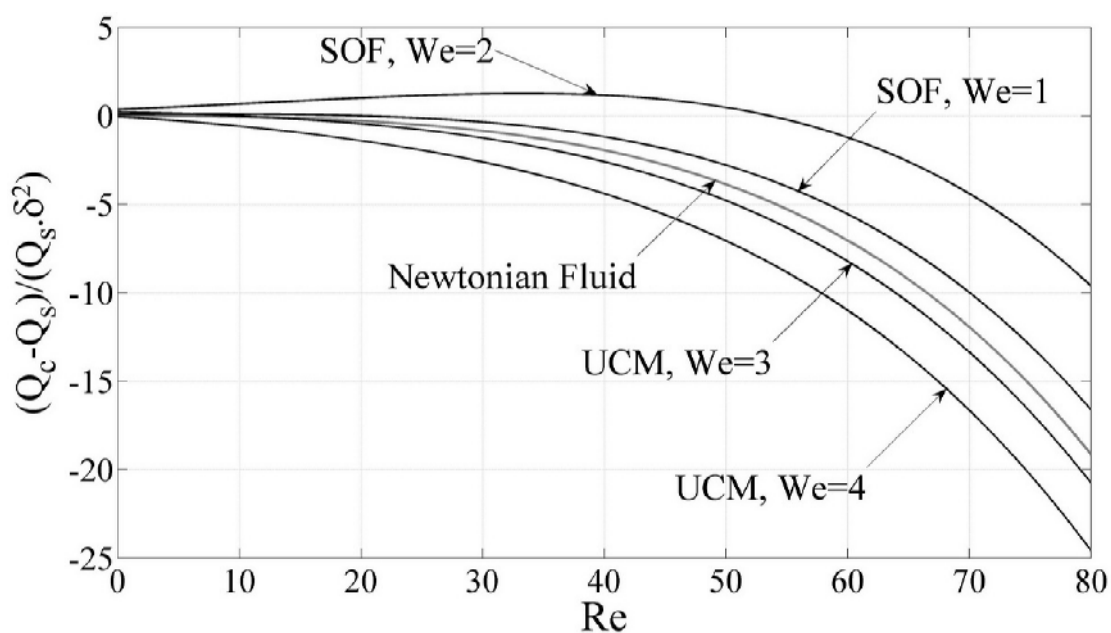
شکل ۴-۱۰. اثر افزایش عدد وایزنبرگ روی موقعیت بیشینه سرعت محوری

شکل ۴-۱۱، جایگاه موقعیت افقی (X_{Min}) و عمودی (Y_{Min}) مرکز جریان‌های ثانویه را نشان می‌دهد. با توجه به شکل، افزایش عدد وایزنبرگ، افزایش X_{Min} را ناشی می‌شود اما این افزایش، اثر چندانی روی Y_{Min} ندارد.



شکل ۱۱-۴. اثر عدد وایزنبرگ روی موقعیت مرکز جریان ثانویه

شکل ۱۲-۴ نسبت اختلاف نرخ جریان را برای سیالات نیوتونی، ماکسول فوق همرفتی (UCM) و مرتبه دو نسبت به عدد رینولدز در اعداد وایزنبرگ مختلف نشان می‌دهد. باید توجه داشت که اعتبار حل بدست آمده برای دبی از طریق روش حساب اختلالات، فقط برای اعداد دین کوچک برقرار است و به دلیل محدودیت‌هایی که حل حساب اختلالات دارد، قابل تعمیم به اعداد دین بالا نمی‌باشد. با توجه به شکل، افزایش عدد رینولدز، منجر به کاهش نسبت اختلاف نرخ جریان سیال نیوتونی می‌شود. برای سیال UCM در عدد وایزنبرگ بزرگ (زمان آسودگی از تنش بزرگ) نرخ جریان از سیال نیوتونی بیشتر است. برخلاف سیال UCM، نرخ جریان در سیال مرتبه دو در اعداد وایزنبرگ بزرگ (زمان رهایی از تغییر شکل) بزرگتر از مقدار مشابه آن در سیال نیوتونی می‌باشد.



شکل ۱۲-۴. تغییرات نرخ ورودی جریان سیالات نیوتونی، ماکسول فوق همرفتی و مرتبه دو نسبت به عدد رینولدز

فصل پنجم

بررسی انتقال حرارت

سیال ویسکوالاستیک در لوله خمیده

با توجه به در دسترس نبودن حل مناسب و دقیقی از انتقال حرارت جریان سیالات ویسکوالاستیک در لوله های خمیده (حتی برای مدل های معروف و کارآمدی چون اولدروید-بی)، در این بخش تلاش شده است تا با ارائه معادلات انتقال حرارت بی بعد مناسب و با به کارگیری بی بعدسازی های درست، راهکار مناسبی برای حل انتقال حرارت گونه های مختلف سیالات ویسکوالاستیک در لوله های خمیده ارائه شود. به این ترتیب، در این بخش پس از بررسی و معرفی پژوهش های گذشتگان، معادلات انتقال حرارت مرتبط با این جریان مورد تحلیل قرار خواهد گرفت. بزرگترین دست آورده ارائه شده در این بخش، معرفی معادله انتگرالی می باشد که ضعف عدم داشتن شرط مرزی مناسب روی سطح را جبران می نماید.

در ادامه اقدام به حل این معادله خواهد شد. با توجه به عدم وجود حل مناسبی از انتقال حرارت مدل معروف سیال اولدروید-بی در یک لوله خمیده، مجدداً انتقال حرارت مربوط به این سیال حل شده است. در ادامه نیز، دیگر سیال مورد بحث، یعنی مدل سیال ویسکوالاستیک مرتبه دو، از دیدگاه انتقال حرارتی مورد بحث قرار می گیرد. لازم به ذکر است که معادلات سرعت و تابع جریان مربوط به سیال اولدروید-بی، عیناً از مقاله رابرتسون و مولر [۲۹] استفاده شده و برای سیال مدل مرتبه دو، از حل های ارائه شده در همین رساله که در فصل های قبل معرفی شدند، بهره برداری شده است. در پایان نیز عدد ناسلت کاهیده به عنوان معیاری از افزایش عدد ناسلت در لوله خمیده نسبت به عدد ناسلت در لوله صاف ارائه و تحلیل گردید.

۱-۵) بررسی مطالعات گذشته بر روی انتقال حرارت جریان سیالات ویسکوالاستیک در

مجاری خمیده

در کنار تحقیقات گسترده‌ای که در زمینه‌ی بررسی سیالات ویسکوالاستیک و جریان آن در لوله‌های خمیده مطرح گردیده است، برخی از محققان توجه خود را معطوف به بررسی انتقال حرارت، معادلات و پروفیل‌های مرتبط با آن نموده‌اند. فراس و اوزیسیک^۱ [۳۶] اولین کسانی بودند که اهمیت انحنای لوله‌ها را در انتقال حرارت مورد بررسی قرار دادند. این بررسی به منظور طراحی بهینه مبدل‌های حرارتی انجام گرفت. متزنر^۲ [۳۷] و اسکلاند^۳ [۳۸] نیز مرور مناسبی را بر جریان سیال و انتقال حرارت سیالات غیر نیوتونی در لوله‌های خمیده انجام داده‌اند. سپس، اوزیسیک و توپکاکلو [۳۹] توزیع دما برای جریان سیالات نیوتونی در لوله‌های خمیده را بدست آوردند و آن را با نتایج آزمایشگاهی موجود مقایسه کردند. این نتایج در توافق مناسبی با هم بودند. پس از این تحقیقات اولیه، اسرباستاوا و سرین^۴ [۴۰] از اولین کسانی هستند که با استفاده از سری‌های بسط داده شده، انتقال حرارت یک جریان آرام و توسعه یافته دمایی ویسکوالاستیک در یک لوله خمیده را حل نمودند. آنها تقریب اولیه دما را برای این سیال بدست آوردند و با مقایسه بخش نیوتونی آن با نتایج آزمایشگاهی توافق مناسبی بین آنها مشاهده نمودند. آکیاما و چنگ^۵ [۴۱] نیز جریان توسعه یافته دمایی را که تحت همرفت اجباری قرار دارد را با شرط مرزی شار حرارتی ثابت روی دیواره مورد بررسی و تحلیل قرار داده و نتایج را با نتایج آزمایشگاهی موجود مقایسه نمودند. همچنین گاریملا و چراردس^۶ [۴۲] اثرات انتقال حرارت بر اثر همرفتی اجباری را به صورت آزمایشگاهی مورد تحلیل قرار دادند. همچنین تحقیقات دیگری نیز بر روی جریان سیال و انتقال حرارت آن در کانال‌های غیر دوار به صورت عددی انجام گرفته است [۴۳-۴۸]. یانگ و وانگ^۷ [۴۹]، ترکیبی از همرفتی آزاد و اجباری را روی یک کانال خمیده دوار با سطح مقطع مربعی انجام دادند. مقادیر عدد ناسلت برای دو پلی اکریلامید مختلف در حالت مغشوش

Frass and Ozisik^۱

Metzner^۲

Skelland^۳

Srivastava and Sarin^۴

Akiyama and Cheng^۵

Garinella and Chdrards^۶

Yang and Wang^۷

توسط تاه و قاجار^۱ [۵۰] به صورت آزمایشگاهی انجام گرفت. پینو و الیرا^۲ [۵۱] نیز بر روی همرفتی اجباری سیال از نوع فن-تین-تنر در لوله‌های خمیده تحقیقاتی را انجام داده‌اند. این تحقیقات به صورت تحلیلی انجام گرفت. هو و پاتانکار^۳ [۵۲] نیز جریان سیال پاور لو را در یک لوله خمیده به صورت عددی حل نموده و نتایج بدست آمده را با نتایج آزمایشگاهی مقایسه کردند. اما در این اواخر، ژانگ^۴ و همکارانش [۵۳] انتقال حرارت همرفتی سیال اولدروید بی در یک لوله خمیده را به صورت تحلیل حل نمودند و نمودارهای مرتبط با اعداد ناسلت و کانتورهای دمایی را رسم کردند. در ادامه این تحقیق، شن^۵ و همکارانش انتقال حرارت سیال اولدروید بی در یک لوله خمیده دوار را نیز بررسی و حل نمودند [۵۴].

شرط مرزی شار ثابت روی دیواره باعث پدید آمدن شرط نیومن در حل می‌گردد و بدین ترتیب بدست آوردن عرض از مبدا و همچنین یکتا بودن جواب نیاز به شرط مرزی دریکله خواهد داشت. اولین بار شاه و لندن^۶ [۵۵] از شرط مرزی دمای ثابت روی دیواره برای یافتن عرض از مبدا جواب استفاده کردند. بدین ترتیب ژانگ و همکارانش [۵۳] نیز برای حل تحلیلی که در مساله سیال اولدروید بی در لوله خمیده ارائه دادند، از همین شرط برای یافتن عرض از مبدا بهره گرفته‌اند. اما آن طور که به نظر می‌آید استفاده توامان دو شرط مرزی شار ثابت و دمای ثابت روی دیواره تنها در حالاتی می‌تواند فرض درستی باشد که جریان سیال در اعداد رینولدز پایین، انحنای لوله کم و ثابت ویسکوزیته پایین مورد بررسی قرار دارد. همچنین شاه و لندن این فرض را برای کانال‌هایی با سطح مقطع غیر دوار در نظر گرفتند. بدین ترتیب و با توجه به توضیحات داده شده، اعمال آن روی کانال‌های دوار و همچنین در موقع سرعت‌های بالا، اعداد رینولدز بالاتر، الاستسیته بیشتر و انحنای بیشتر لوله که در همگی آنها سرعت بیشینه، هر چه بیشتر به سمت دیواره خارجی متمایل می‌گردد، از درجه اعتبار ساقط می‌باشد.

در تحقیق فعلی تلاش شده تا با اصلاح شرط مرزی دما ثابت روی دیواره، بتوان این مساله را مجدداً حل نموده و انتقال حرارت را در لوله حاوی جریان سیال اولدروید بی مورد بررسی و تحلیل قرار داد.

Toh and Ghajar¹
Pinho and Oliveira²
Hsu and Patankar³
Zhang⁴
Shen⁵
Shah and London⁶

همچنین در ادامه تحلیل های انتقال حرارت برای سیال اولدروید، انتقال حرارت در یک لوله حاوی سیال مرتبه دو نیز مورد حل و بررسی قرار گرفت. در حل این جریان، از نتایج تحلیل ارائه شده در همین رساله بهره گرفته شد.

۲-۵) تعریف مساله انتقال حرارت

با صرفنظر نمودن از کار میدان تنش بر انتقال حرارت جریان می‌توان رابطه زیر را برای انتقال حرارت جریان سیال تراکم‌ناپذیر ارائه نمود.

$$\rho C_p \tilde{V} \cdot \nabla \tilde{T} = k \nabla^2 \tilde{T} \quad (1-5)$$

اگر حجم کنترل مناسبی را در نظر بگیریم، می‌توانیم از موازنۀ انرژی حرارتی برای این حجم کنترل به صورت زیر داشته باشیم:

$$\left(\int_p q'' dp \right) d\tilde{s} = \dot{m} c_p d\tilde{T}_m \quad (2-5)$$

در رابطه بالا، p بیانگر محیط لوله و \tilde{T}_m نیز دمای متوسط لوله می‌باشد که به صورت زیر تعریف می‌گردد:

$$\tilde{T}_m = \frac{1}{UA} \int_A w \tilde{T} dA \quad (3-5)$$

اگر محیط لوله ثابت فرض گردد، رابطه (۲-۵) به شکل زیر تغییر خواهد یافت:

$$q'' p d\tilde{s} = \dot{m} c_p d\tilde{T}_m \quad (4-5)$$

با در نظر گرفتن حالت شار ثابت، رابطه (۴-۵) به فرم زیر در خواهد آمد.

$$\frac{dT_m}{d\zeta} = \frac{2Rq''}{\rho U r_o c_p} \quad (5-5)$$

با توجه به تعریف $\delta = \frac{r_0}{R}$ ، رابطه (۵-۵) را به فرم زیر داریم:

$$\frac{dT_m}{d\zeta} = \frac{2q''}{\rho U \delta c_p} \quad (6-5)$$

با توجه به فرض توسعه یافته بودن دما در لوله خمیده داریم:

$$\frac{\partial}{\partial \zeta} \left(\frac{\tilde{T} - \tilde{T}_w}{\tilde{T}_m - \tilde{T}_w} \right) = 0 \quad (7-5)$$

با اعمال مشتق در رابطه بالا داریم:

$$\frac{\partial \tilde{T}}{\partial \zeta} = \frac{d \tilde{T}_w}{d \zeta} + \left(\frac{\tilde{T} - \tilde{T}_w}{\tilde{T}_m - \tilde{T}_w} \right) \frac{d}{d \zeta} \left(\tilde{T}_m - \tilde{T}_w \right) \quad (8-5)$$

همچنین، از رابطه $q'' = h (\tilde{T}_w - \tilde{T}_m)$ به راحتی می‌توان رابطه زیر را بدست آورد:

$$\frac{d \tilde{T}_w}{d \zeta} = \frac{d \tilde{T}_m}{d \zeta} \quad (9-5)$$

بنابراین، با جایگذاری رابطه (9-5) در رابطه (8-5) و با استفاده از رابطه (6-5) داریم:

$$\frac{dT}{ds} = \frac{d\tilde{T}_w}{ds} = \frac{d\tilde{T}_m}{ds} = \frac{2Rq''}{\rho U \delta c_p} \quad (10-5)$$

که در آن $\zeta = \frac{s}{\tilde{R}}$ می‌باشد. رابطه بی بعدسازی دما به صورت زیر در نظر گرفته می‌شود:

$$T = \frac{\tilde{T} - \tilde{T}_m}{q'' r_0 / k} \quad (11-5)$$

لازم به ذکر است که با ضرب طرفین رابطه (11-5) در سرعت محوری و انتگرال‌گیری از آن در سطح مقطع

کانال، رابطه زیر برای متوسط دمای بی بعد حاصل می‌گردد.

$$\int_A (wT) dA = 0 \quad (12-5)$$

رابطه اساسی انرژی در مختصات استوانه‌ای به صورت زیر است:

$$u \frac{\partial T}{\partial r} + \frac{v}{r} \frac{\partial T}{\partial \phi} + \frac{w}{R} \frac{\partial T}{\partial \phi} = \alpha \left[\frac{\partial^2 T}{\partial r^2} + \left(\frac{1}{r} + \frac{\cos(\phi)}{R} \right) \frac{\partial T}{\partial r} + \frac{1}{r^2} \frac{\partial^2 T}{\partial \phi^2} - \frac{\sin(\phi)}{R} \frac{1}{r} \frac{\partial T}{\partial \phi} \right] \quad (13-5)$$

در عبارت بالا، R شعاع اینجا در هر نقطه از لوله بوده و به صورت زیر تعریف می‌گردد:

$$R = \tilde{R} + r \cos(\phi) \quad (14-5)$$

با قرار دادن روابط معادل در معادله اصلی (13-5)، معادله بی بعد شده انرژی در مختصات ترویدال را به صورت

زیر خواهیم داشت:

$$-\frac{1}{rB} \frac{\partial \psi}{\partial \phi} \frac{\partial T}{\partial r} + \frac{1}{rB} \frac{\partial \psi}{\partial r} \frac{\partial T}{\partial \phi} + \frac{2w}{\text{Pr} \text{Re}_b B} = \frac{1}{\text{Pr} \text{Re}} \left(\frac{\partial^2 T}{\partial r^2} + \frac{1}{r^2} \frac{\partial^2 T}{\partial \phi^2} + \left(\frac{1}{r} + \frac{\delta \cos(\phi)}{B} \right) \frac{\partial T}{\partial r} - \frac{\delta \sin(\phi)}{B} \frac{1}{r} \frac{\partial T}{\partial \phi} \right) \quad (15-5)$$

Re_b نمایانگر عدد رینولدز بالک می‌باشد که به صورت زیر تعریف می‌گردد:

$$\text{Re}_b = \frac{\text{Re}}{2} (1 + \delta^2 \Gamma) \quad (16-5)$$

مقدار Γ برای سیال‌های مختلف، متفاوت می‌باشد که در ادامه به آن اشاره خواهد شد.

با توجه به بی‌بعد سازی مساله به صورت ارائه شده در رابطه (۱۱-۵)، می‌توان یکی از شرایط مرزی را به صورت زیر استخراج کرد:

$$\frac{\partial T}{\partial r} = 1 \quad (17-5)$$

با توجه به اینکه تنها شرط مرزی مساله، از نوع نیومن می‌باشد، این شرط به تنها یافتن جواب یکتا برای معادله اصلی نخواهد بود و تنها با اتکا به این شرط مرزی نمی‌توان عرض از مبدا را به درستی تعیین نمود. به این ترتیب باید به دنبال شرط مرزی مناسب دیگری باشیم که هم بتواند پاسخگوی نیاز ما بوده و هم از نظر علمی دارای ارزش باشد.

در حل ارائه شده توسط ژانگ و همکارانش [۵۳]، شرط مرزی دوم به صورت دمای ثابت روی دیواره در نظر گرفته شده است که با توجه به فیزیک مساله، به نظر می‌رسد که این فرض دارای اشکالات اساسی می‌باشد. در حالی که شرط مرزی شار ثابت روی دیواره اعمال می‌گردد، در نظر گرفتن دمای ثابت روی دیواره به نظر ناممکن می‌آید. به همین منظور و برای یافتن جواب مناسب، باید به سراغ معادله دیگری رفت که بتوان عرض از مبدا جواب را از طریق آن محاسبه نمود. به همین دلیل، مناسب‌ترن گزینه، رابطه (۱۲-۵) می‌باشد. با اعمال این رابطه بر روی هر یک از اجزای سری حساب اختلالات می‌توان عرض از مبدا مناسب را نیز یافت.

در این بخش، اقدام به حل معادله (۱۵-۵) و محاسبه ترم‌های دمایی آن خواهیم پرداخت. برای این منظور دو سیال اولدر وید بی و مرتبه دو مد نظر قرار گرفته شده‌اند که مراحل به دست آوردن آنها به شرح زیر می‌باشد.

۳-۵) حل به روش حساب اختلالات

ترم‌های سرعت این سیال به تفصیل در مقاله رابرتسون و مولر ارائه شده است. اما در این تحقیق به یافتن ترم‌های دما برای جریان سیال اولدروید بی در لوله خمیده خواهیم پرداخت. به همین منظور، در ابتدا دما را برای یک جریان توسعه یافته دمایی به صورت زیر در نظر می‌گیریم:

$$T = \sum_{n=0}^2 \delta^n T^{(n)}(r, \phi), \quad (18-5)$$

از آنجاییکه معادله بدست آمده برای ترم‌های دما، باید رابطه (۱۲-۵) را ارضا نمایند، می‌توان برای بدست آوردن عرض از مبدأ جواب، از همین رابطه بهره برد. اما با توجه به اینکه معادله اصلی انتقال حرارت، همگن و شرط مرزی آن در رابطه (۱۷-۵)، غیر همگن می‌باشد، با استفاده از تغییر متغیر مناسب، این شرط مرزی را به گونه‌ای همگن تبدیل می‌نماییم که این تغییر متغیر به صورت زیر می‌باشد:

$$T = T^* + r, \quad (19-5)$$

با استفاده از روابط (۱۸-۵) و (۱۹-۵) اجزای دمایی در سری حساب اختلالات به صورت زیر خواهد بود

$$\begin{aligned} T^{(0)} &= T^{*(0)} + r, \\ T^{(1)} &= T^{*(1)}, \\ T^{(2)} &= T^{*(2)}. \end{aligned} \quad (20-5)$$

با توجه به روابط بالا، شرط مرزی جدید به صورت زیر تعریف می‌گردد

$$\frac{\partial T^{*(n)}}{\partial r} = 0, \quad (21-5)$$

با قرار دادن رابطه (۱۹-۵) در رابطه (۱۲-۵)، روابط دیگری بدست خواهند آمد که هر کدام از اجزای سری دمای حساب اختلالات باید آنها را ارضا نمایند.

$$\int_A w^{(0)} \left(T^{*(0)} + r \right) dA = 0, \quad (22-5)$$

$$\int_A \left(w^{(0)} T^{*(1)} + w^{(1)} \left(T^{*(0)} + r \right) \right) dA = 0, \quad (22-5)$$

$$\int_A \left(w^{(0)} T^{*(2)} + w^{(1)} T^{*(1)} + w^{(2)} \left(T^{*(0)} + r \right) \right) dA = 0. \quad (22-5)$$

۱-۳-۵ محاسبات دما برای سیال اولدروید بی

قبل از حل باید توجه داشت که مقدار رینولدز بالک و رابطه معادل آن طبق محاسبات زیر به دست خواهد آمد.

همانطور که در حل رابرتسون و مولر [۲۹] اشاره شده، داریم:

$$Q_c = Q_s \left(1 + \delta^2 \Gamma_{Oldroyd} \right) \quad (23-5)$$

که مقدار ثابتی بوده و برابر است با:

$$\Gamma_{Oldroyd} = \frac{1}{48} \left(1 - Re^2 \left(\frac{11}{360} + \frac{1541}{87091200} Re^2 \right) + \frac{8}{3} We^2 \left(\frac{\eta_p}{\eta} \right)^2 \left(1 - \frac{1}{15} We^2 \frac{\eta_p}{\eta} \left(3 - 2 \frac{\eta_p}{\eta} \right) \right) + \frac{1}{26880} We Re \frac{\eta_p}{\eta} \left(Re^2 + 5376 \right) - \frac{1}{60480} We^2 Re^2 \frac{\eta_p}{\eta} \left(792 - 691 \frac{\eta_p}{\eta} \right) \right) \quad (24-5)$$

با تقسیم رابطه (۲۳-۵) بر سطح مقطع لوله داریم:

$$U_c = U_s \left(1 + \delta^2 \Gamma_{Oldroyd} \right) \quad (25-5)$$

با ضرب عبارت بالا در قطر لوله و تقسیم آن بر ویسکوزیته سینماتیکی داریم:

$$Re_{bc} = Re_{bs} \left(1 + \delta^2 \Gamma_{Oldroyd} \right) \quad (26-5)$$

همچنین میان اعداد رینولدز بالک لوله‌های خمیده و مستقیم، رابطه زیر برقرار است:

$$Re_{bc} = 2 Re_{bs} \quad (27-5)$$

با قرار دادن رابطه (۲۷-۵) در رابطه (۲۶-۵)، رینولدز بالک را به صورت زیر خواهیم داشت:

$$Re_{bc} = \frac{Re}{2} \left(1 + \delta^2 \Gamma_{Oldroyd} \right) \quad (28-5)$$

۱-۱-۳-۵ حل مرتبه δ^0

پس از قرار دادن رابطه (۱۸-۵) در معادله اصلی بی بعد شده انرژی و با مرتب کردن ضرایب δ^0 خواهیم داشت:

$$\nabla^2 T^{(0)} = 4w^{(0)} \quad (29-5)$$

با توجه به مقدار $w^{(0)} = 1 - r^2$ و حل معادله (۲۹-۵) با توجه به شرایط مرزی ارائه شده داریم:

$$T^{(0)} = -\frac{1}{4}r^4 + r^2 - \frac{7}{24} \quad (30-5)$$

برای اطمینان از صحت حل ارائه شده به محاسبه مقدار عدد ناسلت خواهیم پرداخت. با توجه به اینکه برای یک لوله صاف (نه خمیده) مقدار δ^0 برابر صفر می باشد، می توان برای تخمین مقدار دما از همین ترم $T^{(0)}$ استفاده کرد. به این ترتیب، به محاسبه مقدار عدد ناسلت موضعی خواهیم پرداخت. عبارت مناسب برای محاسبه عدد ناسلت موضعی به صورت زیر خواهد بود.

از رابطه دمای بی بعد شده در (۱۱-۵) داریم:

$$T_w = \frac{\tilde{T}_w - \tilde{T}_m}{q'' r_0 / k} \quad (31-5)$$

که T_w دمای بی بعد شده بر روی سطح لوله می باشد. با توجه به رابطه $q'' = h (\tilde{T}_w - \tilde{T}_m)$ می توان معادله زیر را استخراج کرد:

$$T_w = \frac{k}{r_0 h} \quad (32-5)$$

با قرار دادن قطر به جای شعاع لوله در رابطه فوق می توان رابطه مناسبی برای ناسلت موضعی بدست آورد که به صورت زیر می باشد:

$$Nu_0 = \frac{2}{T_w} \quad (33-5)$$

با محاسبه عبارت بالا، برای حل ارائه شده، مقدار عدد ناسلت موضعی برابر خواهد بود با:

$$Nu_0 = \frac{48}{11} \approx 4.3636 \quad (34-5)$$

که این عبارت با مقدار ناسلت ارائه شده توسط کیز و کرافورد^۱ [۵۶] برای لوله صاف کاملاً مطابقت دارد.

با کسب اطمینان از درستی حل ارائه شده، به محاسبه ترم های مرتبه بالاتر دمایی پرداخته خواهد شد.

۳-۱-۳-۵) حل مرتبه δ^1

با مرتب کردن ضرایب δ^1 در معادله اصلی بی بعد شده انرژی خواهیم داشت:

$$\begin{aligned} & \left(-r \frac{\partial^2 T^{(0)}}{\partial \phi^2} - 2r^2 \frac{\partial T^{(0)}}{\partial r} - r^3 \frac{\partial^2 T^{(0)}}{\partial r^2} - 2r^2 \right) \cos(\phi) - r \frac{\partial T^{(1)}}{\partial r} - r \operatorname{Pr} \operatorname{Re} \frac{\partial \psi^{(1)}}{\partial \phi} - r^2 \frac{\partial^2 T^{(1)}}{\partial r^2} \\ & + r \sin(\phi) \frac{\partial T^{(0)}}{\partial \phi} - \frac{\partial^2 T^{(1)}}{\partial \phi^2} + 4r^2 w^{(1)} + r \operatorname{Pr} \operatorname{Re} \left(\frac{\partial \psi^{(1)}}{\partial r} \frac{\partial T^{(0)}}{\partial \phi} - \frac{\partial \psi^{(1)}}{\partial \phi} \frac{\partial T^{(0)}}{\partial r} \right) = 0, \end{aligned} \quad (35-5)$$

با قرار دادن مقادیر معادل $T^{(1)} = f_1(r) \cos(\phi)$ و $w^{(1)} = \psi^{(1)}$ در عبارت بالا و همچنین فرض $T^{(0)}$ و اعمال

شرایط مرزی، خواهیم داشت:

$$\begin{aligned} f_1(r) = & We^2 \left(\frac{\eta_p}{\eta} \right)^2 \left(\frac{1}{72} r^7 - \frac{1}{18} r^5 + \frac{1}{12} r^3 - \frac{5}{72} r \right) \\ & + We \frac{\eta_p}{\eta} \left[\begin{aligned} & \left(-\left(\frac{1}{1920} \operatorname{Re} \frac{1}{960} \operatorname{Re} \operatorname{Pr} \right) r^9 + \left(\frac{1}{144} \operatorname{Re} \operatorname{Pr} + \frac{1}{216} \operatorname{Re} \right) r^7 - \left(\frac{1}{72} \operatorname{Re} + \frac{5}{288} \operatorname{Re} \operatorname{Pr} \right) r^5 \right) \\ & + \left(\frac{11}{576} \operatorname{Re} + \frac{1}{48} \operatorname{Re} \operatorname{Pr} \right) r^3 - \left(\frac{269}{17280} \operatorname{Re} + \frac{43}{2880} \operatorname{Re} \operatorname{Pr} \right) r \end{aligned} \right] \\ & + \operatorname{Re}^2 \left[\begin{aligned} & \frac{1}{345600} r^{11} - \frac{1}{2880} r^9 \operatorname{Pr} - \frac{161}{69120} r^7 \operatorname{Pr} + \frac{1}{34560} r^{11} \operatorname{Pr} + \frac{7}{4608} r^7 \operatorname{Pr} + \frac{1}{288} r^3 \operatorname{Pr} \\ & - \frac{11}{3456} r^5 \operatorname{Pr} + \frac{1}{4608} r^7 - \frac{1}{1728} r^5 + \frac{19}{23040} r^3 - \frac{1}{23040} r^9 - \frac{1}{1350} r \\ & + \frac{1}{3} r^5 - \frac{9}{8} r^3 + \frac{41}{24} r \end{aligned} \right] \end{aligned} \quad (36-5)$$

۳-۱-۳-۵) حل مرتبه δ^2

به طریقی مشابه، حل مساله برای مراتب بالاتر دما، ادامه پیدا خواهد کرد. با مرتب کردن ضرایب δ^2 در معادله اصلی بی بعد شده انرژی، معادله زیر بدست خواهد آمد:

$$\begin{aligned} & \left(-r \frac{\partial^2 T^{(1)}}{\partial \phi^2} - 2r^2 \frac{\partial T^{(1)}}{\partial r} - r^3 \frac{\partial^2 T^{(1)}}{\partial r^2} \right) \cos(\phi) - r^2 \frac{\partial^2 T^{(2)}}{\partial r^2} - r^2 \Gamma_{Oldroyd} \frac{\partial^2 T^{(0)}}{\partial r^2} \\ & + r \Pr \operatorname{Re} \left(\frac{\partial \psi^{(1)}}{\partial r} \frac{\partial T^{(1)}}{\partial \phi} - \frac{\partial \psi^{(1)}}{\partial \phi} \frac{\partial T^{(1)}}{\partial r} + \frac{\partial \psi^{(2)}}{\partial r} \frac{\partial T^{(0)}}{\partial \phi} - \frac{\partial \psi^{(2)}}{\partial \phi} \frac{\partial T^{(0)}}{\partial r} - \frac{\partial \psi^{(2)}}{\partial \phi} \right) \\ & + r \sin(\phi) \frac{\partial T^{(1)}}{\partial \phi} + 4r^2 w^{(2)} - r \Gamma_{Oldroyd} \frac{\partial T^{(0)}}{\partial r} - r \frac{\partial T^{(2)}}{\partial r} - \frac{\partial^2 T^{(2)}}{\partial \phi^2} - \Gamma_{Oldroyd} \frac{\partial^2 T^{(0)}}{\partial \phi^2} = 0, \end{aligned} \quad (37-5)$$

که مقدار $\Gamma_{Oldroyd}$ در رابطه (۲۴-۵) بیان گردیده است. رابطه مناسب برای ترم دمای مرتبه دوم به صورت زیر

می باشد:

$$T^{(2)} = f_{20}(r) + f_{22}(r) \cos(2\phi) \quad (38-5)$$

عبارات معادل $f_{20}(r)$ و $f_{22}(r)$ در ضمیمه به صورت کامل ارائه شده اند.

۲-۳-۵) محاسبه ناسلت متوسط

با استفاده از روابط، می توان رابطه مناسبی برای یافتن مقدار ناسلت متوسط یافت که به صورت زیر می باشد:

$$\overline{Nu} = \frac{1}{\pi} \int_0^{2\pi} \left(\frac{1}{T_w} \right) d\phi \quad (39-5)$$

که در آن T_w دمای جداره لوله می باشد. معیاری از افزایش مقدار عدد ناسلت در لوله خمیده در مقایسه با مقدار عدد ناسلت در لوله صاف، به صورت زیر تعریف می گردد:

$$Nu_r = \frac{\overline{Nu} - \overline{Nu}_0}{\overline{Nu}_0} \quad (40-5)$$

که \overline{Nu}_r ، ناسلت متوسط موضعی در لوله صاف بوده و مقدار آن در رابطه (۳۴-۵) قید گردیده است. Nu_r نیز ناسلت کاهیده نام دارد.

۳-۳-۵) محاسبات دما برای سیال مرتبه دو

فرآیند یافتن دمای جریان یک سیال مرتبه دو در یک لوله خمیده مشابه حل ارائه شده برای سیال اولدروید است.

قبل از حل باید توجه داشت که مقدار رینولدز بالک، در سیال مرتبه دو نیز به مانند سیال اولدروید بی بdst می‌آید. با توجه به رابطه بدست آمده برای دبی جریان سیال مرتبه دو در یک لوله خمیده که در همین رساله ارائه شده است، داریم:

$$Q_c = Q_s \left(1 + \delta^2 \Gamma_{SOF} \right) \quad (41-5)$$

که Γ_{SOF} مقدار ثابتی بوده و برابر است با:

$$\Gamma_{SOF} = \frac{1}{48} \left(1 - \frac{11}{360} Re^2 - \frac{1541}{87091200} Re^4 + \left(\frac{1}{26880} Re^3 + \frac{1}{5} Re \right) We \right. \\ \left. + \left(\frac{8}{3} + \frac{691}{60480} Re^2 \right) We^2 + \left(\frac{11}{90} Re \right) We^3 + \left(\frac{48}{135} \right) We^4 \right) \quad (42-5)$$

به این ترتیب و مطابق مراحل ارائه شده در سیال اولدروید، برای سیال مرتبه دو در یک لوله خمیده، رابطه رینولدز بالک را به صورت زیر خواهیم داشت:

$$Re_{bc} = \frac{Re}{2} \left(1 + \delta^2 \Gamma_{SOF} \right) \quad (43-5)$$

ترم‌های سرعت این سیال در بخش مربوط به بررسی جریان سیال به تفصیل مورد بررسی قرار گرفته است. اما در ادامه این تحقیق به یافتن ترم‌های دما برای جریان سیال مرتبه دو در لوله خمیده خواهیم پرداخت. به همین منظور، در ابتدا دما را برای یک جریان توسعه یافته دمایی به صورت زیر در نظر می‌گیریم:

$$T = \sum_{n=0}^2 \delta^n T^{(n)}(r, \phi), \quad (44-5)$$

۱-۳-۳-۵ حل مرتبه δ^0

با توجه به تشابه معادلات متشکله برای این دو سیال و تشابه ضرایب δ^0 در هر دو معادله، مقدار $T^{(0)}$ در سیال مرتبه دو، کاملاً مشابه مقدار معادل آن برای سیال ماکسول فوق همرفتی می‌باشد که به صورت زیر است

$$T^{(0)} = -\frac{1}{4} r^4 + r^2 - \frac{7}{24} \quad (45-5)$$

۲-۳-۳-۵ حل مرتبه δ^1

حال به محاسبه ترم‌های با مرتبه بالاتر دمایی پرداخته می‌شود. با مرتب کردن ضرایب δ^1 در معادله اصلی بی بعد شده انرژی، باز هم رابطه‌ای مشابه رابطه ارائه شده در حل سیال اولدروید-بی بدست خواهد آمد. با قرار دادن

مقادیر معادل $T^{(1)} = f_1(r) \cos(\phi)$ و $w^{(1)}$ در عبارت بالا و همچنین فرض $\psi^{(1)}$ و اعمال شرایط مرزی، به صورت زیر خواهد بود:

$$\begin{aligned} f_1(r) = & \left(\frac{1}{345600} Re^2 + \frac{1}{34560} Re^2 Pr \right) r^{11} \\ & - \left(\frac{1}{960} Re Pr We + \frac{1}{23040} Re^2 + \frac{1}{2880} Re^2 Pr + \frac{1}{1920} Pr We \right) r^9 \\ & + \left(\frac{1}{72} We^2 + \frac{7}{4608} Re^2 Pr + \frac{1}{216} Re We + \frac{1}{4608} Re^2 + \frac{1}{144} Re Pr We \right) r^7 \\ & - \left(\frac{1}{1728} Re^2 + \frac{1}{72} Re We + \frac{5}{288} Re Pr We - \frac{1}{3} + \frac{1}{18} We^2 + \frac{11}{3456} Re^2 Pr \right) r^5 \\ & + \left(\frac{1}{48} Re Pr We + \frac{11}{576} Re We + \frac{1}{288} Re^2 Pr - \frac{9}{8} + \frac{19}{23040} Re^2 + \frac{1}{12} We^2 \right) r^3 \\ & - \left(\frac{43}{2880} Re Pr We - \frac{41}{24} + \frac{269}{17280} Re We + \frac{161}{69120} Re^2 Pr + \frac{1}{1350} Re^2 + \frac{5}{72} We^2 \right) r \end{aligned} \quad (46-5)$$

δ^2 حل مرتبه ۳-۳-۳-۵

به طریقی مشابه حل مساله، برای مراتب بالاتر دما ادامه داده خواهد شد. با مرتب کردن ضرایب δ^2 در معادله

اصلی بی بعد شده انرژی رابطه زیر بدست خواهد آمد:

$$\begin{aligned} & \left(-r \frac{\partial^2 T^{(1)}}{\partial \phi^2} - 2r^2 \frac{\partial T^{(1)}}{\partial r} - r^3 \frac{\partial^2 T^{(1)}}{\partial r^2} \right) \cos(\phi) - r^2 \frac{\partial^2 T^{(2)}}{\partial r^2} - r^2 \Gamma_{SOF} \frac{\partial^2 T^{(0)}}{\partial r^2} \\ & + r \operatorname{Pr} \operatorname{Re} \left(\frac{\partial \psi^{(1)}}{\partial r} \frac{\partial T^{(1)}}{\partial \phi} - \frac{\partial \psi^{(1)}}{\partial \phi} \frac{\partial T^{(1)}}{\partial r} + \frac{\partial \psi^{(2)}}{\partial r} \frac{\partial T^{(0)}}{\partial \phi} - \frac{\partial \psi^{(2)}}{\partial \phi} \frac{\partial T^{(0)}}{\partial r} - \frac{\partial \psi^{(2)}}{\partial \phi} \right) \quad (47-5) \\ & + r \sin(\phi) \frac{\partial T^{(1)}}{\partial \phi} + 4r^2 w^{(2)} - r \Gamma_{SOF} \frac{\partial T^{(0)}}{\partial r} - r \frac{\partial T^{(2)}}{\partial r} - \frac{\partial^2 T^{(2)}}{\partial \phi^2} - \Gamma_{SOF} \frac{\partial^2 T^{(0)}}{\partial \phi^2} = 0, \end{aligned}$$

که مقدار Γ_{SOF} در رابطه (42-5) بیان گردیده است. رابطه مناسب برای ترم دمای مرتبه دوم به صورت زیر می باشد:

$$T^{(2)} = f_{20}(r) + f_{22}(r) \cos(2\phi) \quad (48-5)$$

عبارات معادل $f_{20}(r)$ و $f_{22}(r)$ در ضمیمه به صورت کامل ارائه شده اند.

رابطه مناسب برای عدد ناسلت سیال مرتبه دو همانند رابطه ارائه شده در (39-5) می باشد.

فصل ششم

نتایج بدست آمده از تحلیل انتقال حرارت

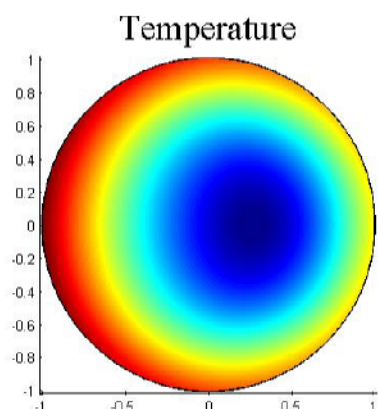
سیال ویسکوالاستیک مدل اولدروید-بی

در یک لوله خمیده

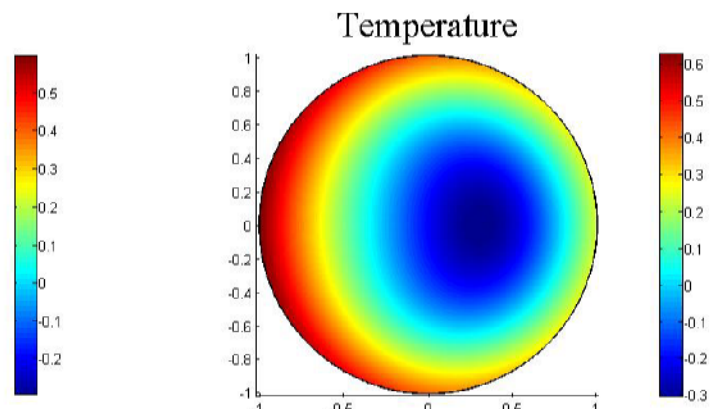
در این بخش، به ارائه و بررسی نتایج بدست آمده از حل انتقال حرارت سیالات ویسکوالاستیک پرداخته می‌شود. مهم‌ترین پارامترهای مدنظر در این مرحله، اعداد بی بعد رینولدز و پرانتل می‌باشند که نقش عمداتی در انتقال حرارت سیال ویسکوالاستیک در لوله خمیده دارند. همچنین با کاهش مقدار رینولدز، می‌توان حالت جریان خزشی را شبیه‌سازی کرد که در ادامه بحث ارائه شده است. همچنین با رسم دیاگرام‌های مربوط به عدد ناسلت، می‌توان اثرات مربوط به اعداد رینولدز و وایزنبرگ را روی تغییرات ناسلت مشاهده کرد.

شکل ۶-۱ نمایانگر تغییرات پروفیل دمای یک سیال مدل اولدروید-بی با تغییرات عدد پرانتل می‌باشد. طبق شکل، مقدار دمای بیشینه به سمت دیواره خارجی متغیر می‌گردد.

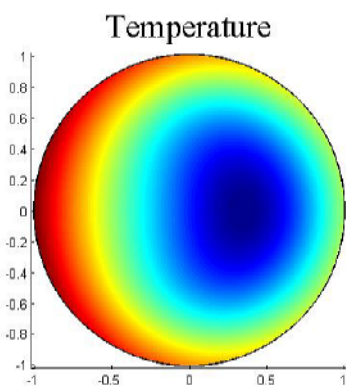
سیال اولدروید-بی ($\text{Pr} = 0.7$)



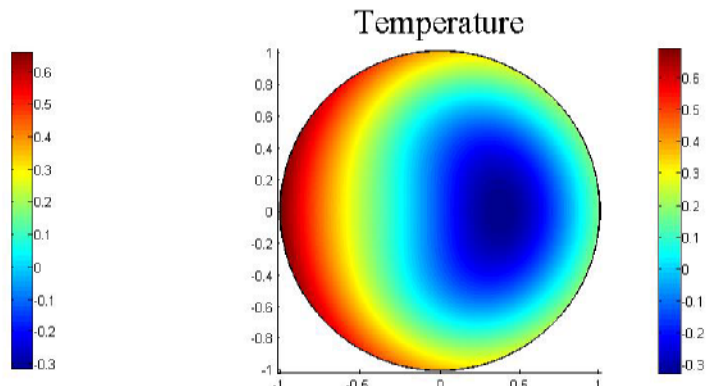
سیال اولدروید-بی ($\text{Pr} = 0.85$)



سیال اولدروید-بی ($\text{Pr} = 1$)



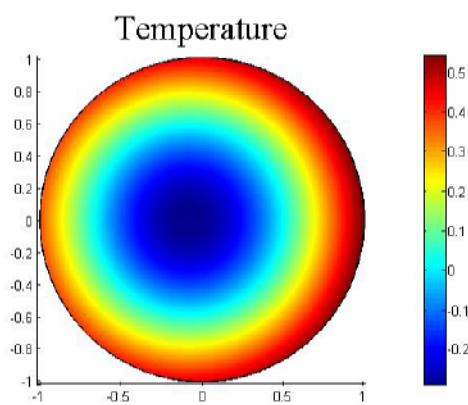
سیال اولدروید-بی ($\text{Pr} = 1.15$)



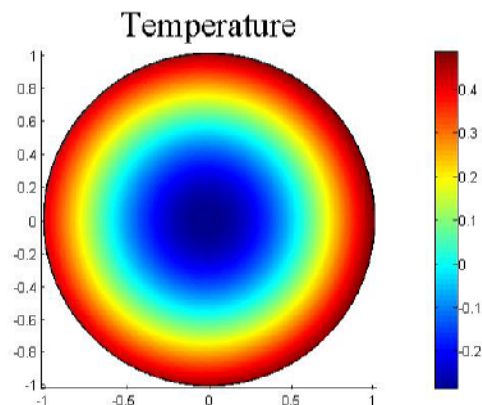
شکل ۶-۱. اثر افزایش پرانتل روی انقال حرارت در حالت $\frac{\eta_p}{\eta} = 0.2$ و $\delta = 0.1$ $We = 3$ ، $Re = 50$

شکل ۶-۶ نیز تغییرات پروفیل دمای سیال اولدروید-بی را بر حسب عدد رینولذ نمایش می‌دهد. با توجه به شکل، می‌توان دریافت که در اعداد رینولذ پایین که جریان به حالت جریان خوشی شبیه است، مقدار بیشینه دما، متمایل به دیواره داخلی می‌باشد و یا به عبارتی دیگر X_{\max} مقداری منفی به خود می‌گیرد. اما با افزایش عدد رینولذ و تبدیل جریان به حالت اینرسی و کشش پروفیل سرعت به سمت دیواره خارجی، بیشینه دمایی نیز به سمت دیواره خارجی متمایل می‌گردد.

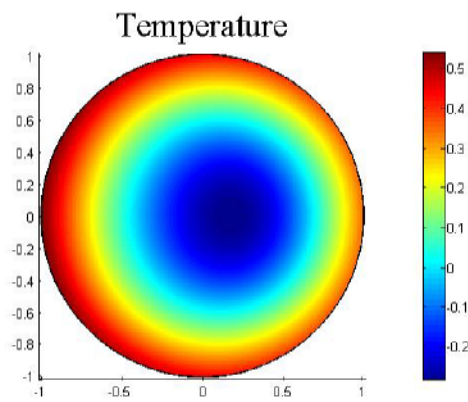
سیال اولدروید-بی ($Re = 0$)



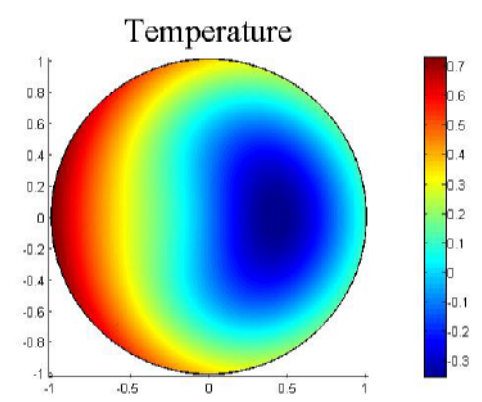
سیال اولدروید-بی ($Re = 20$)



سیال اولدروید-بی ($Re = 40$)



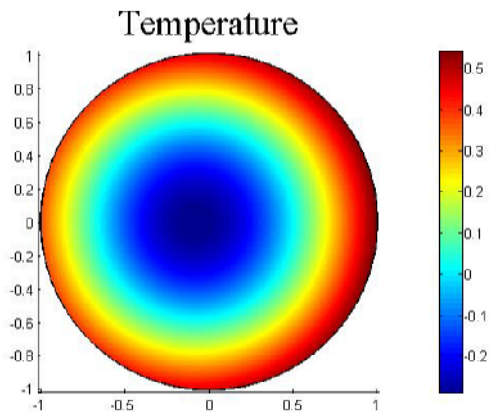
سیال اولدروید-بی ($Re = 60$)



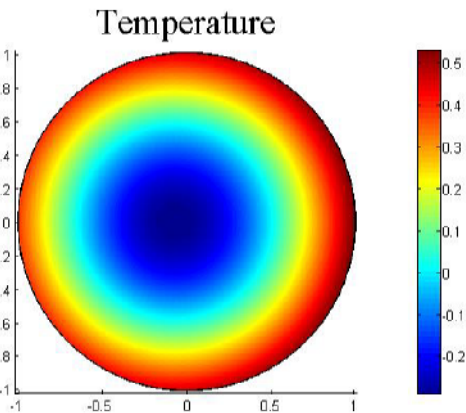
شکل ۶-۶. اثر افزایش عدد رینولذ روی انتقال حرارت در حالت $\frac{\eta_p}{\eta} = 0.2$ و $\delta = 0.1$ ، $We = 3$ ، $Pr = 0.85$

در شکل ۶-۳، می‌توان اثر افزایش عدد واizenberg در دو عدد رینولدز متفاوت را مشاهده نمود. در قسمت اول عدد رینولدز روی عدد ۵ ثابت شده است و عدد واizenberg از $We = 0$ که معادل سیال نیوتونی است تا $We = 3$ افزایش یافت. نتیجه بدست آمده از این پروفیل این است که افزایش عدد واizenberg در زمانی که جریان حالت خوشی دارد، تغییر چندانی در انتقال بیشینه دمای سیال ایجاد نمی‌کند. اما از قسمت دوم این شکل در $Re = 50$ می‌توان نتیجه گرفت در حالت جریان دارای اینرسی، جابجایی بیشینه مقدار دمای سیال اولدروید-بی در یک لوله خمیده به سمت دیواره بیرونی، قابل توجه است. با بررسی کلی این شکل‌ها نیز می‌توان به این نتیجه رسید که در اعداد رینولدز پایین، مقدار سرعت بیشینه، متمایل به دیواره بیرونی است و یا به عبارتی دیگر، X_{max} منفی است.

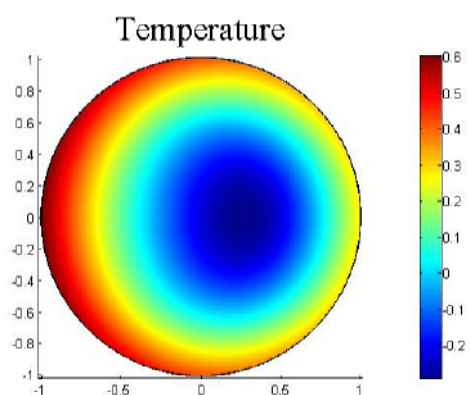
سیال نیوتونی ($We = 0$ و $Re = 5$)



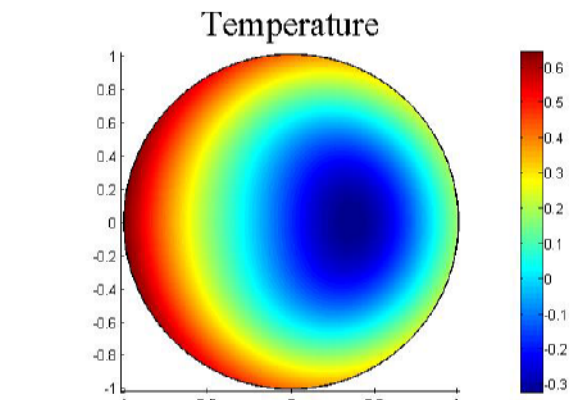
سیال اولدروید-بی ($We = 3$ و $Re = 5$)



سیال نیوتونی ($We = 0$ و $Re = 50$)



سیال اولدروید-بی ($We = 3$ و $Re = 50$)

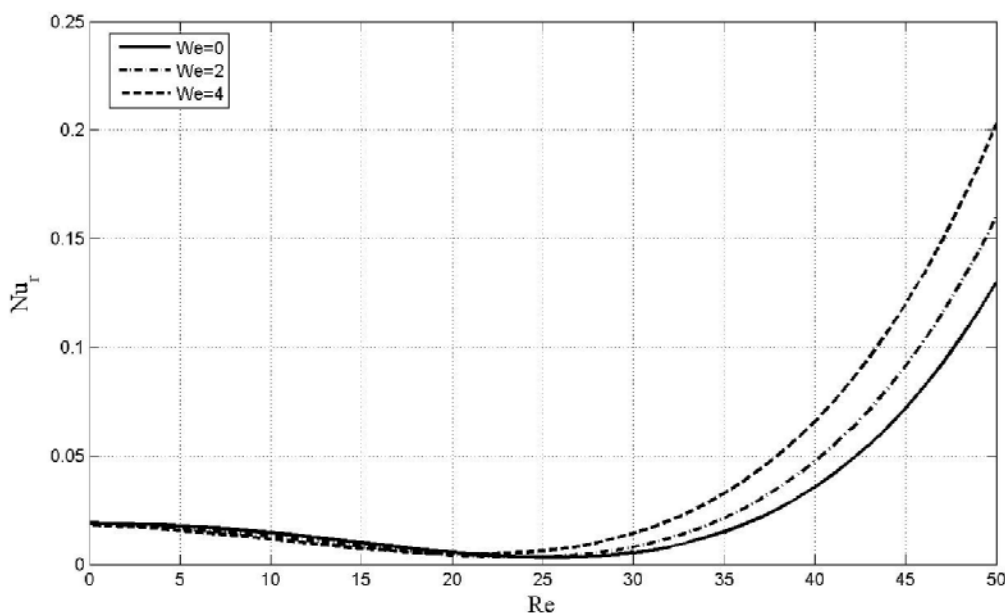


شکل ۳-۶. اثر افزایش عدد واizenبرگ روی انتقال حرارت در حالت $\frac{\eta_p}{\eta} = 0.2$ ، $\delta = 0.1$ ، $We = 3$ ، $Pr = 0.85$ و $Re = 50$

به این ترتیب و با توجه به شکل های ۲-۶ و ۳-۶ می توان دریافت که اثرات اعداد واizenبرگ و رینولدز مشابه هم می باشد و هر دو در انتقال نقطه بیشینه دمایی سیال به سمت دیواره بیرونی، یکسان عمل می کنند.

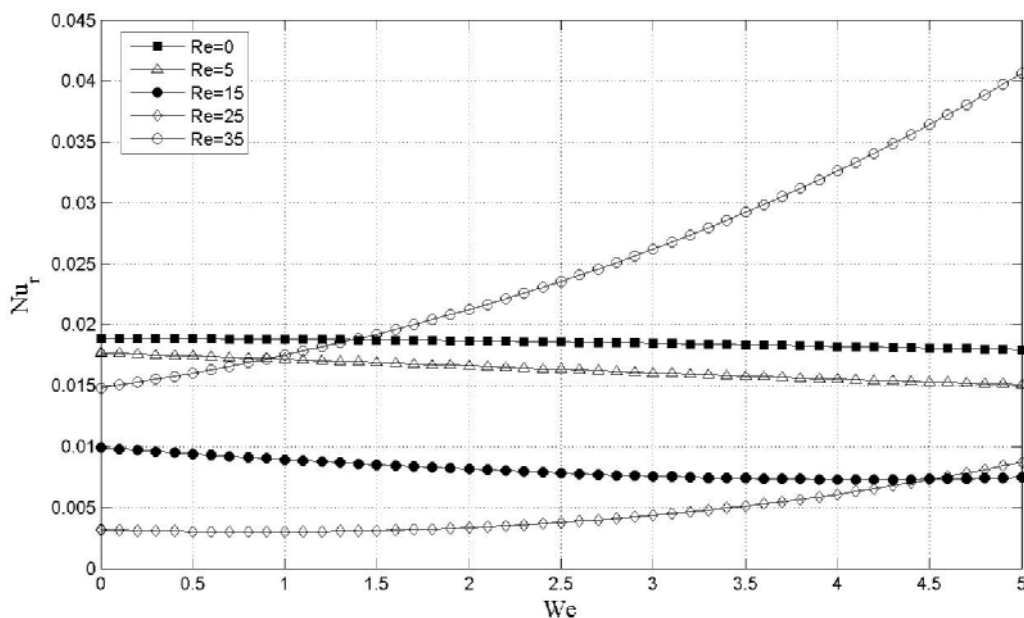
در ادامه دیاگرام‌های مرتبط با عدد ناسلت، برای نمایش هرچه بهتر اثرات اعداد بی بعد وایزنبُرگ و رینولذ روی مقدار ناسلت کاهیده رسم گردیده است.

شکل ۶-۶، تغییرات ناسلت کاهیده را در مقایسه با عدد رینولذ و برای اعداد وایزنبُرگ مختلف نمایش می‌دهد. همانگونه که از شکل برمی‌آید، افزایش عدد رینولذ برای هر سه مقدار $We = 0$ (سیال نیوتونی)، $We = 2$ و $We = 4$ روند مشابهی را خواهد داشت. در اعداد رینولذ پایین، که جریان، بیشتر حالت خرش دارد، افزایش عدد رینولذ با کاهش مقدار ناسلت کاهیده مواجه خواهد شد. اما این روند در جریان‌های دارای اینرسی معکوس می‌گردد. به نظر می‌آید که این مقدار کمینه در بازه‌ی بین اعداد رینولذ ۲۰ و ۲۵ رخ می‌دهد.



شکل ۶-۶. تغییرات ناسلت کاهیده سیال اولدروید-بی نسبت به عدد رینولذ در اعداد وایزنبُرگ مختلف

شکل ۶-۵، تغییرات ناسلت کاهیده را در مقایسه با عدد واizenبرگ و برای اعداد رینولدز مختلف نمایش می‌دهد. روند موجود در نمودار یک روند نامنظم به نظر می‌آید. در اعداد رینولدز پایین، رابطه معکوسی بین عدد واizenبرگ و مقدار ناسلت کاهیده وجود دارد. یعنی با افزایش مقدار عدد واizenبرگ، روند ناسلت کاهیده، کاهشی است. اما با افزایش مقدار عدد رینولدز، این روند افزایشی خواهد شد.



شکل ۶-۶. تغییرات ناسلت کاهیده سیال اولدروید-بی نسبت به عدد واizenبرگ در اعداد رینولدز مختلف

فصل هفتم

نتایج بدست آمده از تحلیل انتقال حرارت

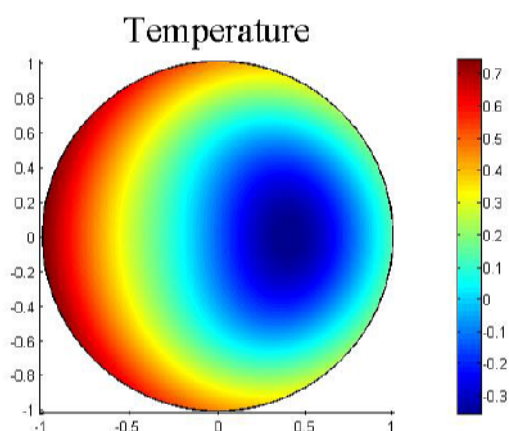
سیال ویسکوالاستیک مدل مرتبه دو

در یک لوله خمیده

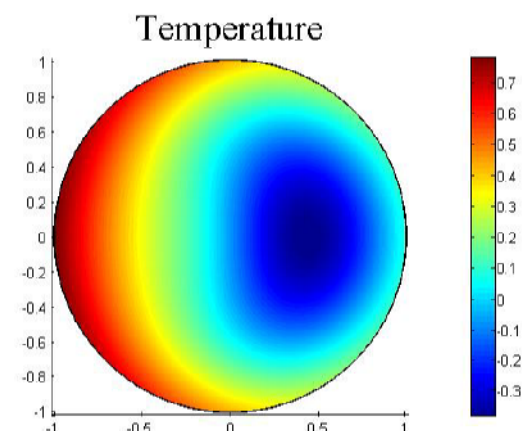
در این بخش، نتایج بدست آمده از حل انتقال حرارت سیال ویسکوالاستیک مدل مرتبه دو مورد بررسی قرار خواهد گرفت. همانند بخش قبل، مهمترین پارامترهای مدنظر در این مرحله، اعداد بی بعد رینولدز و پرانتل می‌باشند که در این قسمت به بررسی اثرات آنها روی پروفیل انتقال حرارت خواهیم پرداخت. البته نتایجی که برای سیال مرتبه دو بدست می‌آید نیز به طور عمومی مشابه سیال اولدروید-بی می‌باشد. اما به دلیل اینکه عدد واizenبرگ در سیال مدل مرتبه دو از جنس رهایی از تغییر شکل می‌باشد، تنها اثرات این زمان در پروفیل‌های انتقال حرارتی مورد بررسی قرار می‌گیرد.

شکل ۷-۱ نمایانگر تغییرات پروفیل دمای یک سیال مدل مرتبه دو با تغییرات عدد پرانتل می‌باشد. همانگونه که از شکل برمی‌آید، با افزایش عدد پرانتل، مقدار بیشینه دمایی به سمت دیواره خارجی کشیده می‌شود. افزایش مقدار بیشینه دما نیز از دیگر پدیده‌هایی است که از افزایش عدد پرانتل ناشی می‌شود، هر چند که این افزایش بسیار ناچیز است.

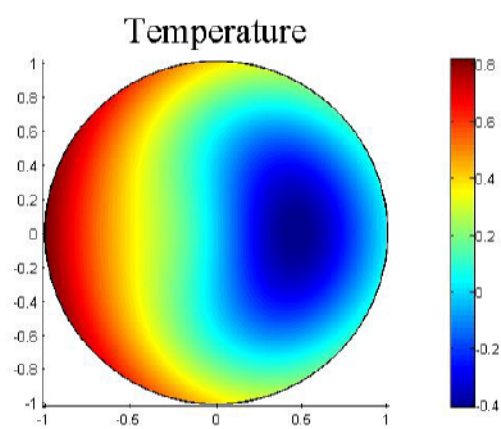
سیال مرتبه دو ($\text{Pr} = 0.7$)



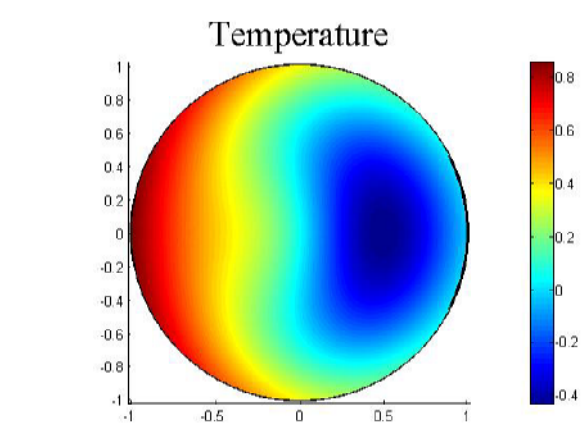
سیال مرتبه دو ($\text{Pr} = 0.85$)



سیال مرتبه دو ($\text{Pr} = 1$)



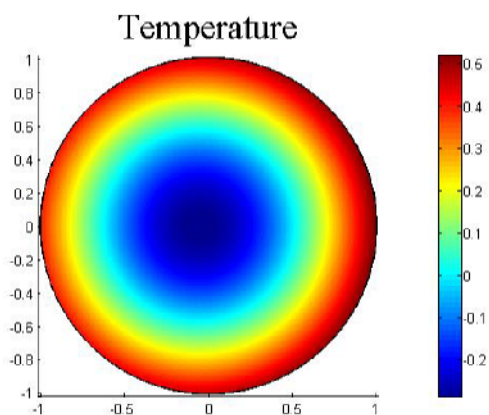
سیال مرتبه دو ($\text{Pr} = 1.15$)



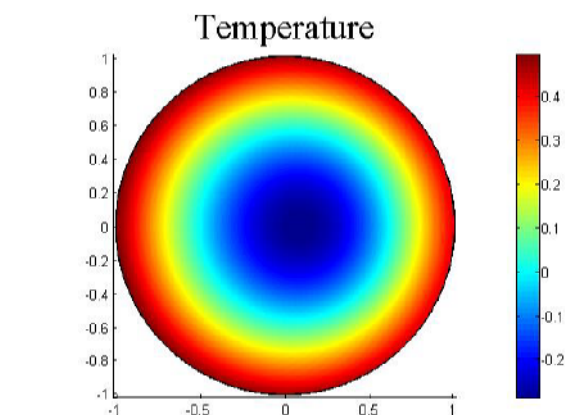
شکل ۷-۲. اثر افزایش پرانتل روی انتقال حرارت در حالت $\delta = 0.1$ ، $We = 3$ ، $Re = 50$ و 0.1

شکل ۷-۷ تغییرات پروفیل دمای سیال مدل مرتبه دو را بر حسب عدد رینولدز نمایش می‌دهد. مقدار بیشینه دما بیشتر متمایل به دیواره داخلی می‌باشد. به عبارتی دیگر، X_{\max} مقداری منفی به خود می‌گیرد. اما همانطور که در شکل واضح است، افزایش عدد رینولدز مکان X_{\max} را به شدت به سمت دیوار بیرونی متمایل می‌کند.

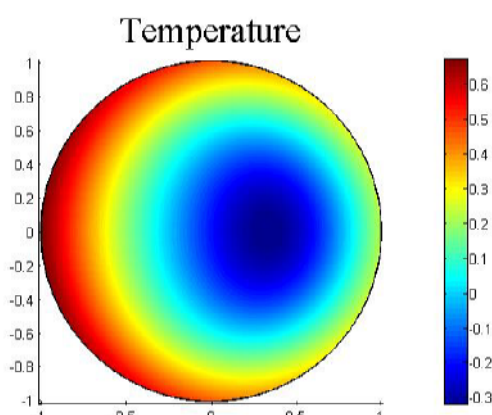
سیال مرتبه دو ($Re = 0$)



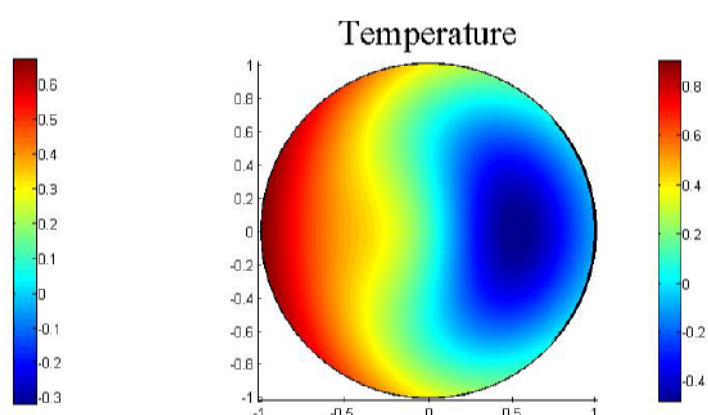
سیال مرتبه دو ($Re = 20$)



سیال مرتبه دو ($Re = 40$)



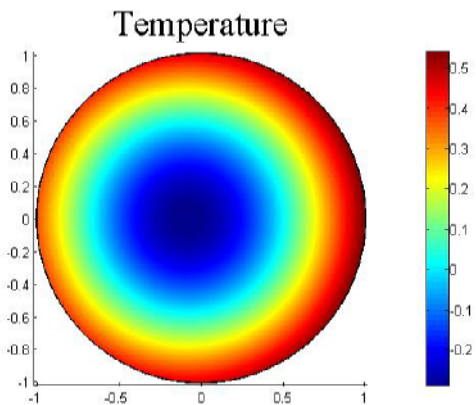
سیال مرتبه دو ($Re = 60$)



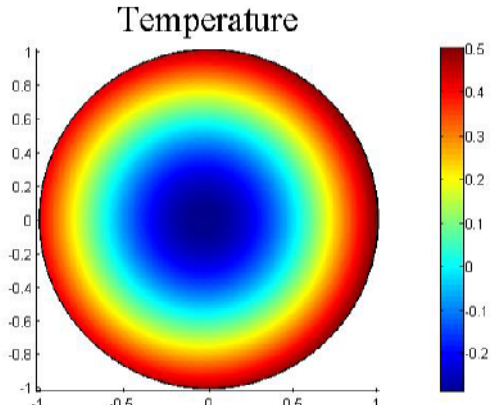
شکل ۷-۷. اثر افزایش عدد رینولدز روی انتقال حرارت در حالت $\delta = 0.1$ ، $We = 3$ ، $Pr = 0.85$ و

در شکل ۳-۷، می‌توان اثر افزایش عدد واینبرگ را در دو عدد رینولدز متفاوت مشاهده نمود. در قسمت اول عدد رینولدز روی عدد ۵ ثابت شده است و عدد واینبرگ از $We = 0$ که معادل سیال نیوتونی است تا $We = 3$ افزایش یافت. نتیجه بدست آمده از این پروفیل این است که افزایش عدد واینبرگ در زمانی که جریان حالت خوشی دارد، تغییر چندانی در انتقال بیشینه دمای سیال ایجاد نمی‌کند. از قسمت دوم این شکل در $Re = 50$ اما می‌توان نتیجه گرفت در حالت جریان دارای اینرسی، جابجایی بیشینه مقدار دمای سیال مرتبه دو در یک لوله خمیده به سمت دیواره بیرونی، قابل توجه است. با بررسی کلی این شکل‌ها نیز می‌توان به این نتیجه رسید که در اعداد رینولدز پایین، مقدار سرعت بیشینه، متمایل به دیواره بیرونی است و یا به عبارتی دیگر، X_{\max} منفی است.

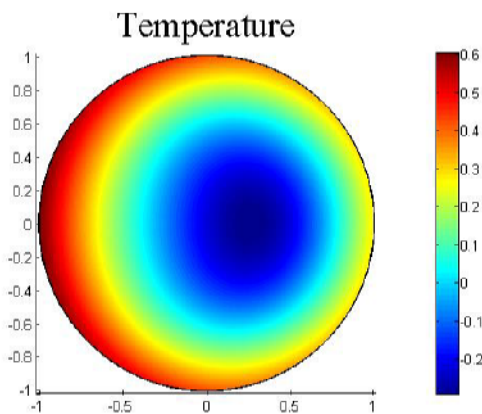
$(We = 0)$ و $Re = 5$ سیال نیوتونی



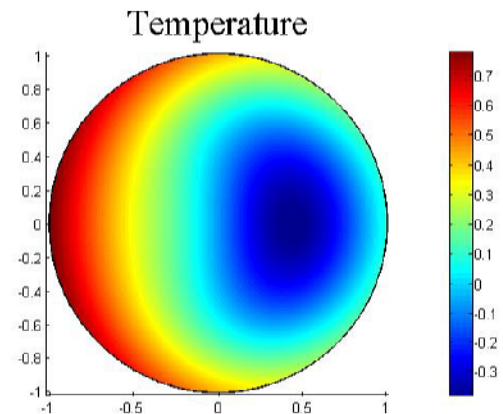
$(We = 3)$ و $Re = 5$ سیال مرتبه دو



$(We = 0)$ و $Re = 50$ سیال نیوتونی

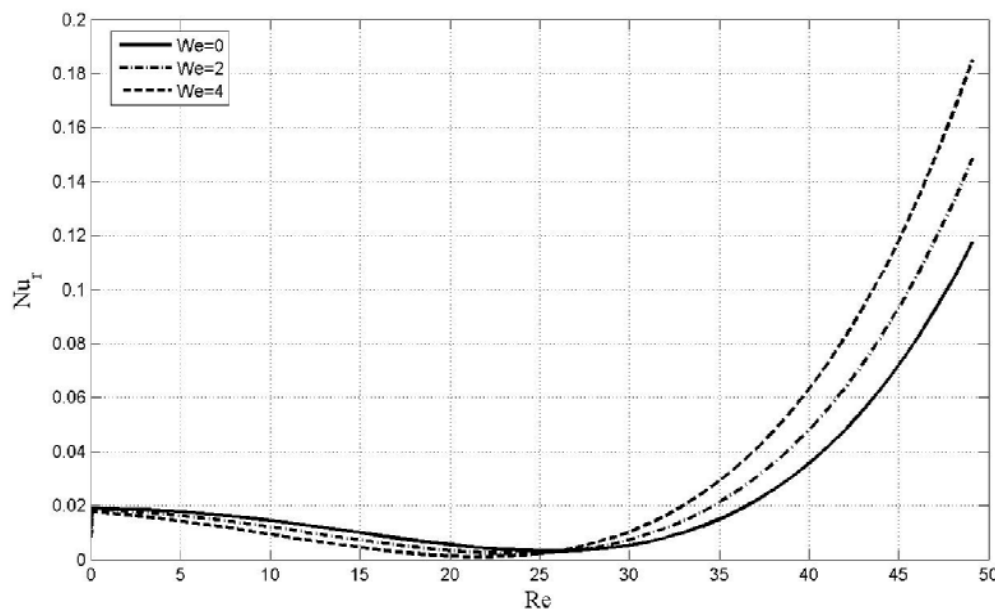


$(We = 3)$ و $Re = 50$ سیال مرتبه دو



شکل ۷-۳. اثر افزایش عدد واizenبرگ روی انتقال حرارت در حالت $We = 3$ ، $Pr = 0.85$ و $\delta = 0.1$

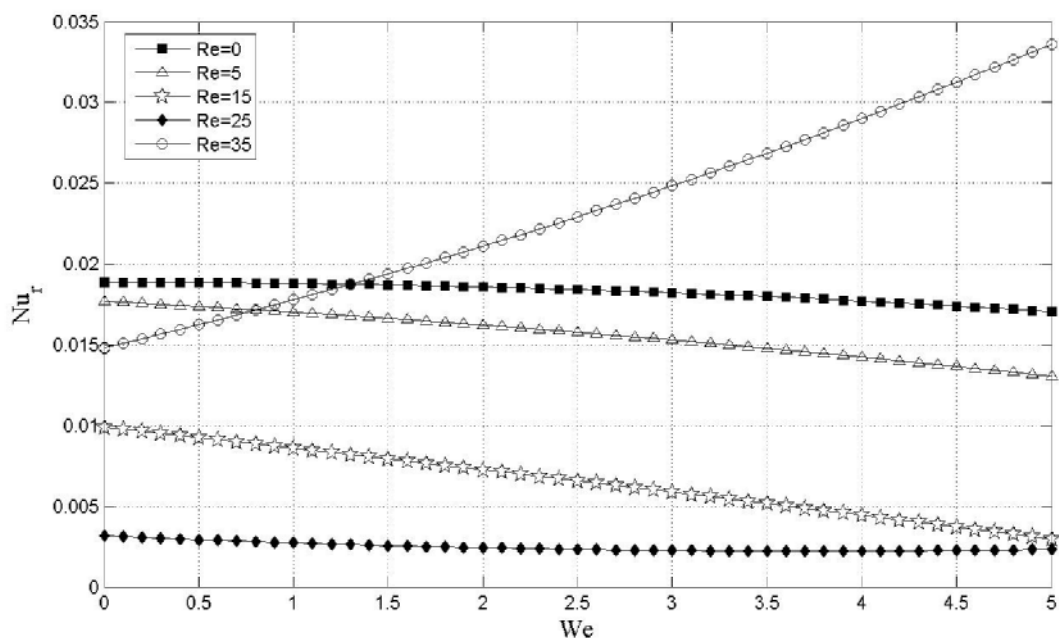
شکل ۷-۴، تغییرات ناسلت کاهیده را در مقایسه با عدد رینولدز و برای اعداد واizenبرگ مختلف نمایش می‌دهد. همانگونه که از شکل برمی‌آید، افزایش عدد رینولدز برای هر سه مقدار $We = 0$ (سیال نیوتونی)، $We = 2$ و $We = 4$ روند مشابهی را خواهد داشت. در اعداد رینولدز پایین، که جریان، بیشتر حالت خوش دارد، افزایش عدد رینولدز با کاهش مقدار ناسلت کاهیده مواجه خواهد شد. اما این روند در جریان‌های دارای اینرسی معکوس می‌گردد. به نظر می‌آید که این مقدرا کمینه در بازه‌ی بین اعداد رینولدز ۲۰ و ۳۰ رخ می‌دهد. این روند، کاملاً با روند تغییر ناسلت موضعی در سیال اولدروید-بی مطابقت دارد. تفاوت عمده و آشکار بین نتیجه بدست آمده در شکل ۷-۶ و نتیجه مشابه آن برای سیال اولدروید-بی در شکل ۷-۶ به نقطه کمینه‌ای برمی‌گردد که رفتار ناسلت کاهیده در آن نقطه بر عکس می‌شود. مقدار عدد رینولدز کمینه در سیال مرتبه دو بزرگتر از مقدار مشابه آن در سیال اولدروید-بی می‌باشد.



شکل ۷-۴. تغییرات ناسلت کاهیده سیال مرتبه دو نسبت به عدد رینولدز در اعداد واizenبرگ مختلف

شکل ۷-۵، تغییرات ناسلت کاهیده را در مقایسه با عدد واizenبرگ و برای اعداد رینولدز مختلف نمایش می‌دهد.

روند موجود در نمودار مانند روند موجود در نمودار مربوط به سیال اولدروید- بی می‌باشد.



شکل ۷-۵. تغییرات ناسلت کاهیده سیال مرتبه دو نسبت به عدد واizenبرگ در اعداد رینولدز مختلف

فصل هشتم

نتیجه گیری

در تحقیق حاضر، مطالعه جریان دارای اینرسی یک سیال مدل مرتبه دو، با استفاده از روش حساب اختلالات، مورد بررسی قرار گرفت تا یک حل تحلیلی مناسب برای آن ارائه شود. تحت گردایان فشار ثابت عدد واizenberg در سیال ماکسول فوق همرفتی (UCM) معرف زمان آسودگی از تنش و در سیال مرتبه دو معیاری از زمان رهایی از تغییر شکل می‌باشد. همچنین با توجه به حل ارائه شده و حل قبلی UCM می‌توان مقایسه مناسبی از اثرات این دو پارامتر بسیار مهم در جریان سیالات ویسکوالاستیک را ارائه داد.

مهم‌ترین نتایجی که بدست آمده به شرح زیر می‌باشد:

- افزایش عدد واizenberg در سیال مرتبه دو شدت جریان‌های ثانویه را تقویت می‌نماید. همچنین افزایش زمان رهایی از تغییر شکل، باعث متمایل شدن گردابه‌های تیلور به سمت ناحیه بیرونی لوله خمیده شده و البته تغییر مرکز این جریان‌ها در راستای عمودی ناچیز می‌باشد.
- افزایش زمان آسودگی از تنش و رهایی از تغییر شکل، موقعیت بیشینه سرعت محوری را به سمت دیواره بیرونی یا ناحیه خارجی لوله خمیده متمایل می‌کند.
- افزایش زمان رهایی از تغییر شکل در سیال مرتبه دو همراه با کاهش درگ جریان در لوله خمیده خواهد شد. در سیال UCM، کاهش درگ را می‌توان در مقادیر کوچک زمان آسودگی از تنش مشاهده نمود. اما در زمان‌های آسودگی از تنش بزرگتر ($We = 2.1$)، شاهد افزایش ضریب درگ در جریان خواهیم بود.
- افزایش زمان رهایی از تغییر شکل سیال مرتبه دو مقدار ζ_{ϕ_s} را تقویت می‌کند و باعث می‌گردد تا نرخ جریان ورودی در لوله خمیده افزایش یابد.

همچنین انتقال حرارت جریان سیال ویسکوالاستیک در یک لوله خمیده نیز مورد تحلیل قرار گرفت و در آن، تاثیر پارامترهای مختلف موثر بر انتقال حرارت نیز بررسی گردید. در این پژوهش، انتقال حرارت مربوط به سیالات

ویسکوالاستیک در لوله خمیده برای دو مدل اولدروید-بی و سیال مرتبه دو انجام گرفته است. مهم‌ترین نتایجی که

از این تحلیل دریافت شد، به شرح زیر می‌باشد:

- افزایش عدد پرانتل رفتار مشابهی را در دو مدل اولدروید-بی و مرتبه دو به نمایش می‌گذارد و آن هم تمایل هر چه بیشتر بیشینه دمایی به سمت دیواره بیرونی است.
- در جریان رینولدز پایین که جریان حالت جریان خزشی به خود می‌گیرد، بیشینه دمایی در ناحیه درونی لوله قرار دارد و به عبارتی دیگر، X_{\max} مقداری منفی دارد. در این هنگام، افزایش عدد واizenberg تاثیر چندانی روی موقعیت بیشینه دمایی سیال ندارد. این نتیجه در مورد هر دو مدل سیال مورد بحث یکسان می‌باشد.
- در رینولدزهای بالاتر و جریان دارای اینرسی، بیشینه دمایی، حتی در اعداد واizenberg بسیار پایین نیز در بخش خارجی لوله قرار دارد و X_{\max} مثبت می‌باشد. در این حالت افزایش عدد واizenberg، تاثیر بسزایی روی انتقال موقعیت بیشینه دمای سیال دارد که البته این تاثیر، در سیال مرتبه دو شدیدتر از مدل سیال اولدروید-بی است.
- افزایش عدد رینولدز در حالتی که عدد واizenberg را ثابت در نظر بگیریم، رفتار مشابهی با رفتار سیال در حالت افزایش عدد واizenberg و رینولدز ثابت دارد و آن هم تمایل بیشینه دمایی به سمت دیواره بیرونی و همچنین افزایش مقدار بیشینه دما می‌باشد.
- روند افزایش عدد ناسلت چه برای سیال اولدروید-بی و چه برای سیال مرتبه دو یکسان است. با افزایش عدد رینولدز در حالت جریان خزشی، عدد ناسلت کاهش می‌یابد. اما این روند در قبال افزایش عدد رینولدز در حالت جریان دارای اینرسی با افزایش مقدار ناسلت مواجه می‌شود.

ضمائمه

ضميمه (الف)

معادلات مربوط به اجزای تنش سیال مرتبه دو که به صورت $\tau = \gamma - We \frac{\Im\gamma}{\Im t}$ ارائه می‌شوند:

$$\begin{aligned} \gamma_{rr} &= 2 \frac{\partial u}{\partial r}, & \gamma_{r\phi} &= \frac{\partial v}{\partial r} + \frac{1}{r} \left(\frac{\partial u}{\partial \phi} - v \right), \\ \gamma_{rs} &= \frac{\partial w}{\partial r} - \frac{\delta}{B} w \cos \phi, & \gamma_{\phi\phi} &= \frac{2}{r} \left(u + \frac{\partial v}{\partial \phi} \right), \\ \gamma_{\phi s} &= \frac{1}{r} \frac{\partial w}{\partial \phi} + \frac{\delta}{B} w \sin \phi, & \gamma_{ss} &= \frac{2\delta}{B} (u \cos \phi - v \sin \phi). \end{aligned} \quad (\text{A1})$$

۶

$$\begin{aligned} \frac{\Im\gamma_{rr}}{\Im t} &= u \frac{\partial \gamma_{rr}}{\partial r} + \frac{v}{r} \frac{\partial \gamma_{rr}}{\partial \phi} - 2 \frac{\partial u}{\partial r} \gamma_{rr} - \frac{2}{r} \frac{\partial u}{\partial \phi} \gamma_{r\phi}, \\ \frac{\Im\gamma_{r\phi}}{\Im t} &= u \frac{\partial \gamma_{r\phi}}{\partial r} + \frac{v}{r} \left(\frac{\partial \gamma_{r\phi}}{\partial \phi} + \gamma_{rr} \right) - \frac{\partial u}{\partial r} \gamma_{r\phi} - \frac{1}{r} \frac{\partial u}{\partial \phi} \gamma_{\phi\phi} - \frac{\partial v}{\partial r} \gamma_{rr} - \frac{1}{r} \left(u + \frac{\partial v}{\partial \phi} \right) \gamma_{r\phi}, \\ \frac{\Im\gamma_{rs}}{\Im t} &= u \frac{\partial \gamma_{rs}}{\partial r} + \frac{v}{r} \frac{\partial \gamma_{rs}}{\partial \phi} - \frac{\partial u}{\partial r} \gamma_{rs} - \frac{1}{r} \frac{\partial u}{\partial \phi} \gamma_{\phi s} - \frac{\partial w}{\partial r} \gamma_{rr} - \frac{1}{r} \frac{\partial w}{\partial \phi} \gamma_{r\phi} \\ &\quad + \frac{\delta}{B} (-u \cos \phi + v \sin \phi) \gamma_{rs} + w \gamma_{rr} \cos \phi - w \gamma_{r\phi} \sin \phi, \\ \frac{\Im\gamma_{\phi\phi}}{\Im t} &= u \frac{\partial \gamma_{\phi\phi}}{\partial r} + \frac{v}{r} \left(\frac{\partial \gamma_{\phi\phi}}{\partial \phi} + 2 \gamma_{r\phi} \right) - 2 \frac{\partial v}{\partial r} \gamma_{r\phi} - \frac{2}{r} \left(u + \frac{\partial v}{\partial \phi} \right) \gamma_{\phi\phi}, \\ \frac{\Im\gamma_{\phi s}}{\Im t} &= u \frac{\partial \gamma_{\phi s}}{\partial r} + \frac{v}{r} \left(\gamma_{rs} + \frac{\partial \gamma_{\phi s}}{\partial \phi} \right) - \frac{\partial v}{\partial r} \gamma_{rs} - \frac{1}{r} \left(u + \frac{\partial v}{\partial \phi} \right) \gamma_{\phi s} - \frac{\partial w}{\partial r} \gamma_{r\phi} - \frac{1}{r} \frac{\partial w}{\partial \phi} \gamma_{\phi\phi} \\ &\quad + \frac{\delta}{B} (-u \cos \phi + v \sin \phi) \gamma_{\phi s} + w \gamma_{r\phi} \cos \phi - w \gamma_{\phi\phi} \sin \phi, \\ \frac{\Im\gamma_{ss}}{\Im t} &= u \frac{\partial \gamma_{ss}}{\partial r} + \frac{v}{r} \frac{\partial \gamma_{ss}}{\partial \phi} - 2 \frac{\partial w}{\partial \phi} \gamma_{\phi s} + 2 \frac{\delta}{B} (-u \cos \phi + v \sin \phi) \gamma_{ss} \\ &\quad + w \gamma_{rs} \cos \phi - w \gamma_{\phi s} \sin \phi, \end{aligned} \quad (\text{A2})$$

ضمیمه (ب)

معادلات مربوط به مرتب‌سازی ضرایب δ^2 به صورت زیر می‌باشد:

$$\begin{aligned}
 & \left. \left(2r^6 We \left(\frac{\partial w^{(0)}}{\partial r} \right)^2 + 8r^4 We \left(\frac{\partial w^{(0)}}{\partial \phi} \right)^2 - 2r^5 We \frac{\partial w^{(0)}}{\partial r} w^{(0)} - 10r^7 We \frac{\partial w^{(0)}}{\partial r} \frac{\partial^2 w^{(0)}}{\partial r^2} \right) \sin(2\phi) \right. \\
 & \left. - 2r^4 We \frac{\partial^2 w^{(0)}}{\partial \phi^2} w^{(0)} - 10r^5 We \frac{\partial w^{(0)}}{\partial \phi} \frac{\partial^2 w^{(0)}}{\partial r \partial \phi} + 2r^6 We \frac{\partial^2 w^{(0)}}{\partial r^2} w^{(0)} + 10r^7 We \frac{\partial w^{(0)}}{\partial r} w^{(0)} \right) \\
 & + \left. \left(2Re r^6 \frac{\partial w^{(1)}}{\partial r} w^{(0)} + 8r^3 We \frac{\partial w^{(0)}}{\partial \phi} \frac{\partial w^{(1)}}{\partial \phi} - 2r^3 \frac{\partial^3 \psi^{(1)}}{\partial \phi^3} - 2r^5 \frac{\partial^3 \psi^{(1)}}{\partial r^2 \partial \phi} - 2r^4 \frac{\partial^2 \psi^{(1)}}{\partial r \partial \phi} \right. \right. \\
 & \left. \left. - 4r^4 We \frac{\partial^2 w^{(1)}}{\partial r \partial \phi} \frac{\partial w^{(0)}}{\partial \phi} - 4r^4 We \frac{\partial^2 w^{(0)}}{\partial r \partial \phi} \frac{\partial w^{(1)}}{\partial \phi} - 4r^6 We \frac{\partial^2 w^{(1)}}{\partial r^2} \frac{\partial w^{(0)}}{\partial r} + 2r^6 Re \frac{\partial w^{(0)}}{\partial r} w^{(1)} \right) \sin(\phi) \right. \\
 & \left. + \left(10r^6 Re \frac{\partial w^{(0)}}{\partial r} w^{(0)} - 8r^4 We \frac{\partial w^{(0)}}{\partial \phi} w^{(0)} + 8r^5 We \frac{\partial^2 w^{(0)}}{\partial r \partial \phi} w^{(0)} - 20r^4 We \frac{\partial^2 w^{(0)}}{\partial \phi^2} \frac{\partial w^{(0)}}{\partial \phi} \right. \right. \\
 & \left. \left. - 20r^6 We \frac{\partial^2 w^{(0)}}{\partial r \partial \phi} \frac{\partial w^{(0)}}{\partial r} - 8r^5 We \frac{\partial w^{(0)}}{\partial \phi} \frac{\partial w^{(0)}}{\partial r} \right) \cos^2(\phi) \right. \\
 & \left. + \left(2r^5 Re \frac{\partial w^{(0)}}{\partial \phi} w^{(1)} + 2r^5 Re \frac{\partial w^{(1)}}{\partial \phi} w^{(0)} - 8r^6 \frac{\partial^3 \psi^{(1)}}{\partial r^3} - 10r^5 \frac{\partial^4 \psi^{(1)}}{\partial r^2 \partial \phi^2} - 5r^7 \frac{\partial^4 \psi^{(1)}}{\partial r^4} - 24r^3 \frac{\partial^2 \psi^{(1)}}{\partial \phi^2} \right. \right. \\
 & \left. \left. - 5r^3 \frac{\partial^4 \psi^{(1)}}{\partial \phi^4} - 4r^3 We \frac{\partial^2 w^{(1)}}{\partial \phi^2} \frac{\partial w^{(0)}}{\partial \phi} - 7r^4 \frac{\partial \psi^{(1)}}{\partial r} - 4r^5 We \frac{\partial^2 w^{(1)}}{\partial r \partial \phi} \frac{\partial w^{(0)}}{\partial r} - 4r^5 We \frac{\partial^2 w^{(0)}}{\partial r \partial \phi} \frac{\partial w^{(1)}}{\partial r} \right) \cos(\phi) \right. \\
 & \left. \left. - 4r^3 We \frac{\partial^2 w^{(0)}}{\partial \phi^2} \frac{\partial w^{(1)}}{\partial \phi} + 7r^5 \frac{\partial^2 \psi^{(1)}}{\partial r^2} + 12r^4 \frac{\partial^3 \psi^{(1)}}{\partial r \partial \phi^2} \right) \right. \\
 & \left. + 4r^4 We \frac{\partial w^{(0)}}{\partial \phi} w^{(0)} + Re r^3 \frac{\partial \psi^{(1)}}{\partial \phi} \frac{\partial \psi^{(1)}}{\partial r} - 4r^5 We \frac{\partial w^{(0)}}{\partial \phi} \frac{\partial w^{(0)}}{\partial r} + 3r We \frac{\partial \psi^{(1)}}{\partial \phi} \frac{\partial \psi^{(1)}}{\partial r} - r^6 \frac{\partial^4 \psi^{(2)}}{\partial r^4} \right. \\
 & \left. - r^3 We \frac{\partial^3 \psi^{(1)}}{\partial r^2 \partial \phi} \frac{\partial \psi^{(1)}}{\partial r} + 4r We \frac{\partial^3 \psi^{(1)}}{\partial \phi^3} \frac{\partial \psi^{(1)}}{\partial r} + 6r^2 We \frac{\partial^4 \psi^{(1)}}{\partial r^2 \partial \phi^2} \frac{\partial \psi^{(1)}}{\partial \phi} + Re r^3 \frac{\partial^3 \psi^{(1)}}{\partial \phi^3} \frac{\partial \psi^{(1)}}{\partial r} \right. \\
 & \left. + Re r^4 \frac{\partial^2 \psi^{(1)}}{\partial r \partial \phi} \frac{\partial \psi^{(1)}}{\partial r} + Re r^5 \frac{\partial^3 \psi^{(1)}}{\partial r^2 \partial \phi} \frac{\partial \psi^{(1)}}{\partial r} - We r^5 \frac{\partial^5 \psi^{(1)}}{\partial r^5} \frac{\partial \psi^{(1)}}{\partial \phi} + We r \frac{\partial^5 \psi^{(1)}}{\partial \phi^5} \frac{\partial \psi^{(1)}}{\partial r} - Re r^5 \frac{\partial^3 \psi^{(1)}}{\partial r^3} \frac{\partial \psi^{(1)}}{\partial \phi} \right. \\
 & \left. - We r \frac{\partial^5 \psi^{(1)}}{\partial \phi^4} \frac{\partial \psi^{(1)}}{\partial r} - 2We r^4 \frac{\partial^4 \psi^{(1)}}{\partial r^4} \frac{\partial \psi^{(1)}}{\partial \phi} + 2Re r^2 \frac{\partial^2 \psi^{(1)}}{\partial \phi^2} \frac{\partial \psi^{(1)}}{\partial \phi} - Re r^4 \frac{\partial^2 \psi^{(1)}}{\partial r^2} \frac{\partial \psi^{(1)}}{\partial \phi} + r^4 \frac{\partial^2 \psi^{(2)}}{\partial r^2} \right. \\
 & \left. + 4We \frac{\partial^4 \psi^{(1)}}{\partial \phi^4} \frac{\partial \psi^{(1)}}{\partial \phi} - Re r^3 \frac{\partial^3 \psi^{(1)}}{\partial r \partial \phi^2} \frac{\partial \psi^{(1)}}{\partial \phi} - 2We r^3 \frac{\partial^5 \psi^{(1)}}{\partial r^3 \partial \phi^2} \frac{\partial \psi^{(1)}}{\partial \phi} - 10r We \frac{\partial^3 \psi^{(1)}}{\partial r \partial \phi^2} \frac{\partial \psi^{(1)}}{\partial \phi} - 2r^5 \frac{\partial^3 \psi^{(2)}}{\partial r^2} \right. \\
 & \left. - 3r^2 We \frac{\partial^2 \psi^{(1)}}{\partial r^2} \frac{\partial \psi^{(1)}}{\partial \phi} + 3r^3 We \frac{\partial^3 \psi^{(1)}}{\partial r^3} \frac{\partial \psi^{(1)}}{\partial \phi} + r^2 We \frac{\partial^2 \psi^{(1)}}{\partial r \partial \phi} \frac{\partial \psi^{(1)}}{\partial r} - 2r^4 \frac{\partial^4 \psi^{(2)}}{\partial r^2 \partial \phi^2} - r^3 \frac{\partial \psi^{(2)}}{\partial r} - 4r^2 \frac{\partial \psi^{(2)}}{\partial \phi^2} \right. \\
 & \left. + 16We \frac{\partial^2 \psi^{(1)}}{\partial \phi^2} \frac{\partial \psi^{(1)}}{\partial \phi} - r^2 \frac{\partial^4 \psi^{(2)}}{\partial \phi^4} + 2We r^4 \frac{\partial^4 \psi^{(1)}}{\partial r \partial \phi^3} \frac{\partial \psi^{(1)}}{\partial \phi} + 2We r^3 \frac{\partial^5 \psi^{(1)}}{\partial r^2 \partial \phi^3} \frac{\partial \psi^{(1)}}{\partial r} + We r^5 \frac{\partial^5 \psi^{(1)}}{\partial r^4 \partial \phi} \frac{\partial \psi^{(1)}}{\partial r} \right. \\
 & \left. - 4r^5 We \frac{\partial^2 w^{(0)}}{\partial r \partial \phi} w^{(0)} - 2r^2 We \frac{\partial w^{(1)}}{\partial r} \frac{\partial^4 \psi^{(1)}}{\partial r \partial \phi^3} + 2r^3 \frac{\partial^3 \psi^{(2)}}{\partial r \partial \phi^2} = 0. \right)
 \end{aligned} \tag{B1}$$

$$\begin{aligned}
& \left. \left(\begin{array}{l} 2rWe \frac{\partial^2 \psi^{(1)}}{\partial \phi^2} w^{(0)} + 3r^2We \frac{\partial^2 w^{(0)}}{\partial r \partial \phi} \frac{\partial \psi^{(1)}}{\partial \phi} - r^2We \frac{\partial^3 w^{(0)}}{\partial r \partial \phi^2} w^{(0)} + r^4We \frac{\partial^2 w^{(0)}}{\partial r^2} \frac{\partial \psi^{(1)}}{\partial r} \\ - r^3We \frac{\partial^2 \psi^{(1)}}{\partial r^2} w^{(0)} + r^2We \frac{\partial^2 \psi^{(1)}}{\partial \phi^2} \frac{\partial w^{(0)}}{\partial r} + 3r^4 \frac{\partial w^{(0)}}{\partial \phi} \cos(\phi) + r^3 \frac{\partial w^{(1)}}{\partial \phi} + r^3We \frac{\partial \psi^{(1)}}{\partial r} w^{(0)} \\ - r^3We \frac{\partial \psi^{(1)}}{\partial r} \frac{\partial w^{(0)}}{\partial r} - 4rWe \frac{\partial \psi^{(1)}}{\partial \phi} \frac{\partial w^{(0)}}{\partial \phi} - \text{Re } r^4 \frac{\partial \psi^{(1)}}{\partial r} w^{(0)} + r^2We \frac{\partial^2 \psi^{(1)}}{\partial r \partial \phi} \frac{\partial w^{(0)}}{\partial \phi} \\ + r^4We \frac{\partial^2 \psi^{(1)}}{\partial r^2} \frac{\partial w^{(0)}}{\partial r} - 2r^2We \frac{\partial \psi^{(1)}}{\partial r} \frac{\partial^2 w^{(0)}}{\partial \phi^2} - r^4We \frac{\partial^3 \psi^{(1)}}{\partial r^3} w^{(0)} \end{array} \right) \sin(\phi) \right. \\
& \left. \left. \begin{array}{l} - 3r^4We \frac{\partial^3 w^{(0)}}{\partial r^3} \frac{\partial \psi^{(1)}}{\partial \phi} + 3r^4We \frac{\partial^3 \psi^{(1)}}{\partial r^2 \partial \phi} \frac{\partial w^{(0)}}{\partial r} - 6r^4We \frac{\partial^2 \psi^{(1)}}{\partial r^2} \frac{\partial^2 w^{(0)}}{\partial r \partial \phi} - 3r^2We \frac{\partial^3 w^{(0)}}{\partial \phi^2 \partial r} \frac{\partial \psi^{(1)}}{\partial \phi} \\ + 3r^4We \frac{\partial^3 \psi^{(1)}}{\partial \phi^3} \frac{\partial w^{(0)}}{\partial r} + 4r^3We \frac{\partial^2 \psi^{(1)}}{\partial r^2} \frac{\partial w^{(0)}}{\partial \phi} - 9r^5We \frac{\partial w^{(0)}}{\partial r} \cos(\phi) - 5r^4 \frac{\partial w^{(1)}}{\partial r} - 4r^5 \frac{\partial^2 w^{(1)}}{\partial r^2} \\ - 4r^2We \frac{\partial \psi^{(1)}}{\partial r} \frac{\partial w^{(0)}}{\partial \phi} - 3\text{Re } r^4 \frac{\partial \psi^{(1)}}{\partial \phi} \frac{\partial w^{(0)}}{\partial r} + 3\text{Re } r^4 \frac{\partial \psi^{(1)}}{\partial r} \frac{\partial w^{(0)}}{\partial \phi} - \text{Re } r^3 \frac{\partial \psi^{(1)}}{\partial \phi} w^{(0)} \\ + 9r^2We \frac{\partial \psi^{(1)}}{\partial \phi} \frac{\partial w^{(0)}}{\partial r} - 6r^6 \frac{\partial^2 w^{(0)}}{\partial r^2} \cos(\phi) - 4r^3 \frac{\partial^2 \psi^{(1)}}{\partial \phi^2} - 11r^3 \frac{\partial \psi^{(1)}}{\partial \phi} \frac{\partial^2 w^{(0)}}{\partial \phi^2} - 6r^4 \frac{\partial^2 w^{(0)}}{\partial \phi^2} \cos(\phi) \end{array} \right) \cos(\phi) \right. \\
& + \left. \left. \begin{array}{l} - 3r^2We \frac{\partial^3 \psi^{(1)}}{\partial r \partial \phi^2} \frac{\partial w^{(0)}}{\partial \phi} - 6r^2We \frac{\partial^2 \psi^{(1)}}{\partial r \partial \phi^2} \frac{\partial^2 w^{(0)}}{\partial \phi^2} - 2r^3We \frac{\partial^2 \psi^{(1)}}{\partial r \partial \phi} \frac{\partial w^{(0)}}{\partial r} - rWe \frac{\partial^3 \psi^{(1)}}{\partial \phi^3} w^{(0)} \\ + 13rWe \frac{\partial \psi^{(1)}}{\partial \phi} \frac{\partial^2 w^{(0)}}{\partial \phi^2} + 3r^4We \frac{\partial^3 w^{(0)}}{\partial \phi \partial r^2} \frac{\partial \psi^{(1)}}{\partial r} + 2rWe \frac{\partial^2 \psi^{(1)}}{\partial \phi^2} \frac{\partial w^{(0)}}{\partial \phi} - r^2We \frac{\partial^2 \psi^{(1)}}{\partial r \partial \phi} w^{(0)} \\ - r^3We \frac{\partial^3 \psi^{(1)}}{\partial \phi \partial r^2} w^{(0)} - 3r^4We \frac{\partial^3 \psi^{(1)}}{\partial r^3} \frac{\partial w^{(0)}}{\partial \phi} + 6r^2We \frac{\partial^2 \psi^{(1)}}{\partial \phi^2} \frac{\partial^2 w^{(0)}}{\partial r \partial \phi} + 3r^2We \frac{\partial^3 w^{(0)}}{\partial \phi^3} \frac{\partial \psi^{(1)}}{\partial r} \\ + 12r^3We \frac{\partial^2 w^{(0)}}{\partial r \partial \phi} \frac{\partial \psi^{(1)}}{\partial r} + 6r^4We \frac{\partial^2 \psi^{(1)}}{\partial r \partial \phi} \frac{\partial^2 w^{(0)}}{\partial r^2} - 12r^6 \end{array} \right) \cos(\phi) \right. \\
& \left. \left. \begin{array}{l} - r^4 \frac{\partial^2 w^{(2)}}{\partial r^2} - r^2 \frac{\partial^2 w^{(2)}}{\partial \phi^2} - \text{Re } r^3 \frac{\partial \psi^{(2)}}{\partial \phi} \frac{\partial w^{(0)}}{\partial r} - \text{Re } r^3 \frac{\partial \psi^{(1)}}{\partial \phi} \frac{\partial w^{(1)}}{\partial r} + rWe \frac{\partial \psi^{(1)}}{\partial r} \frac{\partial^3 w^{(1)}}{\partial \phi^3} + r^2We \frac{\partial^2 \psi^{(1)}}{\partial r^2} \frac{\partial w^{(1)}}{\partial \phi} \\ - rWe \frac{\partial^3 \psi^{(2)}}{\partial r \partial \phi^2} \frac{\partial w^{(0)}}{\partial \phi} + 2r^3We \frac{\partial^2 \psi^{(1)}}{\partial r \partial \phi} \frac{\partial^2 w^{(1)}}{\partial r^2} + r^3We \frac{\partial^3 \psi^{(1)}}{\partial \phi \partial r^2} \frac{\partial w^{(1)}}{\partial r} - 2r^3We \frac{\partial^2 \psi^{(1)}}{\partial r^2} \frac{\partial^2 w^{(1)}}{\partial r \partial \phi} - r^3 \frac{\partial w^{(2)}}{\partial r} \\ + r^3We \frac{\partial^3 \psi^{(2)}}{\partial \phi \partial r^2} \frac{\partial w^{(0)}}{\partial r} - 2r^3We \frac{\partial^2 \psi^{(2)}}{\partial r^2} \frac{\partial^2 w^{(0)}}{\partial r \partial \phi} - 2rWe \frac{\partial^2 \psi^{(2)}}{\partial r \partial \phi} \frac{\partial^2 w^{(0)}}{\partial \phi^2} - r^3We \frac{\partial^3 \psi^{(1)}}{\partial r^3} \frac{\partial w^{(1)}}{\partial \phi} \\ + 2rWe \frac{\partial^2 \psi^{(1)}}{\partial \phi^2} \frac{\partial^2 w^{(1)}}{\partial r \partial \phi} + 3rWe \frac{\partial \psi^{(1)}}{\partial \phi} \frac{\partial w^{(1)}}{\partial r} + 3rWe \frac{\partial \psi^{(2)}}{\partial \phi} \frac{\partial w^{(0)}}{\partial r} - rWe \frac{\partial \psi^{(2)}}{\partial r} \frac{\partial w^{(0)}}{\partial \phi} - rWe \frac{\partial \psi^{(1)}}{\partial r} \frac{\partial w^{(1)}}{\partial \phi} \\ + \text{Re } r^3 \frac{\partial \psi^{(1)}}{\partial r} \frac{\partial w^{(1)}}{\partial \phi} + \text{Re } r^3 \frac{\partial \psi^{(2)}}{\partial r} \frac{\partial w^{(0)}}{\partial \phi} + 4We \frac{\partial \psi^{(2)}}{\partial \phi} \frac{\partial^2 w^{(0)}}{\partial \phi^2} + 4We \frac{\partial \psi^{(1)}}{\partial \phi} \frac{\partial^2 w^{(1)}}{\partial \phi^2} + 2rWe \frac{\partial^2 \psi^{(2)}}{\partial \phi^2} \frac{\partial^2 w^{(0)}}{\partial r \partial \phi} \\ + rWe \frac{\partial^3 \psi^{(2)}}{\partial r \partial \phi^3} \frac{\partial w^{(0)}}{\partial r} + r^2We \frac{\partial^3 \psi^{(2)}}{\partial r^3} \frac{\partial w^{(0)}}{\partial \phi} - rWe \frac{\partial^3 w^{(0)}}{\partial r \partial \phi^2} \frac{\partial \psi^{(2)}}{\partial \phi} - r^3We \frac{\partial^3 w^{(0)}}{\partial r^3} \frac{\partial \psi^{(1)}}{\partial \phi} - r^2We \frac{\partial^2 \psi^{(2)}}{\partial r \partial \phi} \frac{\partial w^{(0)}}{\partial r} \\ - 2rWe \frac{\partial^2 \psi^{(1)}}{\partial r \partial \phi} \frac{\partial^3 w^{(1)}}{\partial \phi^2} + r^3We \frac{\partial^3 w^{(0)}}{\partial \phi \partial r^2} \frac{\partial \psi^{(2)}}{\partial r} - rWe \frac{\partial^3 w^{(1)}}{\partial r \partial \phi^2} \frac{\partial \psi^{(1)}}{\partial \phi} + rWe \frac{\partial^3 w^{(0)}}{\partial \phi^3} \frac{\partial \psi^{(2)}}{\partial r} - 3r^2We \frac{\partial \psi^{(1)}}{\partial \phi} \frac{\partial^2 w^{(1)}}{\partial r^2} \\ - r^3We \frac{\partial^3 w^{(0)}}{\partial r^3} \frac{\partial \psi^{(2)}}{\partial \phi} + r^3We \frac{\partial^3 w^{(1)}}{\partial \phi \partial r^2} \frac{\partial \psi^{(1)}}{\partial r} - 3r^2We \frac{\partial^2 w^{(0)}}{\partial r^2} \frac{\partial \psi^{(2)}}{\partial \phi} + rWe \frac{\partial^3 \psi^{(1)}}{\partial \phi^3} \frac{\partial w^{(1)}}{\partial r} - r^2We \frac{\partial^2 \psi^{(1)}}{\partial r \partial \phi} \frac{\partial w^{(1)}}{\partial r} \\ + 2r^3We \frac{\partial^2 \psi^{(2)}}{\partial r \partial \phi} \frac{\partial^2 w^{(0)}}{\partial r^2} - rWe \frac{\partial^3 \psi^{(1)}}{\partial r \partial \phi^2} \frac{\partial w^{(1)}}{\partial \phi} + 3r^2We \frac{\partial^2 w^{(0)}}{\partial r \partial \phi} \frac{\partial \psi^{(2)}}{\partial r} - r^3We \frac{\partial^3 \psi^{(2)}}{\partial r^3} \frac{\partial w^{(0)}}{\partial \phi} + r^4w^{(0)} \\ - 3r^2We \frac{\partial \psi^{(1)}}{\partial r} \frac{\partial^2 w^{(1)}}{\partial r \partial \phi} = 0. \end{array} \right) \right. \end{aligned} \tag{B2}$$

ضمیمه (ج)

مولفه $T^{(2)}$ در سیال اولدروید بی به صورت $f_{20}(r) + f_{22}(r)\cos(2\phi)$ ارائه شده است که داریم:

$$\begin{aligned}
 f_{20}(r) = & We^4 \left\{ \left(\frac{\eta_p}{\eta} \right)^4 \left(\frac{1}{216} r^8 - \frac{1}{900} r^{10} + \frac{1}{540} r^4 - \frac{1}{162} r^6 + \frac{1}{540} r^2 + \frac{503}{907200} \right) + \left(\frac{\eta_p}{\eta} \right)^3 \left(-\frac{1}{216} r^6 + \frac{1}{90} r^4 + \frac{1}{1400} - \frac{7}{720} r^2 + \frac{1}{3600} r^{10} \right) \right\} \\
 & + We^3 \left\{ \left(\frac{\eta_p}{\eta} \right)^3 \left(\frac{1}{432} r^4 \operatorname{Pr} \operatorname{Re} + \frac{5}{4608} r^8 \operatorname{Pr} \operatorname{Re} + \frac{77}{207360} \operatorname{Pr} \operatorname{Re} - \frac{13}{14400} r^{10} \operatorname{Re} + \frac{37}{13824} r^8 \operatorname{Re} + \frac{13}{8640} r^4 \operatorname{Re} - \frac{35}{10368} r^6 \operatorname{Re} + \frac{1}{3456} r^2 \operatorname{Re} \right) \right. \\
 & \left. + \left(\frac{\eta_p}{\eta} \right)^2 \left(\frac{11}{103680} r^{12} \operatorname{Re} - \frac{7}{3456} r^6 \operatorname{Pr} \operatorname{Re} + \frac{12367}{43545600} \operatorname{Re} - \frac{5}{3456} r^2 \operatorname{Pr} \operatorname{Re} - \frac{1}{2880} r^{10} \operatorname{Pr} \operatorname{Re} + \frac{1}{20736} r^{12} \operatorname{Pr} \operatorname{Re} \right) \right\} \\
 & + We^2 \left\{ \left(\frac{\eta_p}{\eta} \right)^2 \left(\operatorname{Pr}^2 \operatorname{Re}^2 \left(\frac{13}{414720} r^{12} + \frac{73}{138240} r^4 + \frac{23}{453600} - \frac{1}{322560} r^{14} - \frac{31}{230400} r^{10} - \frac{1}{3072} r^8 - \frac{43}{138240} r^2 - \frac{71}{138240} r^6 \right) \right. \right. \\
 & \left. \left. - \frac{779}{829440} r^4 \operatorname{Pr} \operatorname{Re}^2 - \frac{469}{829440} r^2 \operatorname{Pr} \operatorname{Re}^2 + \frac{31}{288} r^2 - \frac{11}{72} r^4 - \frac{799}{4147200} r^{10} \operatorname{Pr} \operatorname{Re}^2 - \frac{97}{460800} r^{10} \operatorname{Re}^2 + \frac{11}{276480} r^{12} \operatorname{Pr} \operatorname{Re}^2 \right. \right. \\
 & \left. \left. - \frac{191}{5760} + \frac{41}{432} r^6 - \frac{241}{276480} r^6 \operatorname{Pr} \operatorname{Re}^2 - \frac{457}{3225600} \operatorname{Pr} \operatorname{Re}^2 - \frac{563}{5806080} r^2 \operatorname{Re}^2 - \frac{19}{5806080} r^{14} \operatorname{Pr} \operatorname{Re}^2 - \frac{136613}{2438553600} \operatorname{Re}^2 \right. \right. \\
 & \left. \left. + \frac{85}{165888} r^8 \operatorname{Pr} \operatorname{Re}^2 + \frac{1}{23040} r^{12} \operatorname{Re}^2 + \frac{341}{663552} r^8 \operatorname{Re}^2 - \frac{4807}{11612160} r^4 \operatorname{Re}^2 - \frac{817}{1244160} r^6 \operatorname{Re}^2 - \frac{25}{1152} r^8 + \frac{59}{161280} r^4 \operatorname{Re}^2 \right) \right. \\
 & \left. + \left(\frac{\eta_p}{\eta} \right) \left(\frac{1}{41472} r^8 \operatorname{Re}^2 - \frac{1}{207360} r^{12} \operatorname{Re}^2 + \frac{10009}{457228800} \operatorname{Re}^2 + \frac{1}{2032128} r^{14} \operatorname{Re}^2 - \frac{1}{5184} r^6 \operatorname{Re}^2 + \frac{1}{76800} r^{10} \operatorname{Re}^2 + \frac{59}{161280} r^4 \operatorname{Re}^2 \right) \right. \\
 & \left. + \left(\frac{\eta_p}{\eta} \right) \left(-\frac{839}{2903040} r^2 \operatorname{Re}^2 \right) \right\} \\
 & + We^{\frac{\eta_p}{\eta}} \left\{ \left(\frac{17}{265420800} \operatorname{Pr} \operatorname{Re}^3 + \frac{13}{371589120} \operatorname{Re}^3 + \frac{1}{5308416} \operatorname{Pr}^2 \operatorname{Re}^3 \right) r^{16} - \left(\frac{151}{243855360} \operatorname{Re}^3 + \frac{193}{174182400} \operatorname{Pr} \operatorname{Re}^3 + \frac{11}{3870720} \operatorname{Pr}^2 \operatorname{Re}^3 \right) r^{14} \right. \\
 & \left. + \left(\frac{1547}{199065600} \operatorname{Pr} \operatorname{Re}^3 + \frac{11}{622080} \operatorname{Pr}^2 \operatorname{Re}^3 + \frac{431}{99532800} \operatorname{Re}^3 \right) r^{12} \right. \\
 & \left. + \left(\frac{107}{57600} \operatorname{Pr} \operatorname{Re} - \frac{247}{8294400} \operatorname{Pr}^3 + \frac{11}{11520} \operatorname{Re} - \frac{541}{33177600} \operatorname{Re}^3 - \frac{503}{8294400} \operatorname{Pr}^2 \operatorname{Re}^3 \right) r^{10} \right. \\
 & \left. + \left(\frac{2951}{79626240} \operatorname{Re}^3 - \frac{19}{1536} \operatorname{Pr} \operatorname{Re} - \frac{215}{27648} \operatorname{Re} + \frac{859}{6635520} \operatorname{Pr}^2 \operatorname{Re}^3 + \frac{5641}{79626240} \operatorname{Pr} \operatorname{Re}^3 \right) r^8 \right. \\
 & \left. + \left(-\frac{941}{8294400} \operatorname{Pr} \operatorname{Re}^3 - \frac{517}{9953280} \operatorname{Re}^3 + \frac{79}{3456} \operatorname{Re} - \frac{1859}{9953280} \operatorname{Pr}^2 \operatorname{Re}^3 + \frac{1}{27} \operatorname{Pr} \operatorname{Re} \right) r^6 \right. \\
 & \left. + \left(\frac{7829}{66355200} \operatorname{Pr} \operatorname{Re}^3 + \frac{5}{114688} \operatorname{Re}^3 - \frac{127}{2304} \operatorname{Pr} \operatorname{Re} + \frac{1189}{6635520} \operatorname{Pr}^2 \operatorname{Re}^3 - \frac{179}{5760} \operatorname{Re} \right) r^4 \right. \\
 & \left. + \left(-\frac{1729}{24883200} \operatorname{Pr} \operatorname{Re}^3 - \frac{37}{368640} \operatorname{Pr}^2 \operatorname{Re}^3 - \frac{1991}{99532800} \operatorname{Re}^3 + \frac{151}{3840} \operatorname{Pr} \operatorname{Re} + \frac{43}{2160} \operatorname{Re} \right) r^2 \right. \\
 & \left. + \frac{133519}{8360755200} \operatorname{Pr}^2 \operatorname{Re}^3 - \frac{4139}{580608} \operatorname{Re} - \frac{2747}{345600} \operatorname{Pr} \operatorname{Re} + \frac{8458151}{1755758592000} \operatorname{Re}^3 + \frac{95629}{5573836800} \operatorname{Pr} \operatorname{Re}^3 \right. \\
 & \left. - \frac{287477}{2106910310400} + \frac{1}{371589120} r^{16} - \frac{11}{433520640} r^{14} + \frac{24743}{275904921600} r^2 - \frac{22399}{16721510400} r^4 + \frac{11}{11796480} r^8 + \frac{331}{238878720} r^6 \right. \\
 & \left. - \frac{157}{1194393600} r^{12} - \frac{1}{8599633920} r^{18} + \frac{287}{66355200} r^4 \operatorname{Pr} - \frac{29}{464486400} r^{14} \operatorname{Pr} - \frac{1}{3583180800} r^{18} \operatorname{Pr} - \frac{1}{388800} r^2 \operatorname{Pr} \right. \\
 & \left. + \frac{1}{17694720} r^{16} \operatorname{Pr}^2 - \frac{289}{44236800} r^{10} \operatorname{Pr}^2 + \frac{7}{1061683200} r^{16} \operatorname{Pr} - \frac{37}{33177600} r^{10} \operatorname{Pr} - \frac{161}{19906560} r^2 \operatorname{Pr}^2 - \frac{2003}{119439360} r^6 \operatorname{Pr}^2 \right. \\
 & \left. + \frac{263}{796262400} r^{12} \operatorname{Pr} - \frac{4901}{1194393600} r^6 \operatorname{Pr} + \frac{4001}{318504960} r^8 \operatorname{Pr}^2 - \frac{89}{185794560} r^{14} \operatorname{Pr}^2 + \frac{2033}{796262400} r^8 \operatorname{Pr} - \frac{1}{358318080} r^{18} \operatorname{Pr}^2 \right. \\
 & \left. + \frac{179}{79626240} r^{12} \operatorname{Pr}^2 + \frac{803}{53084160} r^4 \operatorname{Pr}^2 + \frac{128021}{200658124800} \operatorname{Pr} - \frac{569}{1327104000} r^{10} \right. \\
 & \left. + \operatorname{Re}^4 \left(\frac{161}{230400} r^{10} \operatorname{Pr} - \frac{17}{276480} r^{12} \operatorname{Pr} + \frac{1}{3072} r^6 + \frac{631}{82944} r^6 \operatorname{Pr} - \frac{20897}{16588800} \operatorname{Pr} - \frac{61}{6144} r^4 \operatorname{Pr} + \frac{31}{172800} r^2 - \frac{1}{460800} r^{12} \right) \right. \\
 & \left. - \frac{11}{73728} r^8 - \frac{49}{138240} r^4 + \frac{1}{30720} r^{10} - \frac{227}{774144} + \frac{1801}{276480} r^2 \operatorname{Pr} - \frac{697}{221184} r^8 \operatorname{Pr} \right. \\
 & \left. + \frac{359}{1440} - \frac{17}{96} r^6 + \frac{103}{192} r^4 - \frac{13}{24} r^4 \right) , \tag{C1}
 \end{aligned}$$

$$\begin{aligned}
f_{22}(r) = & We^4 \left(\left(\frac{\eta_p}{\eta} \right)^4 \left(-\frac{19}{3240} r^2 + \frac{5}{324} r^4 - \frac{19}{108} r^6 + \frac{1}{108} r^8 - \frac{1}{540} r^{10} \right) + \left(\frac{\eta_p}{\eta} \right)^3 \left(-\frac{1}{270} r^2 - \frac{1}{180} r^8 + \frac{1}{576} r^{10} + \frac{13}{2880} r^6 + \frac{1}{540} r^4 \right) \right) \\
& + We^3 \left(\left(\frac{\eta_p}{\eta} \right)^3 \left(\frac{307}{86400} r^8 \text{Re} + \frac{271}{51840} r^4 \text{Re} - \frac{47}{7680} r^6 \text{Re} + \frac{29}{302400} r^{12} \text{Re} - \frac{101}{103680} r^{10} \text{Re} - \frac{769}{259200} r^8 \text{RePr} \right. \right. \\
& \quad \left. \left. + \frac{11}{86400} r^{12} \text{RePr} - \frac{307}{69120} r^6 \text{RePr} - \frac{4871}{2419200} r^2 \text{Re} + \frac{43}{12960} r^4 \text{RePr} - \frac{101}{103680} r^{10} \text{RePr} - \frac{1111}{1036800} r^2 \text{RePr} \right) \right. \\
& \quad \left. + \left(\frac{\eta_p}{\eta} \right)^2 \left(-\frac{23}{403200} r^{12} \text{Re} + \frac{1}{1728} r^{10} \text{Re} - \frac{29}{50400} r^2 \text{RePr} + \frac{1}{1440} r^4 \text{RePr} - \frac{11}{14400} r^8 \text{RePr} - \frac{2749}{2419200} r^2 \text{Re} + \frac{19}{23040} r^6 \text{Re} \right. \right. \\
& \quad \left. \left. - \frac{1}{11200} r^{12} \text{RePr} - \frac{9}{6400} r^8 \text{Re} + \frac{1}{1152} r^4 \text{Re} + \frac{1}{7680} r^6 \text{RePr} + \frac{11}{23040} r^{10} \text{RePr} \right) \right) \\
& + We^2 \left(\left(\frac{\eta_p}{\eta} \right)^2 \left(\frac{1}{20736} r^8 \text{Pr}^2 - \frac{13}{207360} r^4 \text{Pr}^2 - \frac{23}{829440} r^{10} \text{Pr}^2 - \frac{1}{1105920} r^{14} \text{Pr}^2 + \frac{1273}{1244160} r^4 \text{Pr} + \frac{7933}{116121600} r^2 \text{Pr}^2 \right) \right. \\
& \quad \left. \left. + \frac{1}{165888} r^{14} \text{Pr} + \frac{121}{4838400} r^{12} + \frac{19}{2419200} r^{12} \text{Pr}^2 - \frac{13}{92160} r^{10} + \frac{587}{1382400} r^2 \text{Pr} - \frac{1181}{829440} r^6 \text{Pr} \right. \right. \\
& \quad \left. \left. + \frac{10853}{17418240} r^4 - \frac{90803}{348364800} r^2 - \frac{7}{552960} r^6 \text{Pr}^2 + \frac{11}{10800} r^8 \text{Pr} + \frac{233}{2903040} r^{12} \text{Pr} - \frac{97}{248832} r^{10} \text{Pr} \right. \right. \\
& \quad \left. \left. - \frac{2}{2835} r^6 - \frac{41}{23224320} r^{14} \right. \right. \\
& \quad \left. \left. + \frac{287}{4320} r^2 - \frac{41}{1440} r^8 + \frac{29}{288} r^6 - \frac{55}{432} r^4 \right. \right. \\
& \quad \left. \left. + \left(\frac{\eta_p}{\eta} \right) \text{Re}^2 \left(-\frac{13}{1612800} r^{12} - \frac{23}{172800} r^8 \text{Pr} + \frac{7}{184320} r^{10} + \frac{1}{1548288} r^{14} + \frac{1}{5760} r^4 \text{Pr} + \frac{113}{1935360} r^4 - \frac{2641}{38707200} r^2 \right. \right. \\
& \quad \left. \left. + \frac{1}{30720} r^6 - \frac{1}{46080} r^6 \text{Pr} - \frac{101}{1382400} r^8 - \frac{9551}{77414400} r^2 \text{Pr} + \frac{1}{442368} r^{14} + \frac{13}{122880} r^{10} \text{Pr} - \frac{23}{806400} r^{12} \text{Pr} \right) \right) \right. \\
& \quad \left. \left. + \left(\frac{\eta_p}{\eta} \right) \text{Re}^3 \left(-\frac{67}{6635520} r^{10} \text{Pr}^2 + \frac{11881}{696729600} r^8 - \frac{229}{9953280} r^4 \text{Pr}^2 - \frac{397463}{29262643200} r^2 + \frac{5683}{199065600} r^4 + \frac{481}{46448640} r^{12} \text{Pr} \right. \right. \\
& \quad \left. \left. + \frac{13}{9289728} r^{12} - \frac{1}{163840} r^{10} + \frac{1}{23224320} r^{16} \text{Pr}^2 + \frac{283}{29262643200} r^{16} - \frac{4673}{33177600} r^6 \text{Pr} - \frac{841}{19906560} r^{10} \text{Pr} \right. \right. \\
& \quad \left. \left. - \frac{5}{7962624} r^{14} \text{Pr}^2 + \frac{179}{12441600} r^8 \text{Pr}^2 + \frac{15359}{696729600} r^2 \text{Pr}^2 - \frac{1}{5443200} r^{14} + \frac{401}{4877107200} r^{16} \text{Pr} - \frac{1993}{1393459200} r^{14} \text{Pr} \right. \right. \\
& \quad \left. \left. + \frac{23483}{232243200} r^4 \text{Pr} - \frac{1}{13271040} r^6 \text{Pr}^2 + \frac{23819}{232243200} r^8 \text{Pr} - \frac{2281}{77414400} r^6 - \frac{306947}{9754214400} r^2 \text{Pr} + \frac{41}{11612160} r^{12} \text{Pr}^2 \right) \right. \right. \\
& \quad \left. \left. + \text{Re} \left(-\frac{613}{34560} r^4 + \frac{169}{9216} r^6 \text{Pr} - \frac{5}{864} r^8 + \frac{127}{13824} r^2 - \frac{35}{3456} r^8 \text{Pr} - \frac{41}{3456} r^4 \text{Pr} + \frac{1}{1152} r^2 \text{Pr} + \frac{353}{23040} r^6 + \frac{1}{1440} r^{10} + \frac{77}{46080} r^{10} \text{Pr} \right) \right) \right. \\
& \quad \left. \left. + \left(\frac{\eta_p}{\eta} \right) \text{Re}^4 \left(-\frac{1}{58525286400} r^{18} + \frac{1207}{464486400} r^4 \text{Pr} - \frac{307}{7431782400} r^{14} \text{Pr} - \frac{169231}{222953472000} r^2 \text{Pr} - \frac{81133}{222953472000} r^6 \text{Pr} + \frac{8987}{3483648000} r^8 \text{Pr} \right. \right. \\
& \quad \left. \left. + \frac{233}{928972800} r^{12} \text{Pr} - \frac{1}{983040} r^{10} \text{Pr} + \frac{439}{1857945600} r^8 - \frac{2297}{5573836800} r^6 - \frac{293927}{1404606873600} r^2 - \frac{163}{79626240} r^4 \text{Pr}^2 \right. \right. \\
& \quad \left. \left. - \frac{29}{222953472000} r^{18} \text{Pr} - \frac{1}{1592524800} r^{18} \text{Pr}^2 + \frac{14569}{35115171840} r^4 - \frac{139}{1592524800} r^{10} + \frac{1}{83607552} r^{16} \text{Pr}^2 + \frac{61}{2786918400} r^{12} \right. \right. \\
& \quad \left. \left. + \frac{47}{117050572800} r^{16} + \frac{61}{154828800} r^{12} \text{Pr}^2 + \frac{439}{398131200} r^8 \text{Pr}^2 - \frac{299}{318504960} r^{10} \text{Pr}^2 + \frac{11}{2786918400} r^{16} \text{Pr} - \frac{29}{7431782400} r^{14} \right. \right. \\
& \quad \left. \left. + \frac{14821}{8360755200} r^2 \text{Pr}^2 + \frac{43}{159252480} r^6 \text{Pr}^2 - \frac{1}{10616832} r^{14} \text{Pr}^2 \right) \right. \right. \\
& \quad \left. \left. + \text{Re}^4 \left(\frac{13}{184320} r^{10} - \frac{187}{207360} r^4 - \frac{20477}{19353600} r^2 \text{Pr} - \frac{73}{230400} r^8 - \frac{53}{9676800} r^{12} + \frac{409}{552960} r^6 + \frac{107}{138240} r^4 \text{Pr} + \frac{15451}{29030400} r^2 \right) \right. \right. \\
& \quad \left. \left. + \frac{11}{23040} r^6 \text{Pr} - \frac{109}{4838400} r^{12} \text{Pr} - \frac{1027}{1382400} r^8 \text{Pr} + \frac{131}{552960} r^{10} \text{Pr} \right. \right. \\
& \quad \left. \left. + \frac{55}{96} r^4 - \frac{71}{384} r^6 - \frac{227}{384} r^2 \right) \right. \right. \\
& \quad \left. \left. , \right. \right. \\
\end{aligned} \tag{C2}$$

ضمیمه (۵)

مولفه $T^{(2)}$ در سیال مرتبه دو به صورت (۲۰) ارائه شده است که داریم:

$$\begin{aligned}
 f_{20}(r) = & -\left(\frac{1}{3583180800} \text{Re}^4 \text{Pr} + \frac{1}{8599633920} \text{Re}^4 + \frac{1}{358318080} \text{Re}^4 \text{Pr}^2 \right) r^{18} \\
 & + \left(\frac{13}{185794560} \text{Re}^3 \text{We} + \frac{7}{1061683200} \text{Re}^4 \text{Pr} + \frac{17}{132710400} \text{Re}^3 \text{PrWe} + \frac{1}{2654208} \text{Re}^3 \text{Pr}^2 \text{We} + \frac{1}{17694720} \text{Re}^4 \text{Pr}^2 \right) r^{16} \\
 & + \frac{1}{371589120} \text{Re}^4 \\
 & - \left(\frac{193}{174182400} \text{Re}^3 \text{PrWe} + \frac{19}{5806080} \text{Re}^2 \text{PrWe}^2 + \frac{151}{243855360} \text{Re}^3 \text{We} + \frac{89}{185794560} \text{Re}^4 \text{Pr}^2 + \frac{29}{464486400} \text{Re}^4 \text{Pr} \right) r^{14} \\
 & - \left(\frac{71}{20321280} \text{Re}^2 \text{We}^2 + \frac{1}{322560} \text{Re}^2 \text{Pr}^2 \text{We}^2 + \frac{11}{433520640} \text{Re}^4 + \frac{11}{3870720} \text{Re}^3 \text{Pr}^2 \text{We} \right. \\
 & \left. + \frac{1}{23040} \text{Re}^2 \text{We}^2 + \frac{431}{99532800} \text{Re}^3 \text{We} + \frac{157}{1194393600} \text{Re}^4 + \frac{13}{414720} \text{Re}^2 \text{Pr}^2 \text{We}^2 + \frac{263}{796262400} \text{Re}^4 - \frac{1}{460800} \text{Re}^2 \right. \\
 & \left. + \frac{11}{276480} \text{Re}^2 \text{PrWe}^2 - \frac{17}{276480} \text{Re}^2 \text{Pr} + \frac{11}{103680} \text{Re} \text{We}^3 + \frac{1547}{199065600} \text{Re}^3 \text{PrWe} + \frac{1}{20736} \text{Re} \text{PrWe}^3 \right. \\
 & \left. + \frac{11}{622080} \text{Re}^3 \text{Pr}^2 \text{We} + \frac{179}{79626240} \text{Re}^4 \text{Pr}^2 \right) r^{12} \\
 & + \left(\frac{161}{230400} \text{Re}^2 \text{Pr} + \frac{11}{11520} \text{Re} \text{We} - \frac{97}{460800} \text{Re}^2 \text{We}^2 - \frac{569}{1327104000} \text{Re}^4 - \frac{31}{230400} \text{Re}^2 \text{Pr}^2 \text{We}^2 - \frac{13}{14400} \text{Re} \text{We}^3 \right. \\
 & + \left. - \frac{799}{4147200} \text{Re}^2 \text{Pr} \text{We}^2 - \frac{1}{2880} \text{Re} \text{Pr} \text{We}^3 - \frac{289}{44236800} \text{Re}^4 \text{Pr}^2 - \frac{541}{33177600} \text{Re}^3 \text{We} - \frac{37}{33177600} \text{Re}^4 \text{Pr} \right. \\
 & \left. - \frac{503}{8294400} \text{Re}^3 \text{Pr}^2 \text{We} - \frac{1}{900} \text{We}^4 - \frac{247}{8294400} \text{Re}^3 \text{Pr} \text{We} + \frac{107}{57600} \text{Re} \text{Pr} \text{We} + \frac{1}{30720} \text{Re}^2 \right) r^{10} \\
 & + \left(\frac{697}{221184} \text{Re}^2 \text{Pr} + \frac{4001}{318504960} \text{Re}^4 \text{Pr}^2 + \frac{2951}{79626240} \text{Re}^3 \text{We} + \frac{5641}{79626240} \text{Re}^3 \text{Pr} \text{We} - \frac{25}{1152} \Psi^2 + \frac{5}{4608} \text{Re} \text{Pr} \text{We}^3 \right. \\
 & + \left. - \frac{19}{1536} \text{Re} \text{Pr} \text{We} - \frac{215}{27648} \text{Re} \text{We} + \frac{1}{3072} \text{Re}^2 \text{Pr}^2 \text{We}^2 + \frac{11}{11796480} \text{Re}^4 + \frac{85}{165888} \text{Re}^2 \text{Pr} \text{We}^2 + \frac{859}{6635520} \text{Re}^3 \text{Pr}^2 \text{We} \right. \\
 & \left. + \frac{341}{663552} \text{Re}^2 \text{We}^2 - \frac{11}{73728} \text{Re}^2 + \frac{2033}{796262400} \text{Re}^4 \text{Pr} + \frac{37}{13824} \text{Re} \text{We}^3 + \frac{1}{576} \text{We}^4 \right) r^8 \\
 & + \left(\frac{1}{27} \text{Re} \text{Pr} \text{We} - \frac{2003}{119439360} \text{Re}^4 \text{Pr}^2 - \frac{241}{276480} \text{Re}^2 \text{Pr} \text{We}^2 + \frac{631}{82944} \text{Re}^2 \text{Pr} - \frac{17}{96} - \frac{517}{9953280} \text{Re}^3 \text{We} \right. \\
 & + \left. - \frac{817}{1244160} \text{Re}^2 \text{We}^2 + \frac{1}{3072} \text{Re}^2 - \frac{35}{10368} \text{Re} \text{We}^3 - \frac{7}{3456} \text{Re} \text{Pr} \text{We}^3 - \frac{4901}{1194393600} \text{Re}^4 \text{Pr} - \frac{1}{162} \text{We}^4 \right. \\
 & \left. - \frac{71}{138240} \text{Re}^2 \text{Pr} \text{We}^2 - \frac{941}{8294400} \text{Re}^3 \text{Pr} \text{We} - \frac{1859}{9953280} \text{Re}^3 \text{Pr}^2 \text{We} + \frac{41}{432} \text{We}^2 - \frac{331}{238878720} \text{Re}^4 + \frac{79}{3456} \text{Re} \text{We} \right) r^6 \\
 & + \left(-\frac{179}{5760} \text{Re} \text{We} + \frac{287}{66355200} \text{Re}^4 \text{Pr} + \frac{803}{53084160} \text{Re}^4 \text{Pr}^2 - \frac{61}{6144} \text{Re}^2 \text{Pr} - \frac{11}{72} \text{We}^2 + \frac{22399}{16721510400} \text{Re}^4 \right. \\
 & + \left. + \frac{1}{540} \text{We}^4 - \frac{49}{138240} \text{Re}^2 + \frac{5}{114688} \text{Re}^3 \text{We} + \frac{1189}{6635520} \text{Re}^3 \text{Pr}^2 \text{We} - \frac{127}{2304} \text{Re} \text{Pr} \text{We} + \frac{779}{829440} \text{Re}^2 \text{Pr} \text{We}^2 \right. \\
 & \left. + \frac{13}{8640} \text{Re} \text{We}^3 + \frac{1}{432} \text{Re} \text{Pr} \text{We}^3 + \frac{73}{138240} \text{Re}^2 \text{Pr}^2 \text{We}^2 + \frac{7829}{66355200} \text{Re}^3 \text{Pr} \text{We} + \frac{103}{192} + \frac{4807}{11612160} \text{Re}^2 \text{We}^2 \right) r^4 \\
 & + \left(\frac{8}{27648} \text{Re} \text{We}^3 - \frac{1991}{99532800} \text{Re}^3 \text{We} - \frac{13}{24} + \frac{31}{288} \text{We}^2 - \frac{469}{829440} \text{Re}^2 \text{Pr} \text{We}^2 + \frac{31}{172800} \text{Re}^2 - \frac{37}{368640} \text{Re}^3 \text{Pr}^2 \text{We} \right. \\
 & + \left. + \frac{43}{2160} \text{Re} \text{We} - \frac{43}{138240} \text{Re}^2 \text{Pr}^2 \text{We}^2 + \frac{1801}{276480} \text{Re}^2 \text{Pr} - \frac{24743}{33443020800} \text{Re}^4 - \frac{1}{388800} \text{Re}^4 \text{Pr} - \frac{161}{19906560} \text{Re}^4 \text{Pr}^2 \right. \\
 & \left. + \frac{1}{540} \text{We}^4 + \frac{151}{3840} \text{Re} \text{Pr} \text{We} - \frac{1729}{24883200} \text{Re}^3 \text{Pr} \text{We} - \frac{563}{5806080} \text{Re}^2 \text{We}^2 - \frac{5}{3456} \text{Re} \text{Pr} \text{We}^3 \right) r^2 \\
 & - \frac{227}{774144} \text{Re}^2 - \frac{191}{5760} \text{We}^2 - \frac{20897}{16588800} \text{Re}^2 \text{Pr} - \frac{4139}{580608} \text{Re} \text{We} + \frac{8458151}{1755758592000} \text{Re}^3 \text{We} + \frac{128021}{200658124800} \text{Re}^4 \text{Pr} \\
 & - \frac{2747}{345600} \text{Re} \text{Pr} \text{We} + \frac{77}{207360} \text{Re} \text{Pr} \text{We}^3 + \frac{136613}{2438553600} \text{Re}^2 \text{We}^2 + \frac{12367}{43545600} \text{Re} \text{We}^3 + \frac{133519}{8360755200} \text{Re}^3 \text{Pr}^2 \text{We} \\
 & + \frac{457}{3225600} \text{Re}^2 \text{Pr} \text{We}^2 + \frac{287477}{2106910310400} \text{Re}^4 + \frac{33}{453600} \text{Re}^2 \text{Pr}^2 \text{We}^2 + \frac{503}{907200} \text{We}^4 + \frac{359}{1440} \\
 & + \frac{95629}{5573836800} \text{Re}^3 \text{Pr} \text{We} + \frac{346877}{275904921600} \text{Re}^4 \text{Pr}^2
 \end{aligned} \tag{D1}$$

$$\begin{aligned}
f_{22}(r) = & - \left(\frac{1}{1592524800} \text{Re}^4 \text{Pr}^2 + \frac{1}{58525286400} \text{Re}^4 + \frac{29}{222953472000} \text{Re}^4 \text{Pr} \right) r^{18} \\
& + \left(\frac{401}{4877107200} \text{Re}^3 \text{PrWe} + \frac{1}{83607552} \text{Re}^4 \text{Pr}^2 + \frac{1}{23224320} \text{Re}^3 \text{Pr}^2 \text{We} \right) r^{16} \\
& + \left(\frac{283}{29262643200} \text{Re}^3 \text{We} + \frac{11}{2786918400} \text{Re}^4 \text{Pr} + \frac{47}{117050572800} \text{Re}^4 \right) r^{16} \\
& - \left(\frac{1}{165888} \text{Re}^2 \text{PrWe}^2 + \frac{5}{7962624} \text{Re}^3 \text{Pr}^2 \text{We} + \frac{1993}{1393459200} \text{Re}^3 \text{We} + \frac{1}{10616832} \text{Re}^4 \text{Pr}^2 + \frac{1}{5443200} \text{Re}^3 \text{We} \right) r^{14} \\
& + \left(\frac{41}{23224320} \text{Re}^2 \text{We}^2 + \frac{1}{1105920} \text{Re}^2 \text{Pr}^2 \text{We}^2 + \frac{29}{7431782400} \text{Re}^4 + \frac{307}{7431782400} \text{Re}^4 \text{Pr} \right) r^{14} \\
& + \left(\frac{41}{11612160} \text{Re}^3 \text{Pr}^2 \text{We} + \frac{121}{4838400} \text{Re}^2 \text{We}^2 + \frac{29}{302400} \text{Re} \text{We}^3 - \frac{109}{4838400} \text{Re}^2 \text{Pr} + \frac{223}{2903040} \text{Re}^2 \text{PrWe}^2 \right. \\
& + \left. + \frac{481}{46448640} \text{Re}^3 \text{PrWe} + \frac{61}{154828800} \text{Re}^4 \text{Pr}^2 + \frac{19}{2419200} \text{Re}^2 \text{Pr}^2 \text{We}^2 + \frac{11}{86400} \text{Re} \text{PrWe}^3 + \frac{61}{2786918400} \text{Re}^4 \right) r^{12} \\
& + \left(\frac{233}{928972800} \text{Re}^4 \text{Pr} + \frac{13}{9289728} \text{Re}^3 \text{We} - \frac{53}{9676800} \text{Re}^2 \right. \\
& \left. - \frac{1}{540} \Psi^4 - \frac{101}{103680} \text{Re} \text{We}^3 - \frac{1}{983040} \text{Re}^4 \text{Pr} + \frac{77}{4630} \text{Re} \text{PrWe} - \frac{299}{318504960} \text{Re}^4 \text{Pr}^2 - \frac{23}{829440} \text{Re}^2 \text{Pr}^2 \text{We}^2 \right. \\
& + \left. + \frac{13}{184320} \text{Re}^2 + \frac{1}{1440} \text{Re} \text{We} - \frac{101}{103680} \text{Re} \text{PrWe}^3 - \frac{139}{1592524800} \text{Re}^4 - \frac{97}{248832} \text{Re}^2 \text{PrWe}^2 - \frac{67}{6635520} \text{Re}^3 \text{Pr}^2 \text{We} \right. \\
& \left. - \frac{841}{19906560} \text{Re}^3 \text{PrWe} - \frac{1}{163840} \text{Re}^3 \text{We} - \frac{13}{92160} \text{Re}^2 \text{We}^2 + \frac{131}{552960} \text{Re}^2 \text{Pr} \right) r^{10} \\
& + \left(\frac{179}{12441600} \text{Re}^3 \text{Pr}^2 \text{We} + \frac{8987}{3483648000} \text{Re}^4 \text{Pr} + \frac{1}{20736} \text{Re}^2 \text{Pr}^2 \text{We}^2 + \frac{11}{10800} \text{Re}^2 \text{PrWe}^2 - \frac{5}{864} \text{Re} \text{We} - \frac{73}{230400} \text{Re}^2 \right. \\
& + \left. + \frac{35}{3456} \text{Re} \text{PrWe} + \frac{307}{86400} \text{Re} \text{We}^3 + \frac{439}{398131200} \text{Re}^4 \text{Pr}^2 + \frac{439}{1857945600} \text{Re}^4 - \frac{1027}{1382400} \text{Re}^2 \text{Pr} + \frac{769}{259200} \text{Re} \text{PrWe}^3 \right. \\
& + \left. + \frac{23819}{232243200} \text{Re}^3 \text{PrWe} + \frac{1}{108} \text{We}^4 + \frac{11881}{696729600} \text{Re}^3 \text{We} - \frac{41}{1440} \text{We}^2 + \frac{587}{1382400} \text{Re}^2 \text{We}^2 \right) r^8 \\
& + \left(- \frac{2}{2835} \text{Re}^2 \text{We}^2 - \frac{71}{384} + \frac{409}{552960} \text{Re}^2 + \frac{169}{9216} \text{Re} \text{PrWe} + \frac{11}{23040} \text{Re}^2 \text{Pr} - \frac{1181}{829440} \text{Re}^2 \text{PrWe}^2 + \frac{29}{288} \text{We}^2 \right. \\
& + \left. + \frac{43}{159252480} \text{Re}^4 \text{Pr}^2 - \frac{47}{7680} \text{Re} \text{We}^3 - \frac{4673}{33177600} \text{Re}^3 \text{PrWe} - \frac{19}{1080} \text{We}^4 + \frac{353}{23040} \text{Re} \text{We} - \frac{307}{69120} \text{Re} \text{PrWe}^3 \right) r^6 \\
& + \left(- \frac{7}{552960} \text{Re}^2 \text{Pr}^2 \text{We}^2 - \frac{2297}{5573836800} \text{Re}^4 - \frac{2281}{154828800} \text{Re}^3 \text{We} - \frac{81133}{22295347200} \text{Re}^4 \text{Pr} - \frac{1}{26542080} \text{Re}^3 \text{Pr}^2 \text{We} \right) r^6 \\
& + \left(- \frac{187}{207360} \text{Re}^2 + \frac{1207}{464486400} \text{Re}^4 \text{Pr} - \frac{163}{79626240} \text{Re}^4 \text{Pr}^2 - \frac{613}{34560} \text{Re} \text{We} - \frac{55}{432} \text{We}^2 + \frac{10853}{17418240} \text{Re}^2 \text{We}^2 + \frac{55}{96} \right. \\
& + \left. + \frac{43}{12960} \text{Re} \text{PrWe}^3 - \frac{229}{9953280} \text{Re}^3 \text{Pr}^2 \text{We} + \frac{107}{138240} \text{Re}^2 \text{Pr} + \frac{23483}{232243200} \text{Re}^3 \text{PrWe} - \frac{41}{3456} \text{Re} \text{PrWe} \right. \\
& + \left. + \frac{14569}{35115171840} \text{Re}^4 + \frac{5683}{199065600} \text{Re}^3 \text{We} + \frac{1273}{1244160} \text{Re}^2 \text{PrWe}^2 + \frac{5}{324} \text{We}^4 - \frac{13}{207360} \text{Re}^2 \text{Pr}^2 \text{We}^2 + \frac{271}{51840} \text{Re} \text{We}^3 \right) r^4 \\
& + \left(\frac{14821}{8360755200} \text{Re}^4 \text{Pr}^2 + \frac{1}{1152} \text{Re} \text{PrWe} - \frac{3467}{10886400} \text{Re}^2 \text{Pr}^2 \text{We}^2 - \frac{90803}{348364800} \text{Re}^2 \text{We}^2 - \frac{293927}{1404606873600} \text{Re}^4 \right. \\
& + \left. + \frac{7933}{116121600} \text{Re}^2 \text{Pr}^2 \text{We}^2 - \frac{397463}{29262643200} \text{Re}^3 \text{We} - \frac{227}{384} - \frac{169231}{222953472000} \text{Re}^4 \text{Pr} - \frac{19}{3240} \text{We}^4 + \frac{287}{4320} \text{We}^2 \right. \\
& + \left. - \frac{306947}{9754214400} \text{Re}^3 \text{PrWe} - \frac{4871}{2419200} \text{Re} \text{We}^3 - \frac{1111}{1036800} \text{Re} \text{PrWe}^3 + \frac{15451}{29030400} \text{Re}^2 + \frac{15359}{696729600} \text{Re}^3 \text{Pr}^2 \text{We} \right. \\
& \left. - \frac{20477}{19353600} \text{Re}^2 \text{Pr} + \frac{127}{13824} \text{Re} \text{We} \right) r^2
\end{aligned} \tag{D2}$$

مراجع:

- [1] A review of dilatant behavior is given by W. H. Bauer and E. A. Collins in F. R. Erich, Rheology, Vol. 4, Academic Press, New York, Chapt. 8, (1976) pp. 423-459.
- [2] M. Reiner, (1960) Deformation, Strain and Flow, Interscience, New York, pp. 306-309.
- [3] A. G. Fredrickson, (1964) Principles and Applications of Rheology, Prentice-Hall, Englewood Cliffs, NJ, P. 178.
- [4] F. H. Garner, A. H. Nissan, Nature, 158, 634-635 (1946).
- [5] R. J. Russel, Ph.D. Thesis, Imperial College, University of London (1946) P. 58.
- [6] A. S. Wineman, A. C. Pipkin, Acta Mech., 2, 104-115 (1966).
- [7] R. I. Tanner, Trans. Soc. Rheology., 14 483-507 (1970).
- [8] C. T. Hill, Trans. Soc. Rheo., 16 213-245 (1972).
- [9] R. I. Tanner in J. R. A. Pearson and S. M. Richardson, eds., Computational Analysis of Polymer Processing, Applied Science, London (1983), P. 66.
- [10] D. F. James, Nature, 212, 754-756 (1966).
- [11] N. N. Kapoor, M.S. Thesis, University of Minnesota, Minneapolis (1964).
- [12] J. W. Hoyt and J. J. Taylor, Phys. Fluids, 20, S253-S257 (1977).
- [13] M. Reiner, Phys. Today, 17, 62 (Jan. 1964). Similar ideas (supported by experimental data on specific flow system) are independently proposed by R. B. Bird, Can. J. Chem. Eng. 43 (1965) 161-167
- [14] D. V. Boger and H. Nguyen, Polym. Eng. Sci. 18 (1978) 1038-1043.
- [15] R. Byron Bird, (1987) Dynamics of Polymeric Liquids, John Wiley & Sons, Vol. 1.
- [16] W. R. Dean, Note on the motion of fluid in a curved pipe. Phil. Mag., 4 (1927) 208-223.
- [17] W. R. Dean, The stream-line motion of fluid in a curved pipe. Phil. Mag., 5 (1928) 673-695.
- [18] H. C. Topakoglu, Steady laminar flow of an incompressible viscous fluid in a curved pipe, J. Math. Mech. 16 (1967) 1231-1237.
- [19] M. K. Zhang, X. R. Shen, J. F. Ma, B. Z. Zhang, Galerkin method study on flow of Oldroyd-B fluids in curved circular cross-section pipes, Journal of Zhejiang University Science. 7 (2007) 263-270.
- [20] N. Phan-Thien, R. Zheng, Viscoelastic flow in curved duct: a similarity solution for the Oldroyd-B fluid, Journal of Applied Mathematics and Physics, 41 (1990) 766-781.

- [21] Y. Fan, R. I. Tanner, N. Phan-Thien, Fully developed viscous and viscoelastic flows in curved pipes, *J. Fluid Mech.*, 440 (2001) 327-357.
- [22] H. Y. Tsang, D. F. James, Reduction of secondary motion in curved tubes by polymer additives, *J. Rheol.*, 24 (1980) 589-601.
- [23] S. Yanase, N. Goto, K. Yamamoto, Dual solutions of the flow through a curved tube, *Fluid Dyn. Res.* 5 (1989) 191-201.
- [24] W. M. Jones, O. H. Davies, The flow of dilute aqueous solutions of macromolecules in various geometries: III. Curved pipes and porous materials, *J. Phys. D: Appl. Phys.* 9 (1976) 753-770.
- [25] Y. Chen, H. Chen, J. Zhang, B. Zhang, Viscoelastic flow in rotating curved pipes, *Phys. Fluids* 18 (2006) 1-17.
- [26] R. H. Thomas, K. Walters, On the flow of an elastico-viscous liquid in a curved pipe under a pressure gradient, *J. Fluid Mech.*, 16 (1936) 228-242.
- [27] V. B. Sarin, Flow of an elastico-viscous liquid in a curved pipe of slowly varying curvature, *Int. J. Biomed. Comput.* 32 (1993) 135-149.
- [28] V. B. Sarin, The steady laminar flow of an elastico-viscous liquid in a curved pipe of varying elliptic cross section, *Math. Comput. Modelling.*, 26 (1997) 109-121.
- [29] A. M. Robertson, S. J. Muller, Flow of Oldroyd-B fluids in curved pipes of circular and annular cross-section, *Int. J. Nonlinear Mech.* 31 (1996) 3-20.
- [30] Y. Iemoto, M. Nagata, F. Yamamoto, Steady laminar flow of a power-law fluid in a curved pipe of circular cross-section with varying curvature, *J. Non-Newton. Fluid* 19 (1985) 161-183.
- [31] Y. Iemoto, M. Nagata, F. Yamamoto, Steady laminar flow of viscoelastic fluid in a curved pipe of circular cross-section with varying curvature, *J. Non-Newton. Fluid* 22 (1986) 101-114.
- [32] B. Das, Flow of Bingham fluid in a slightly curved tube, *Int. J. Engng. Sci.*, 30 (1992) 1193-1207. M. Zhang, X. Shen, J. Ma, B. Zhang, Theoretical analysis of convective heat transfer of Oldroyd-B fluids in a curved pipe, *Int. J. Heat Mass Trans.*, 40 (2007) 661-671.
- [33] H. G. Sharma, A. Prakash, Flow of a second order fluid in a curved pipe, *Indian J. Pure Ap. Mat.*, 8 (1997) 546-557.

- [34] P. J. Bowen, A. R. Davies, K. Walters, On viscoelastic effects in swirling flows, *J. Non-Newton. Fluid* 38 (1991) 113-126.
- [35] W. Jitchote, A. M. Robertson, Flow of second order fluids in curved pipes, *J. Non-Newton. Fluid*, 90 (2000) 91-116.
- [36] Frass A. P., Ozisik M. N., Heat Exchanger Design, John Wiley and Sons, Inc. New York, (1965).
- [37] Metzner A. B., (1965) Advanced in Heat Transfer, 2nd Ed. J. P. Hartnett and T. F. Irvine (Jr.) Academic Press, Inc., New York,.
- [38] Skelland A. H. P., (1967) Non-Newtonian flow and heat transfer. John Wiley and Sons, Inc. New York.
- [39] Ozisik M. N., Topakoglu H. C., Heat transfer for laminar flow in a curved pipe, *J. Heat transfer*, 90 (1968) 313.
- [40] R. S. Srivastava, V. B. Sarin, Heat transfer effects for an elastico-viscous fluid in curved pipe 4 (4) (19972).
- [41] M. Akiyama, K.C. Cheng, Boundary vorticity method for laminar forced convected heat transfer in curved pipe, *Int. J. Heat Mass Transfer* 14 (1971) 1659–1675.
- [42] S. Garimella, D.E. Chdrards, Experimental investigation of heat transfer in coiled annular ducts, *J. Heat Transfer* 110 (1988) 329–336.
- [43] G. Yang, M.A. Ebadian, Convective heat transfer in a curved annular-sector duct, *J. Thermophys. Heat Transfer* 7 (3) (1993) 441–446.
- [44] G. Yang, M.A. Ebadian, Convective heat transfer in a curved annular-sector duct, *J. Thermophys. Heat Transfer* 7 (3) (1993) 441–446.
- [45] G. Yang, M.A. Ebadian, Effect of torsion on heat transfer in the curved annular sector duct, *J. Thermophys. Heat Transfer* 8 (3) (1994) 580–586.
- [46] Y.D. Choi, S.O. Park, Mixed convection flow in curved annular ducts, *Int. J. Heat Mass Transfer* 37 (17) (1994) 2761–2769.
- [47] H.J. Chen, B.Z. Zhang, J.F. Ma, Theoretical and numerical analysis of convective heat transfer in rotation helical pipes, *Int. J. Heat Mass Transfer* 46 (2003) 4899–4909.
- [48] H.J. Chen, B.Z. Zhang, Fluid flow and mixed convection heat transfer in a rotating curved pipe, *Int. J. Therm. Sci.* 42 (2003) 1047–1059.

- [49] Tianliang Yang, Liqiu Wang, Bifurcation and stability of combined free and forced convection in rotating curved ducts of square cross-section, International Journal of Heat and Mass Transfer, 46 (4) (2003) 613-629.
- [50] K.H. Toh, A.J. Ghajar, Heat transfer in thermal entrance region for viscoelastic fluids in turbulent pipe flows, Int. J. Heat Mass Transfer 31 (1988) 1261–1268.
- [51] F.T. Pinho, P.J. Oliveira, Analysis of forced convection in pipes and channels with the simplified Phan-Thien–Tanner fluid, Int. J. Heat Mass Transfer 43 (2000) 2273–2287.
- [52] Chia-Fu Hsu, S. V. Patankar, Analysis of laminar non-Newtonian flow and heat transfer in curved tubes, American Institute of Chemical Engineers 28 (4) (2004) 610-616.
- [53] Mingkan Zhang, Xinrong Shen, Jianfeng Ma, Benzhao Zhang, Theoretical analysis of convective heat transfer of Oldroyd-B fluids in a curved pipe, International Journal of Heat and Mass Transfer 51 (2008) 661–671.
- [54] SHEN Xin-rong, ZHANG Ming-kan, MA Jian-feng, ZHANG Ben-zhao, flow and heat transfer of Oldroyd-B fluids in a rotating curved pipe, journal of Hydrodynamics 20 (1) (2008) 39-46.
- [55] R.K. Shah, AL London, (1978) Laminar flow forced convection in ducts, Academic Press, New York.
- [56] WM Kays, ME Crawford, (1993) Convective Heat and Mass Transfer, McGraw-Hill, New York.

Abstract

Non-newtonian fluids have a huge application in many fields such as military, medical and industrial activities which has attracted great attentions from many years ago. Science of non-newtonian fluids flow is termed Rheology and due to special properties of these kinds of fluids, different behaviors are observed by these fluids.

The purpose of this research is to investigation the viscoelastic fluid flow and heat transfer in a curved pipe, analytically.

In this research, appropriate approximate solution for viscoelastic fluid flow is suggested using a second order fluid and perturbation solution. The heat transfer analysis of this fluid flow has been achieved. This has been performed using Oldroyd-B model of viscoelastic fluid.

The results of second order fluid investigation, indicates that the increment of Weissenberg number enhances the intensity of secondary flows. In addition, this leads to further tendency of Taylor vortices and maximum axial velocity position toward outer wall. Also drag reduction in curved pipe will occur by increasing of retardation time.

Heat transfer analysis of Oldroyd-B and SOF flows, indicates the similar results. Increasing of Weissenberg number has a major effect on non-dimensional temperature position of fluid. Also reduced Nusselt is proposed as a measure for the Nusselt number between curved and straight pipe. In creep flow, increasing of Reynolds number leads to decreasing of reduced Nusselt number. But in inertial flow, inverse results will be obtained.

Keywords: *Heat transfer; Viscoelastic Fluids; Second Order Fluid; Oldroyd-B Fluid; Perturbation*



**Shahrood University
of Technology**

Shahrood University of Technology

Faculty of Mechanical Engineering

**Analytical investigation of flow and heat transfer of
viscoelastic fluid in a curved pipe**

Amin Ahmadi Joneidi

**Supervisor:
Dr. Mohammad Hassan Kayhani**

Date: Oct 2009